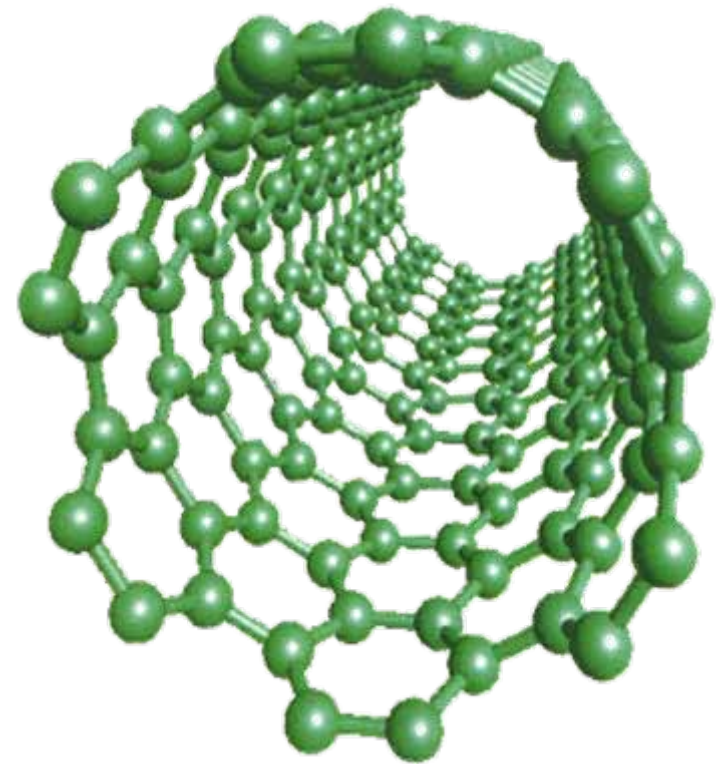
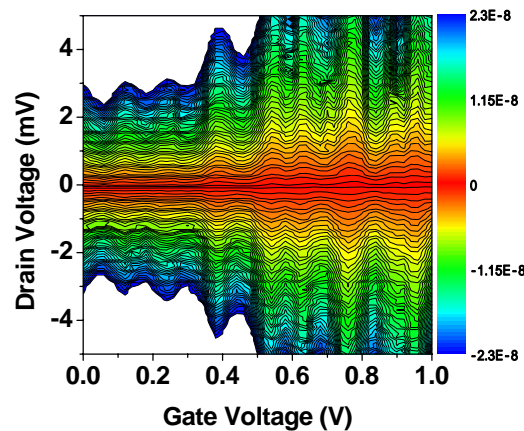


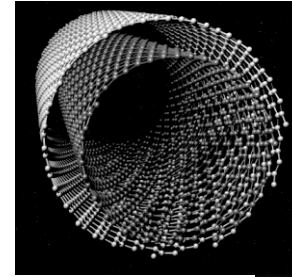
カーボンナノサイエンス・ナノテクノロジーの 現状と次世代デバイスへの展望

松本和彦
大阪大学
産業科学研究所

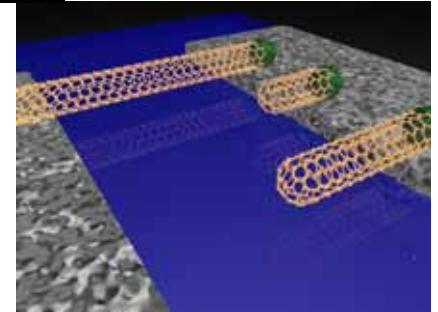


内容

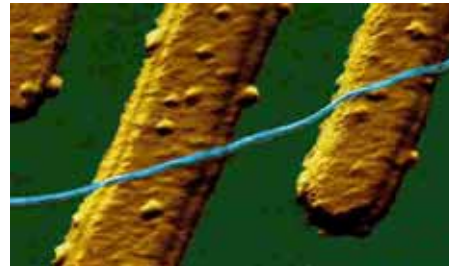
1) カーボンナノチューブの構造



2) カーボンナノチューブの成長とドーピング



3) トランジスタ応用

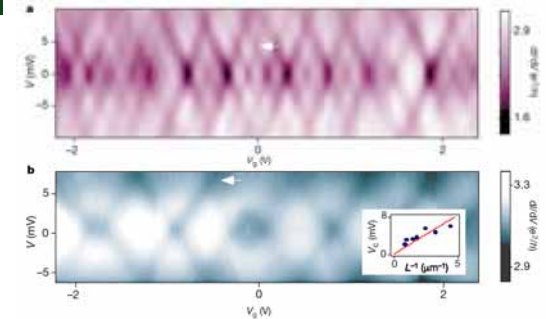
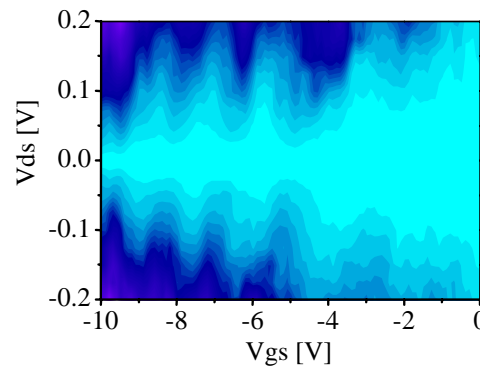


4) 一次元量子伝導

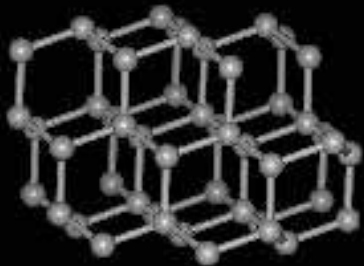
5) コヒーレント伝導

6) 単一電子伝導

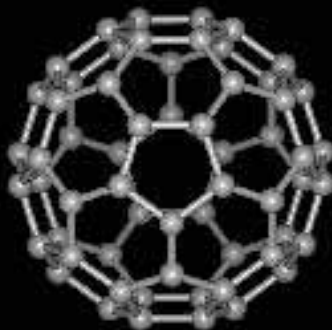
7) その他



カーボン(炭素)による様々な物質

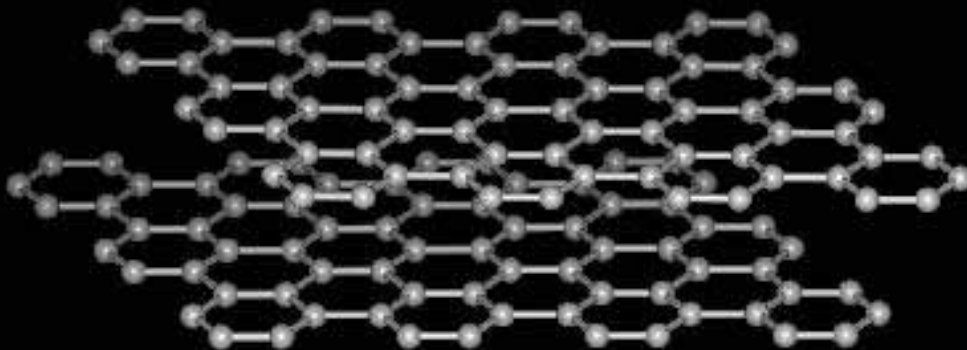


ダイヤモンド

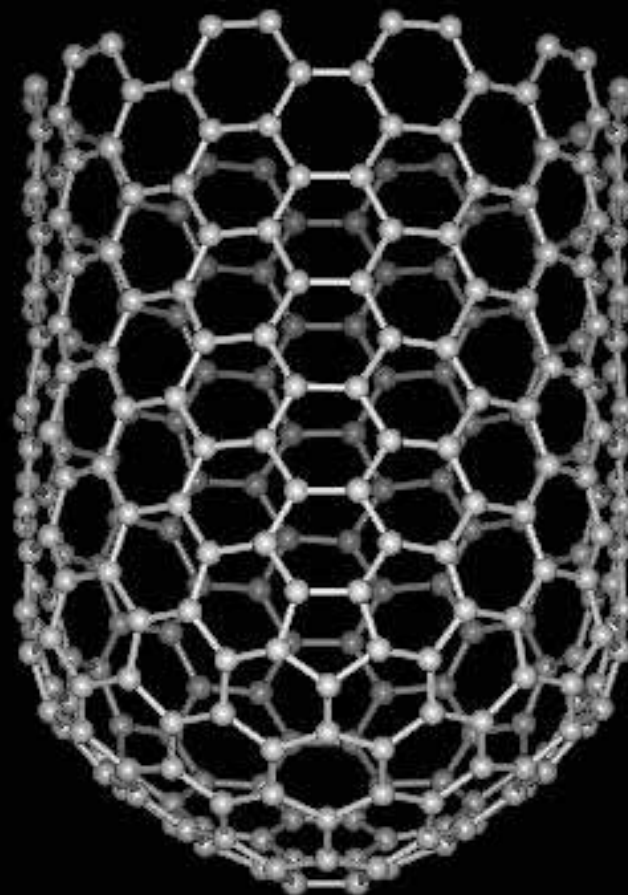


C₆₀

フラーレン



グラファイト



カーボンナノチューブ

サイズと物質

光

電子

10倍

1000倍

1000倍

1000倍

1000倍

日常の物質

L

Å (10^{-10} m)

nm

μm

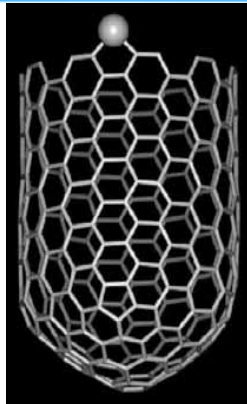
mm

cm

m

km

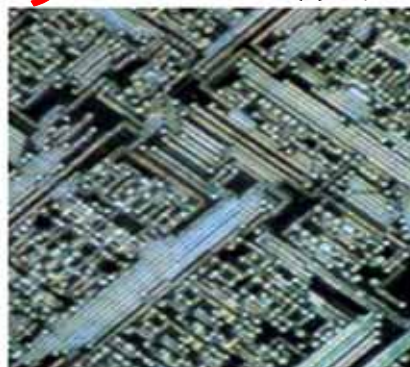
原子



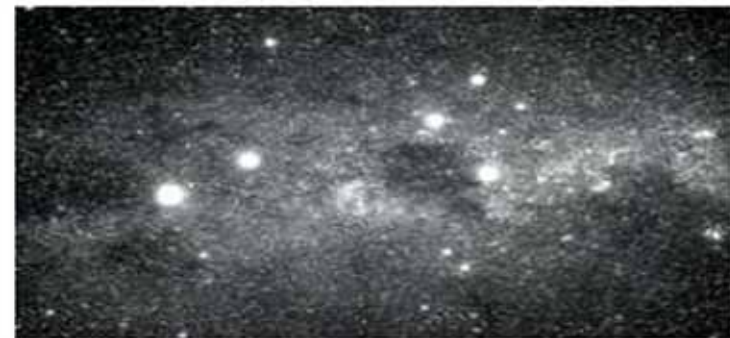
カーボン
ナノチューブ



ミジンコ



集積回路 (LSI)



電子顕微鏡の原理



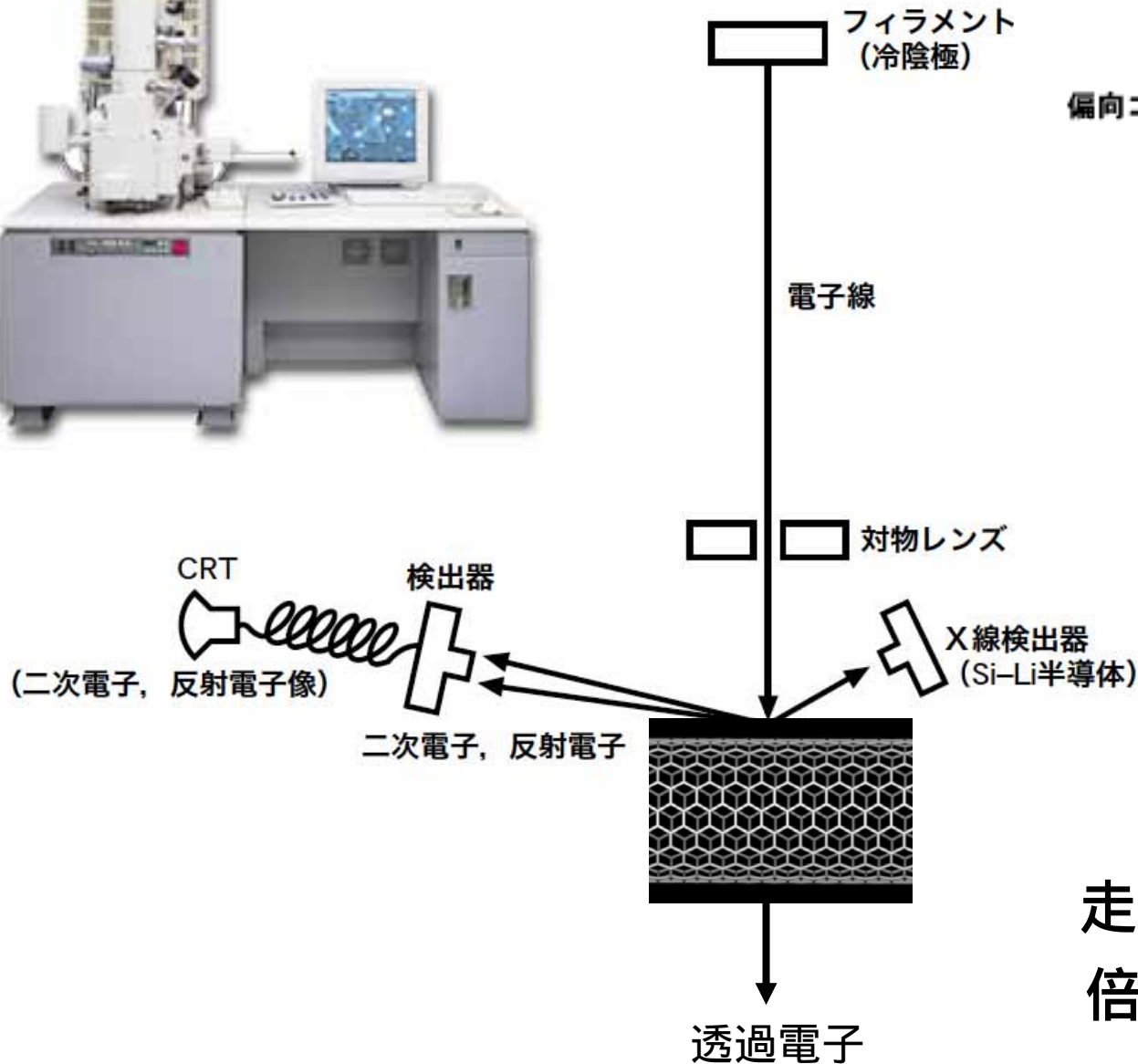
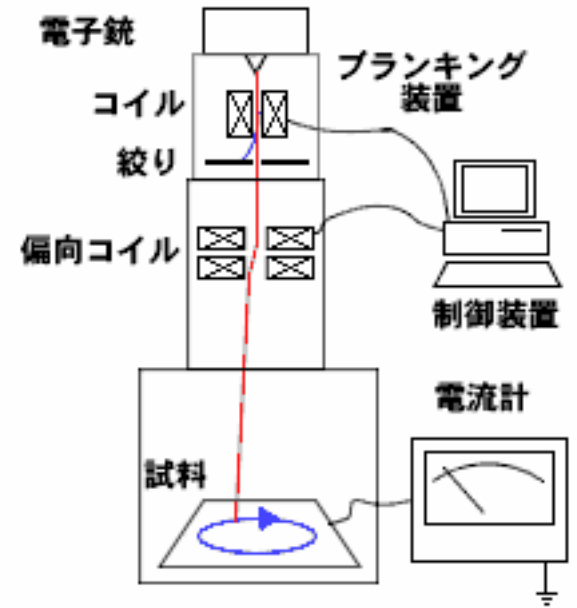
走査型電子顕微鏡
倍率 50万倍



透過型電子顕微鏡
倍率 ~ 200万倍

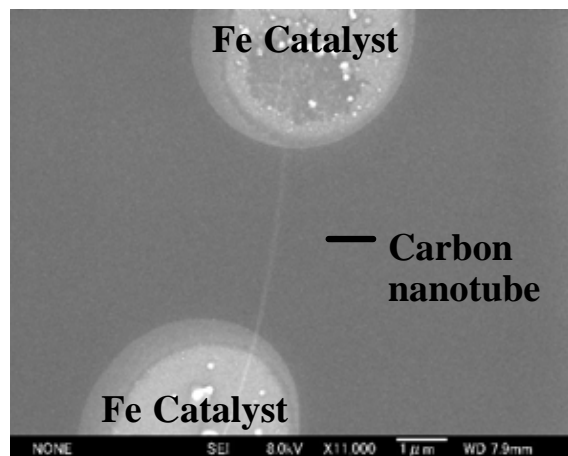
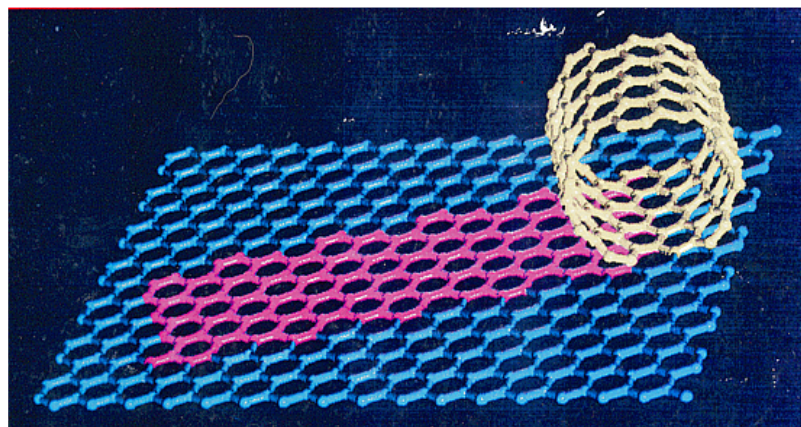
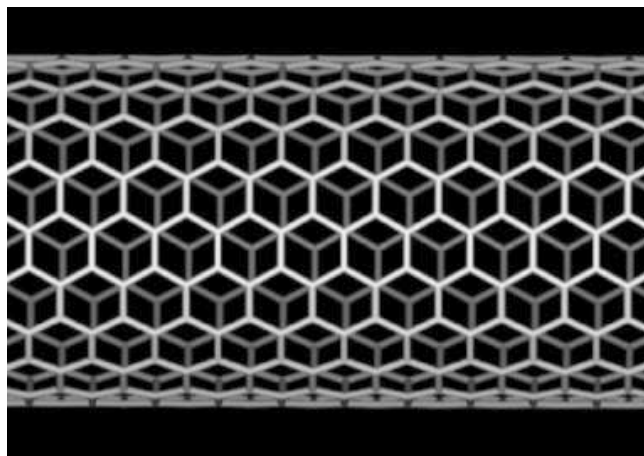
光学顕微鏡 倍率3000倍

電子顕微鏡の原理

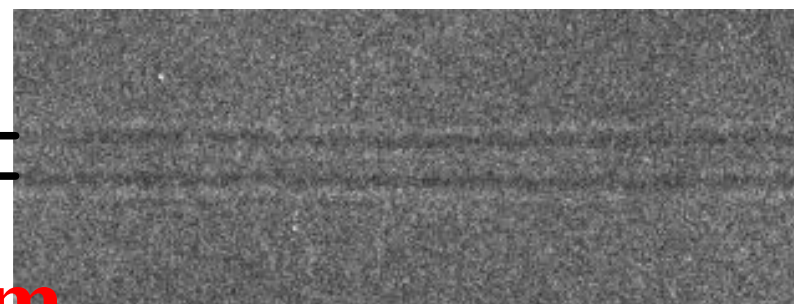
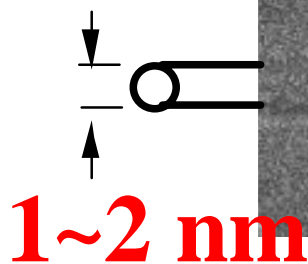


走査型電子顕微鏡
倍率 100万倍

単層カーボンナノチューブの構造

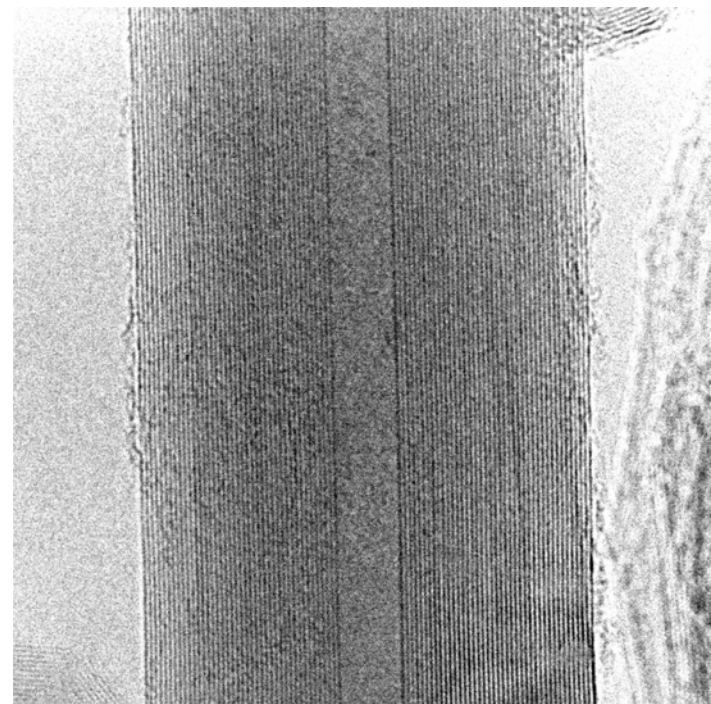


走査型電子顕微鏡で観察した
単層カーボンナノチューブ

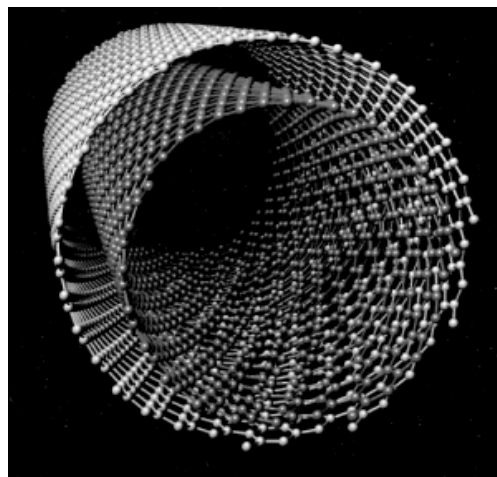
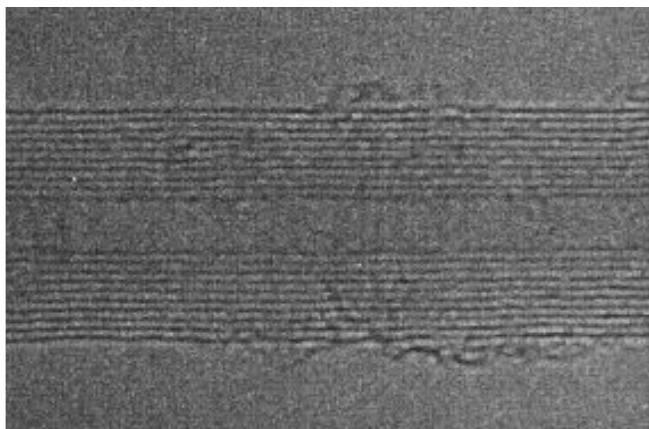


透過型電子顕微鏡で観察した
単層カーボンナノチューブ

多層カーボンナノチューブ



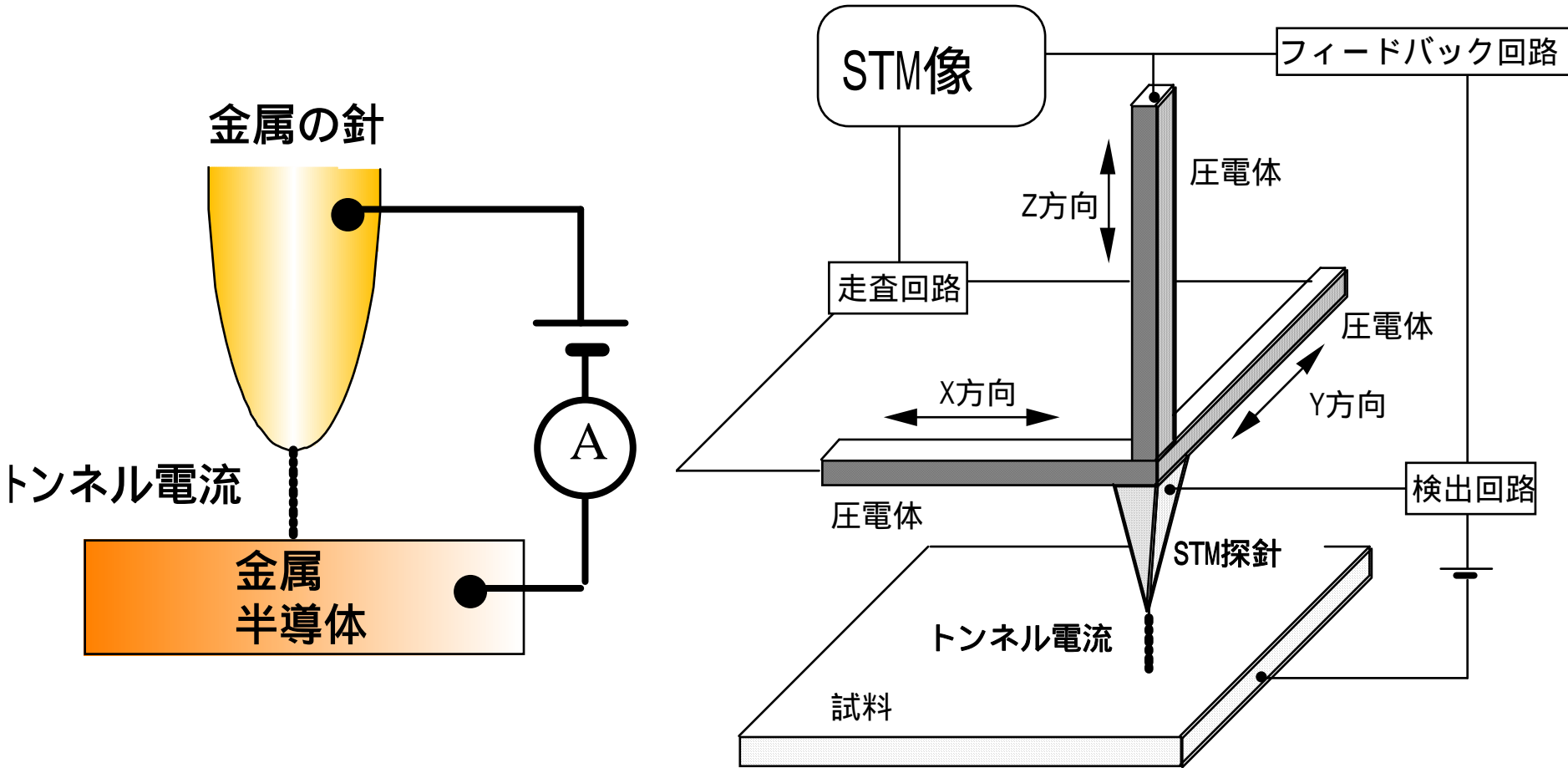
多層カーボンナノチューブの
透過型電子顕微鏡写真



層間距離 0.34nm

層数制御 不可能

走査型トンネル顕微鏡 Scanning Tunneling Microscope (STM)



IBM スイス チューリッヒ研究所
・ビーニツヒ/ローラー

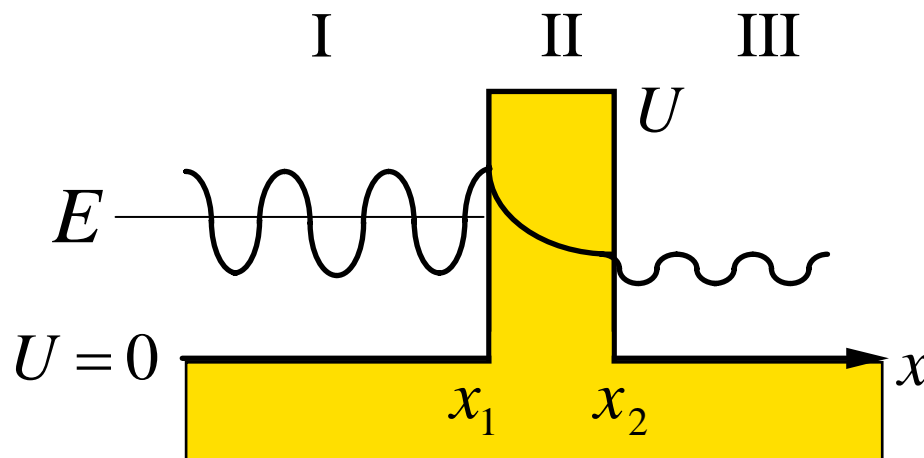
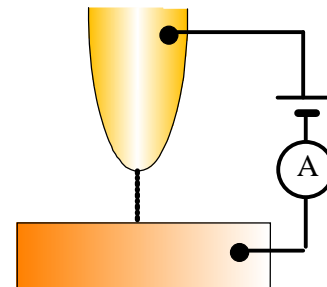
トンネル効果

電子の波としての性質 障壁の中で減衰

- 1) ポテンシャル障壁が薄いほど
- 2) ポテンシャル障壁が低いほど
トンネルしやすい

シュレーディンガー方程式

$$-\frac{\hbar^2}{2m} \frac{d^2 \varphi}{dx^2} + U(x) = E\varphi$$

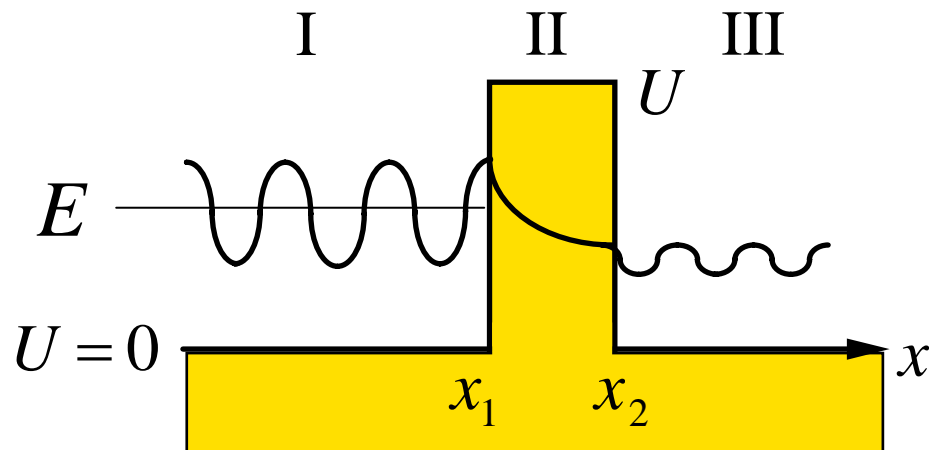


透過確率

$$T \approx \exp \left[\frac{-2}{\hbar} \int_{x_1}^{x_2} \sqrt{2m(E - U)} dx \right]$$

透過係数

$$\varphi = A \exp\left(\frac{\pm i}{\hbar} \int_{x_0}^x \sqrt{2m(E - U)} dx\right)$$



透過係数 $T = \left| \frac{\varphi(III)}{\varphi(I)} \right|^2$

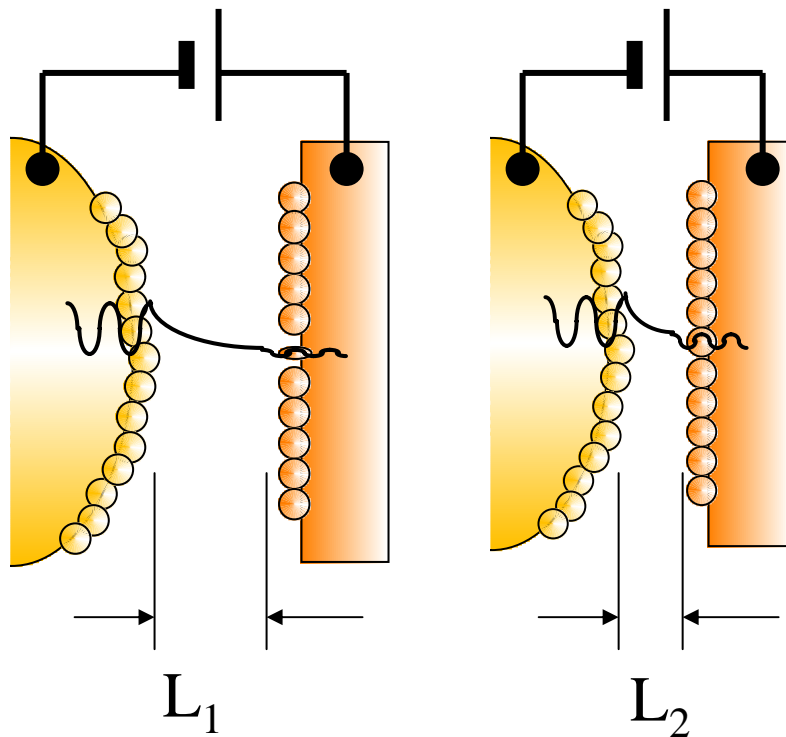
$$T \approx \exp\left[-\frac{2}{\hbar} \int_{x_1}^{x_2} \sqrt{2m(E - U)} dx \right]$$

$$L_1 > L_2 \quad T_1 \ll T_2$$

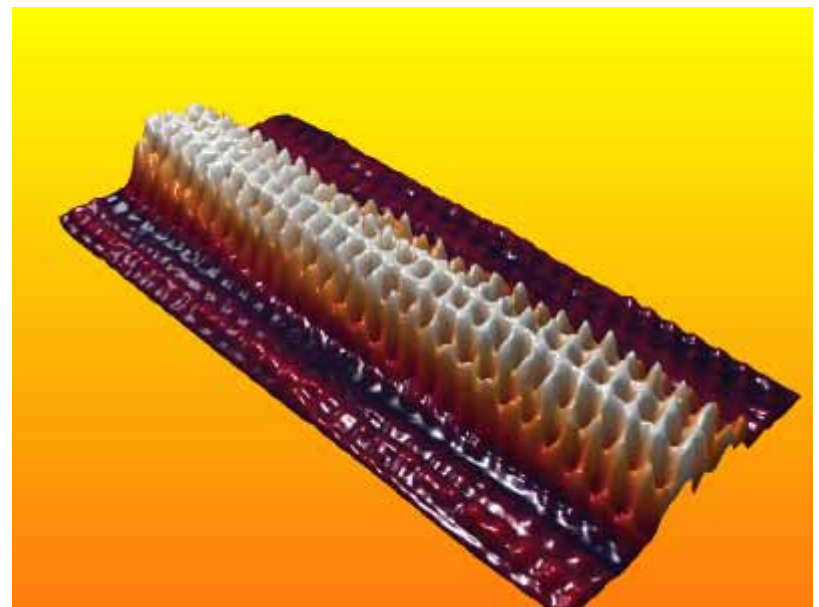
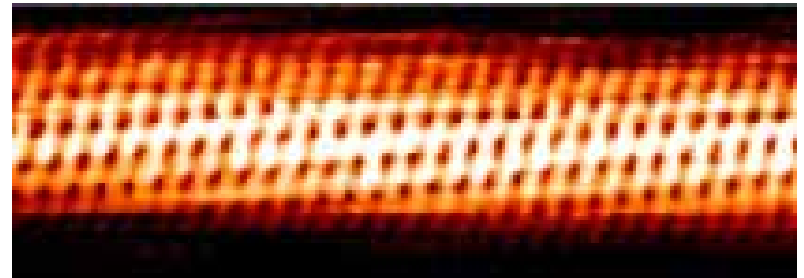
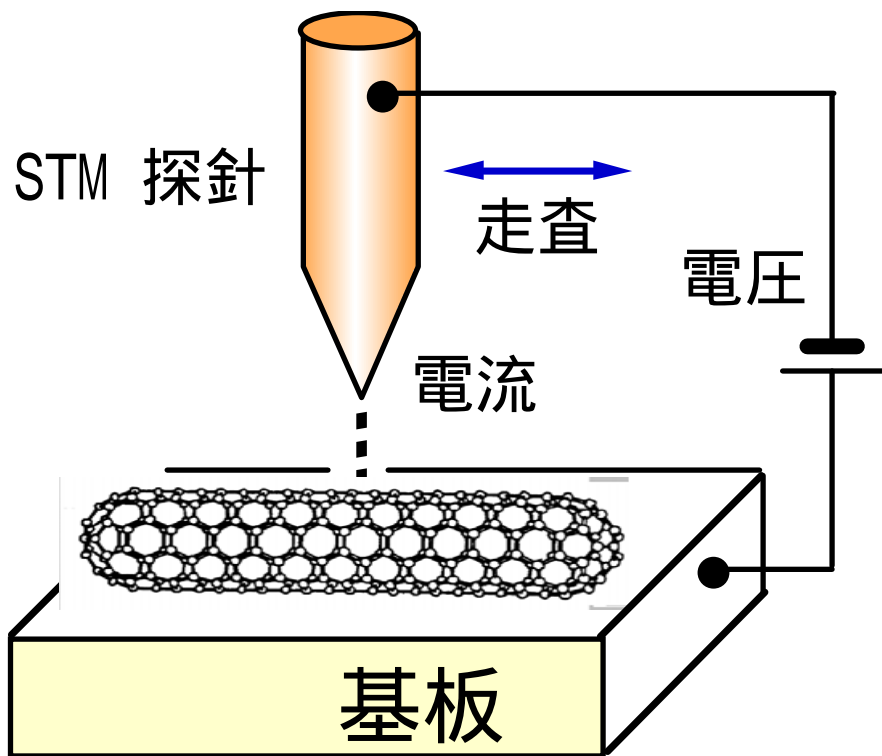
STMにおいて

L: 1A 大きくなる

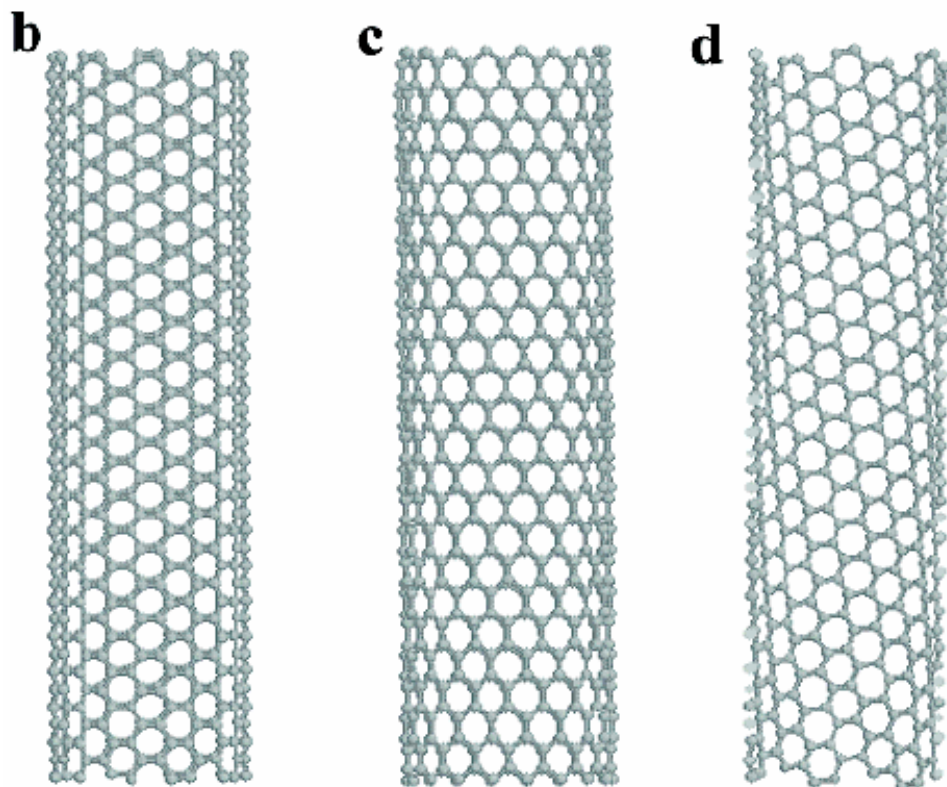
T: 10倍小さくなる



走査型トンネル顕微鏡で観察した カーボンナノチューブ



Chirality of Carbon Nanotube カイラリティー



armchair

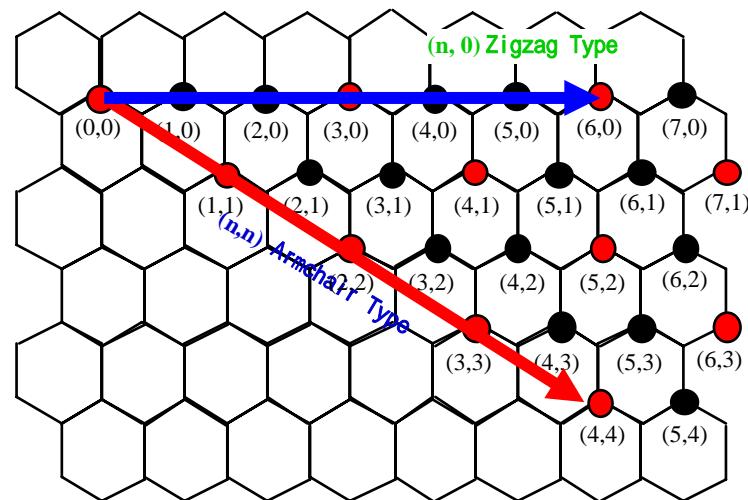
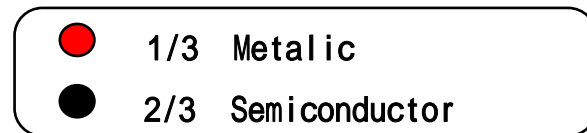
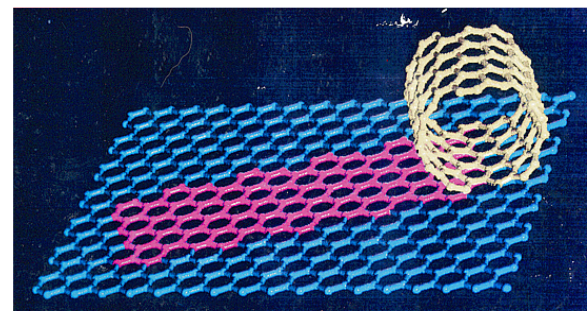
• Metal

zigzag

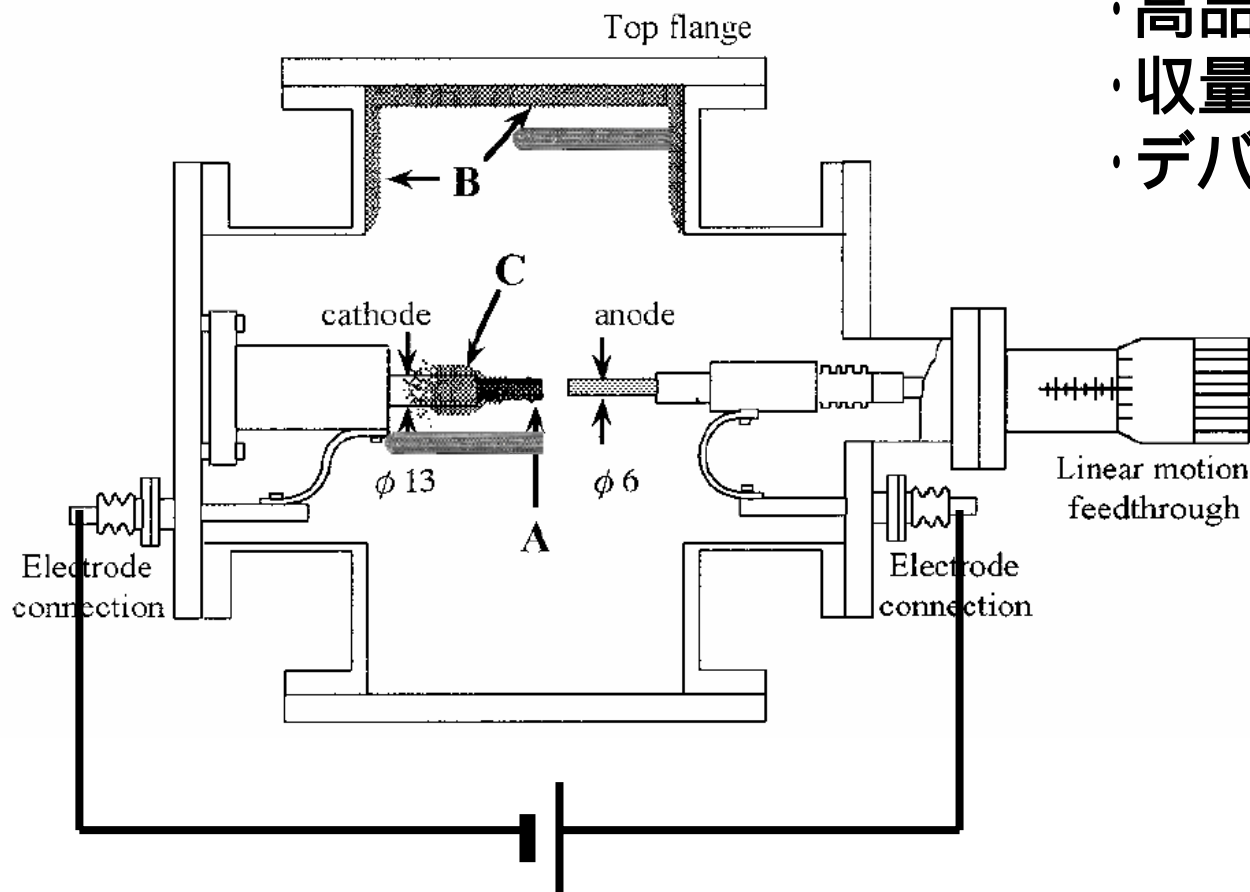
• Metal
• Semi Con.

chiral

• Metal
• Semi Con.



カーボナノチューブの アーク放電成長法



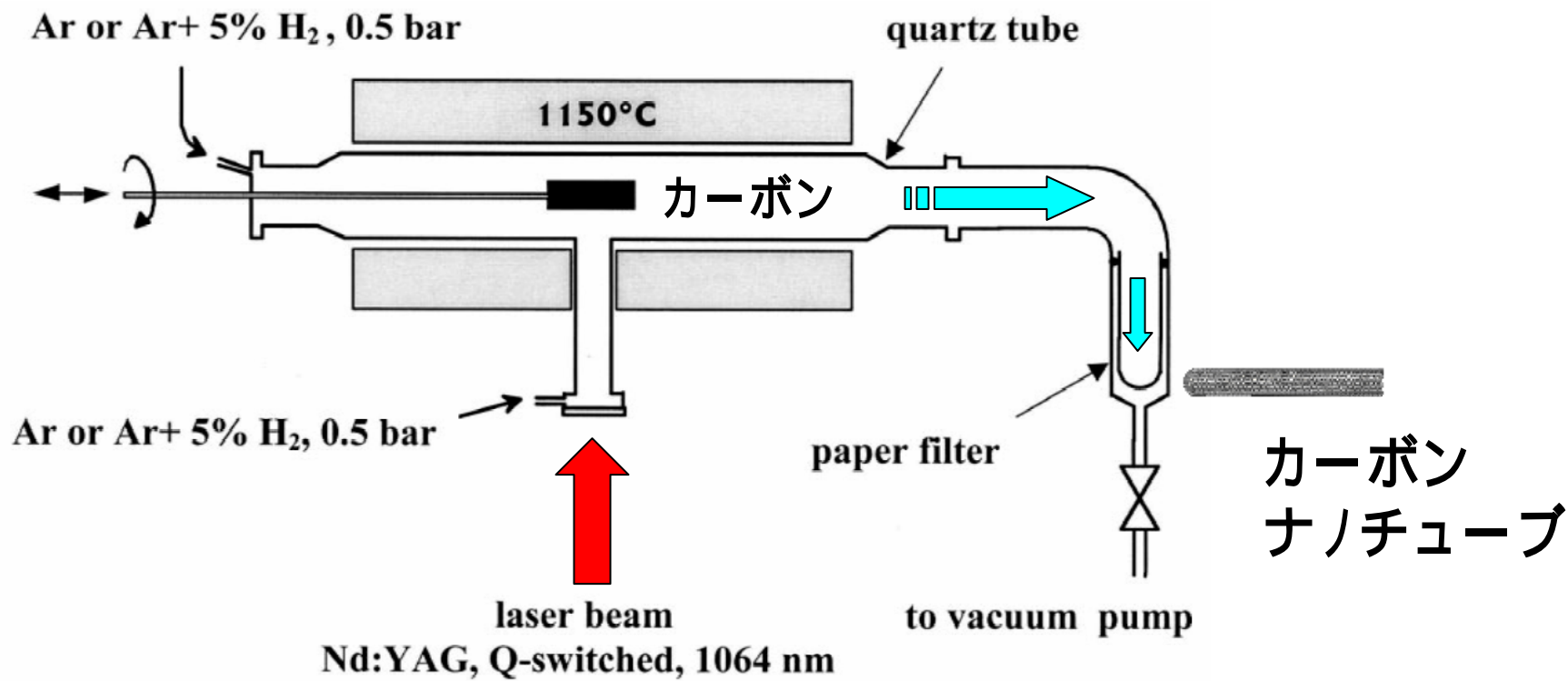
- ・高品質(欠陥少)
- ・収量 少
- ・デバイスに不向き

高電圧

カーボンノチューブの レーザーアブレーション成長法

昇華

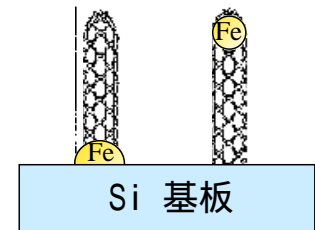
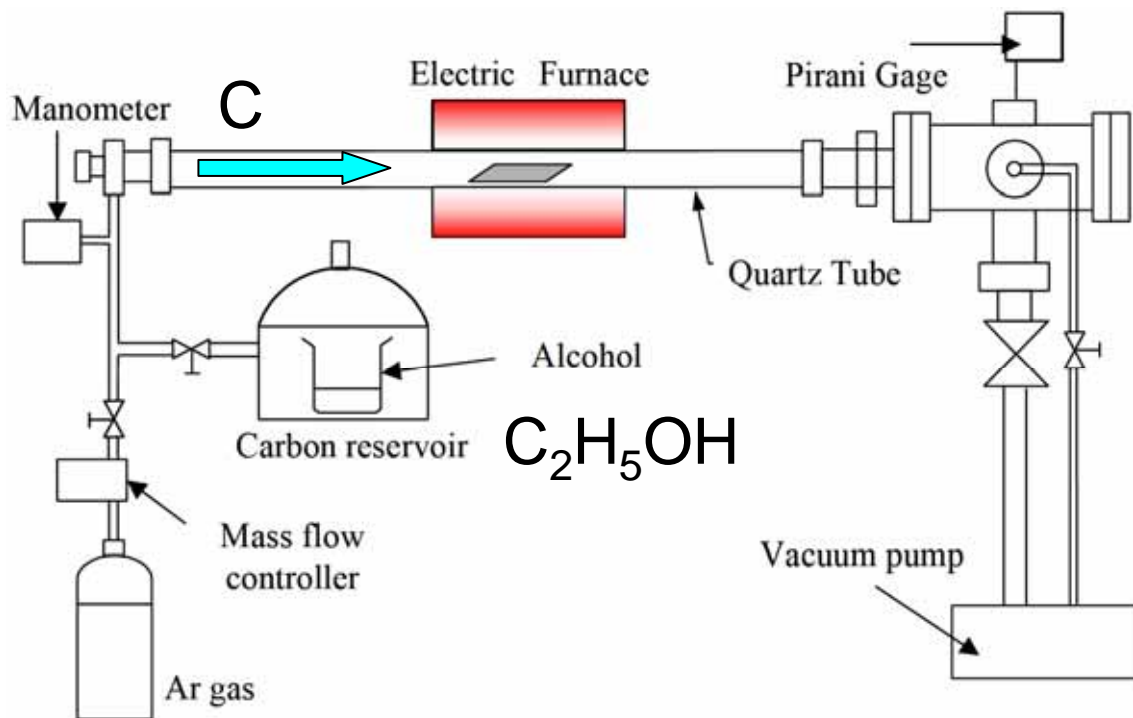
- ・品質普通
- ・収量 大
- ・デバイスに不向き



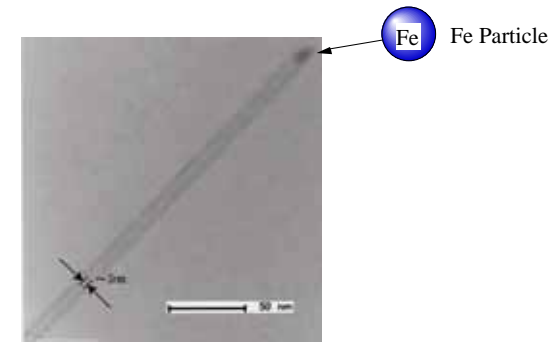
カーボナノチューブの化学気相成長法 (CVD)

Chemical Vapor Deposition (CVD)

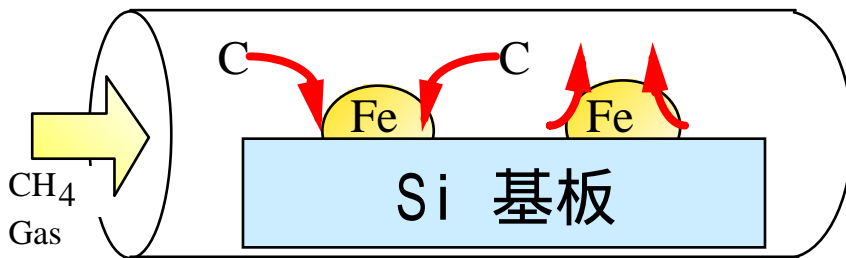
- ・品質やや悪い
- ・収量 普通
- ・デバイスに最適



カーボンナノチューブの鉄触媒からの 化学気相成長方法

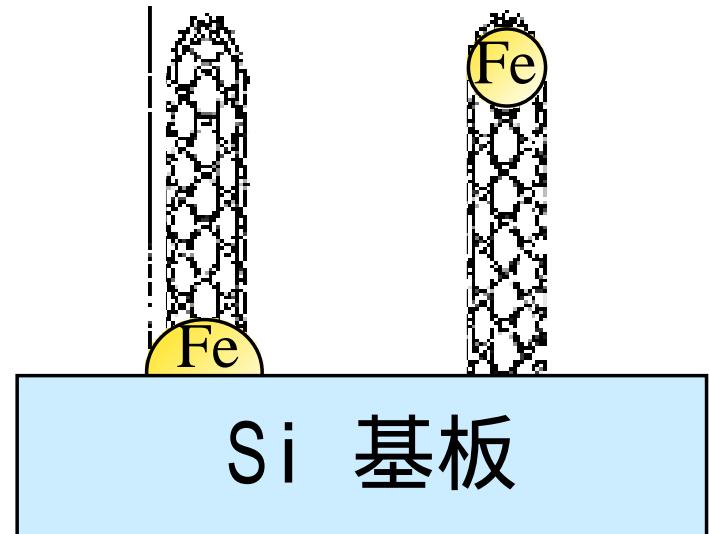


TEM Image of SWCNT



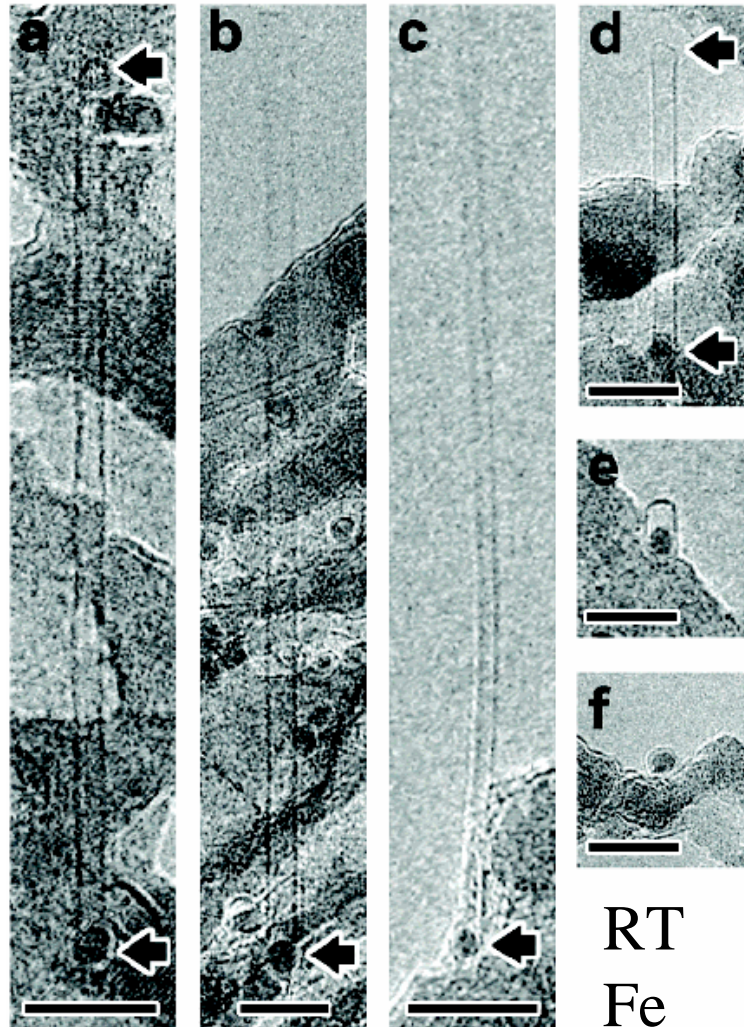
900C/30min.

- 鉄 (Fe) の微粒子 触媒
- 炭素ガスから触媒を経由
- カーボンナノチューブが成長

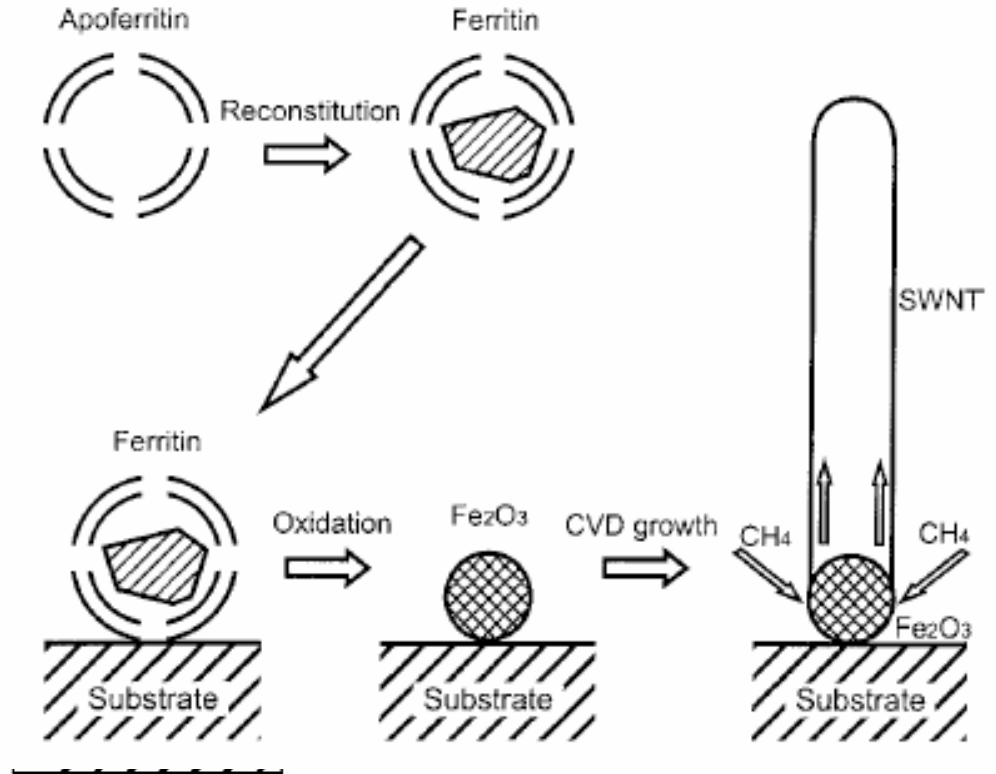


- 鉄触媒 先端に残る場合
- 鉄触媒 根元に残る場合

Carbon Nanotube Growth from Fe Particles



SCHEME 1. Process Flow for SWNT Synthesis from Discrete Nanoparticles by CVD



RT
Fe

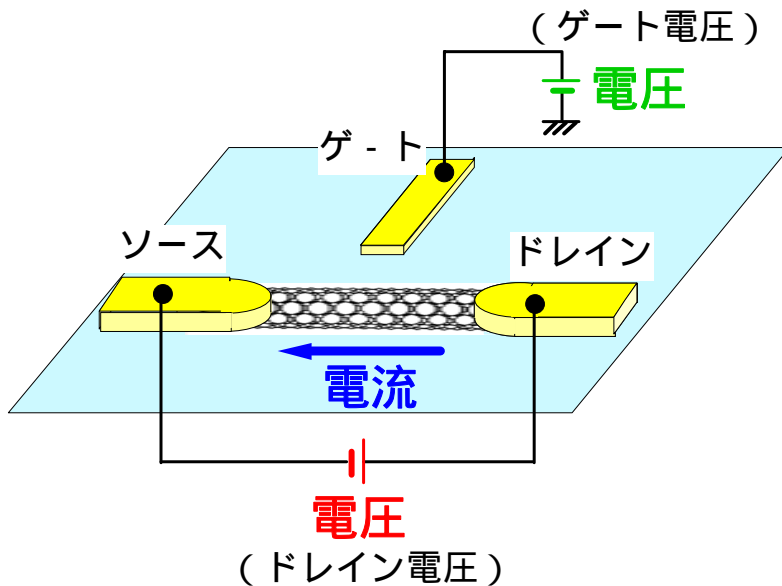
Heating
 Fe_3O_4 Fe_2O_3

CVD
 Fe_3O_4

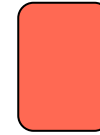
Fe-C
FeO

CNT
 Fe_3C
Fe-C

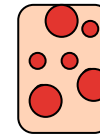
カーボンナノチューブ電子デバイス



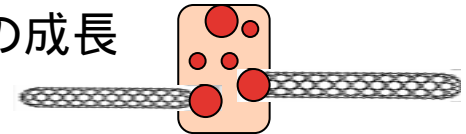
1) 鉄触媒の
パターニング



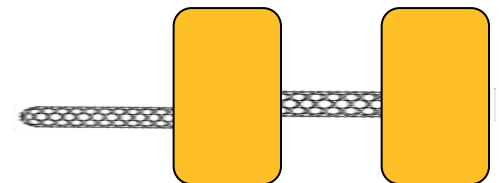
2) 高温における
鉄微粒子形成



3) カーボンナノチューブ
の触媒からの成長



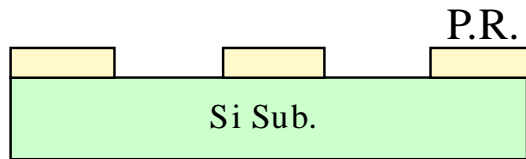
4) 電極形成



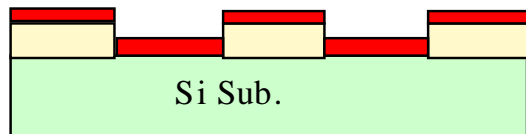
問題点: 1) 方向 2) 本数 3) 直径 4) 位置 5) カイラリティー

Position Controlled Growth of Carbon Nanotube using Patterned Catalyst

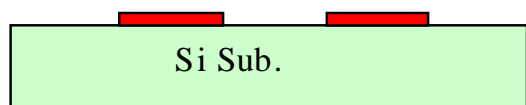
1) Photo Resist Patterning



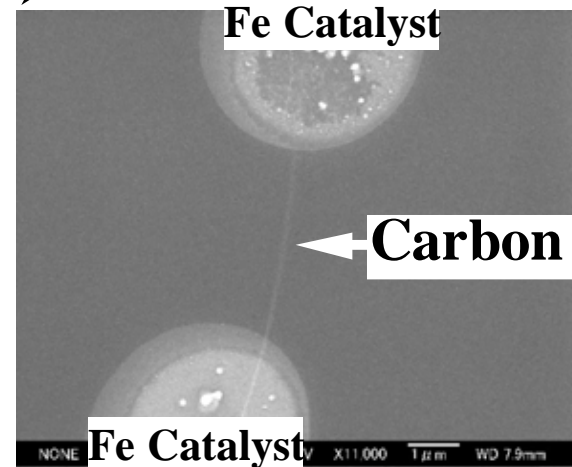
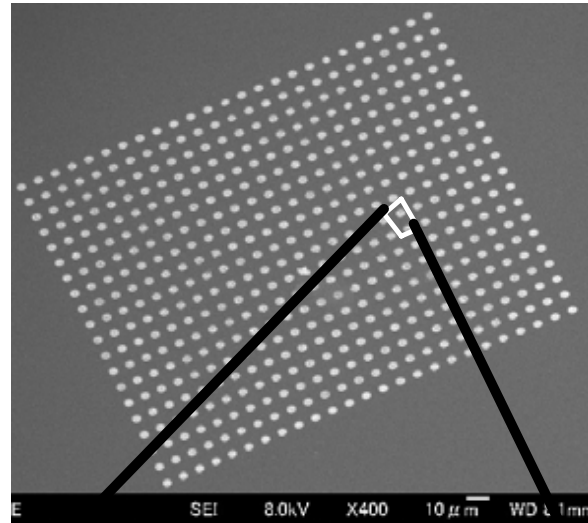
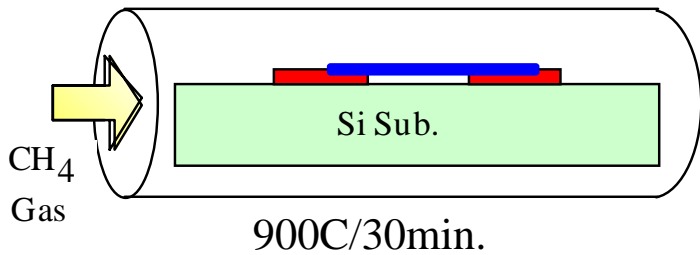
2) Fe Deposition



3) Lift Off

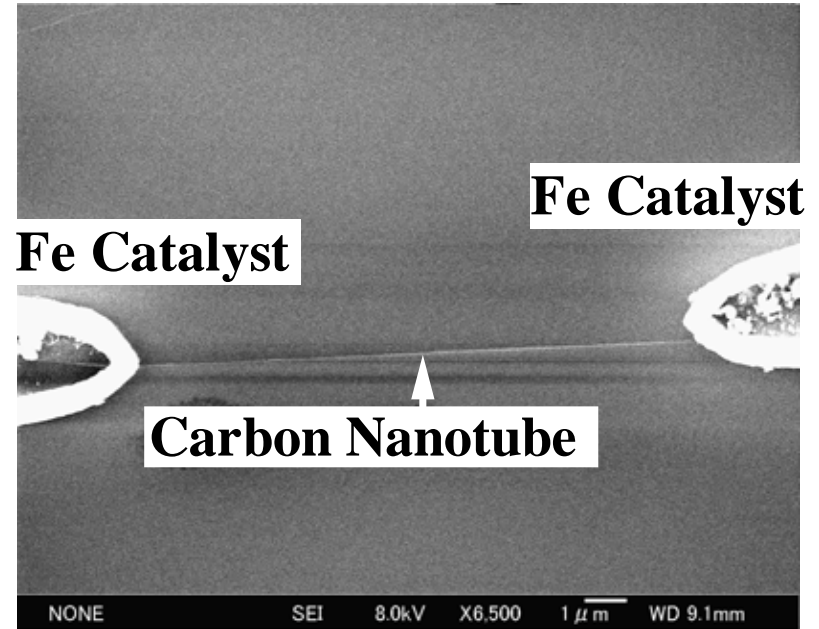
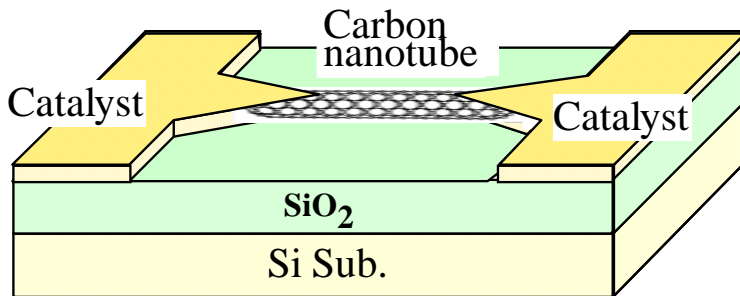
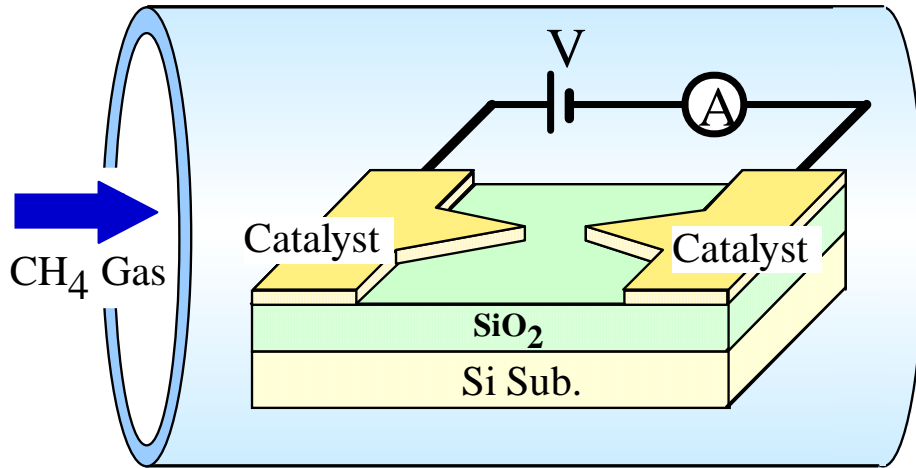


4) Carbon Nanotube Growth



$\sim 10\%$

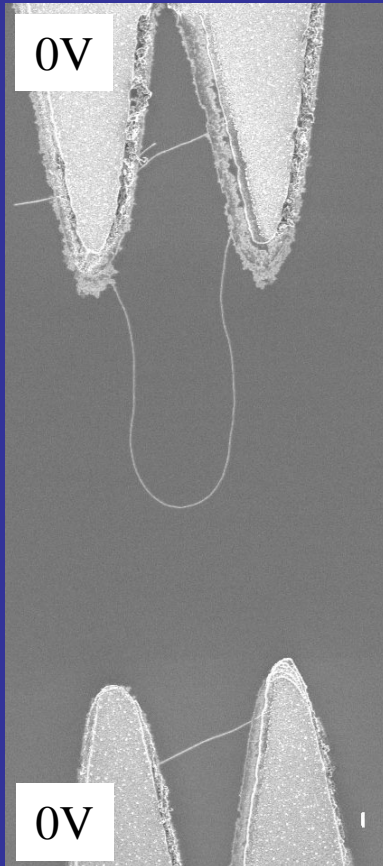
電界印加成長によるカーボンナノチューブの方向制御



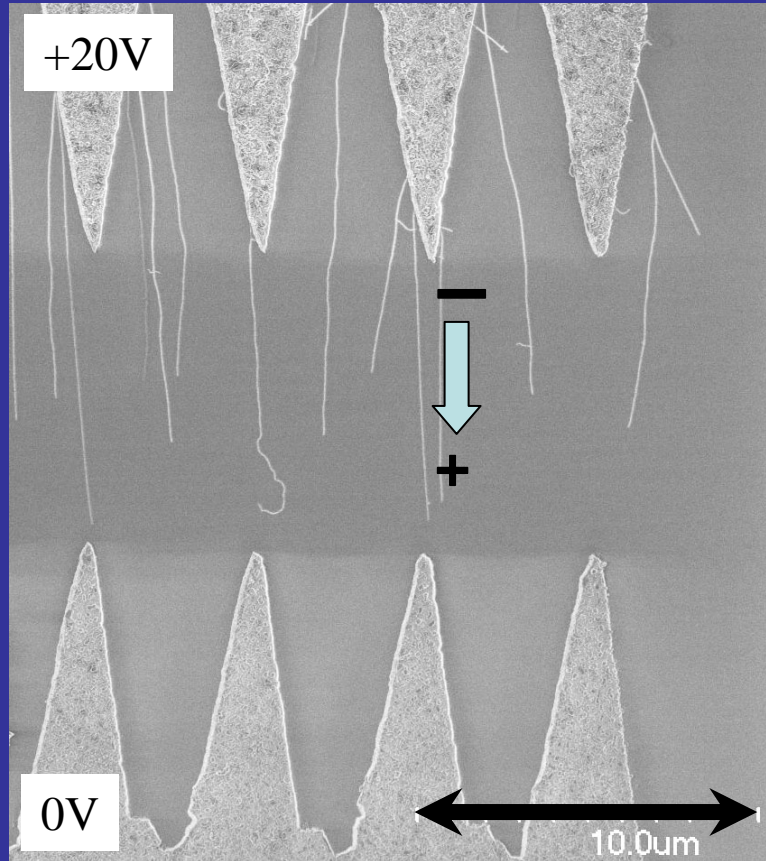
~20%

Effect of Van der Waals Force
between Carbon Nanotube & SiO₂ Sub.

電界印加成長によるカーボンナノチューブの方向制御

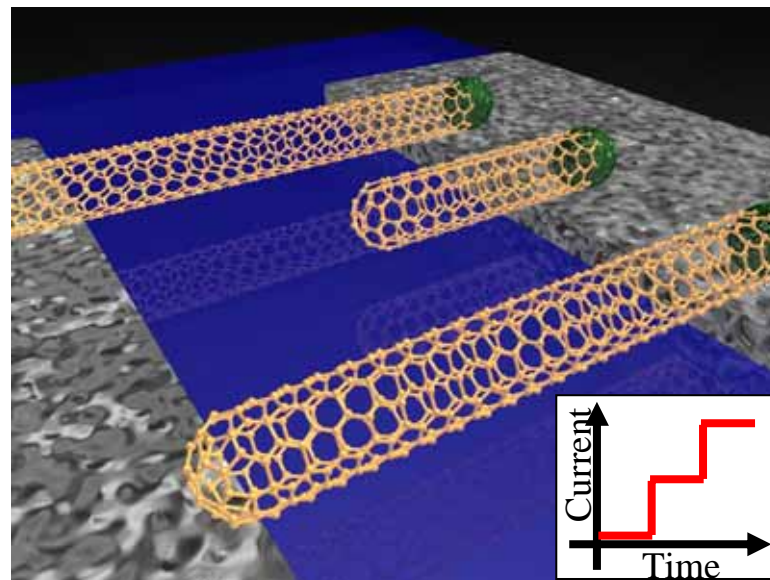
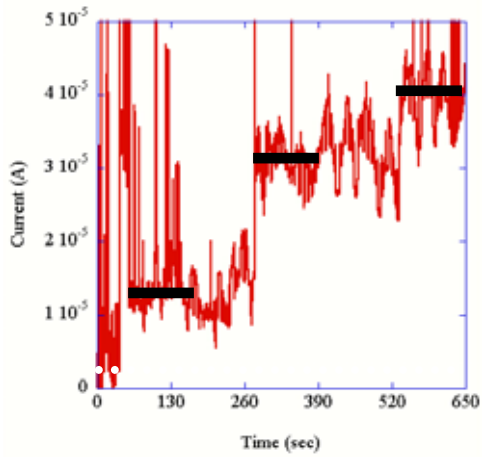
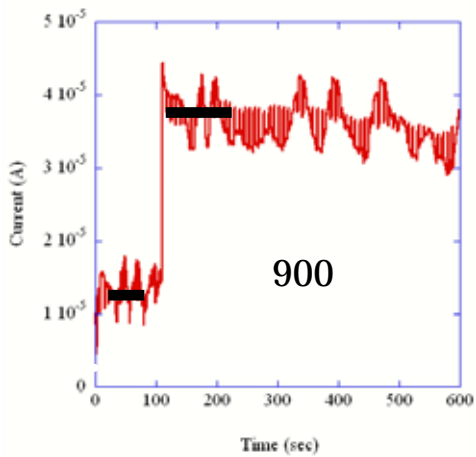
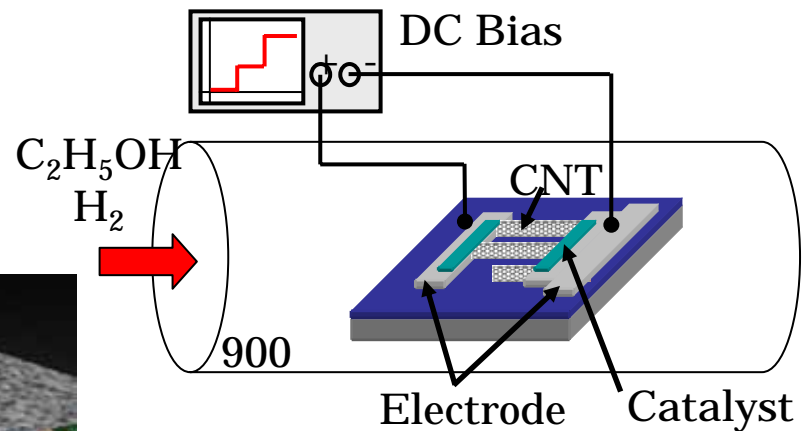
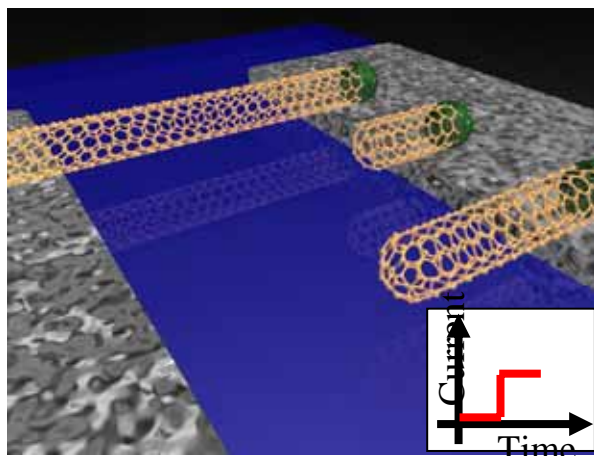
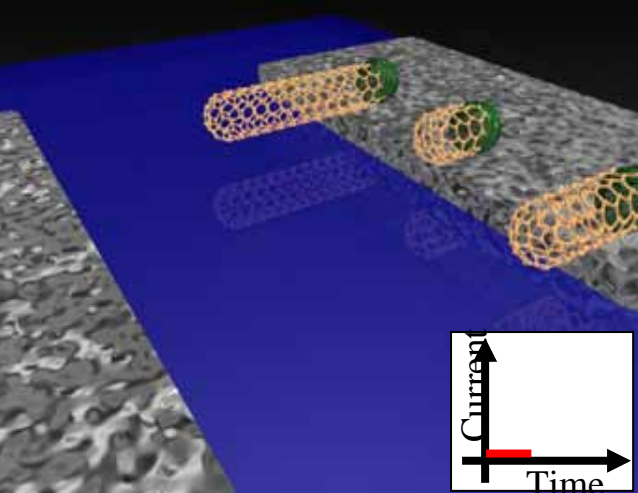


Growth without Electric field

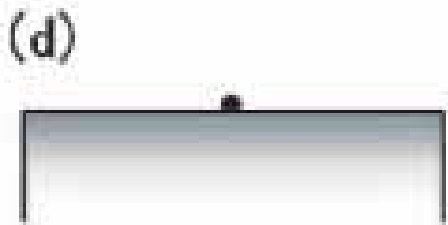
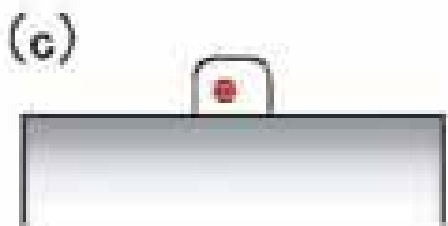
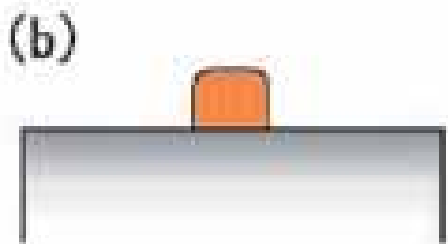


Electric field effect Growth
Source 10V Drain -10V Gate -40V

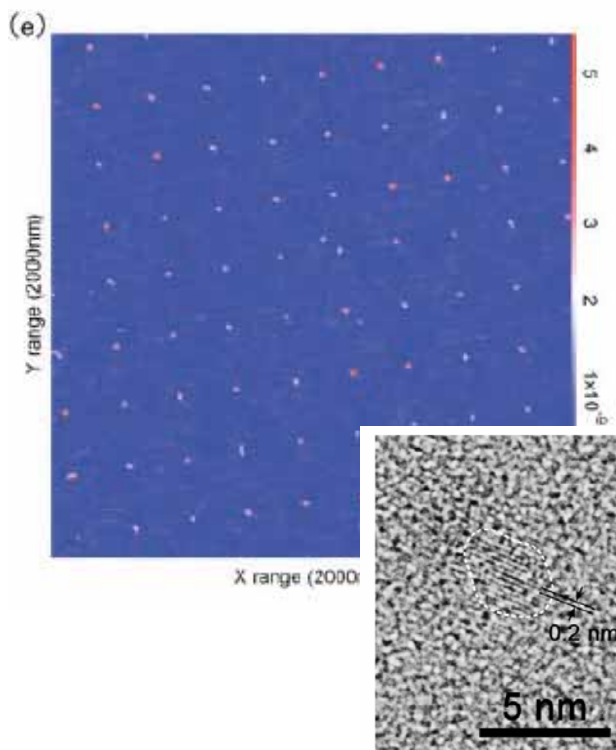
カーボンナノチューブの本数制御成長



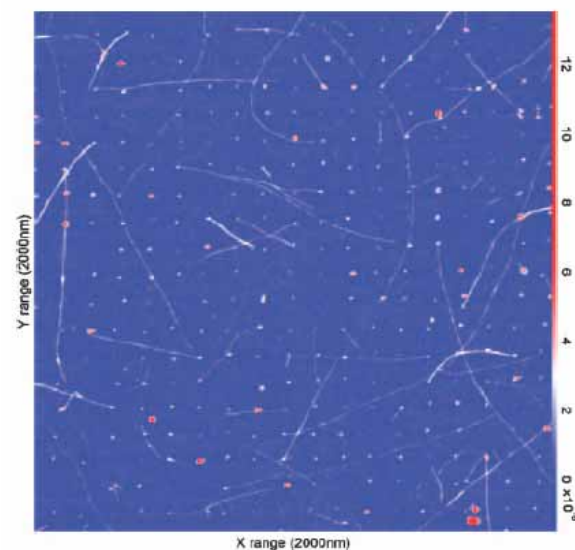
カーボンナノチューブの位置指定成長法



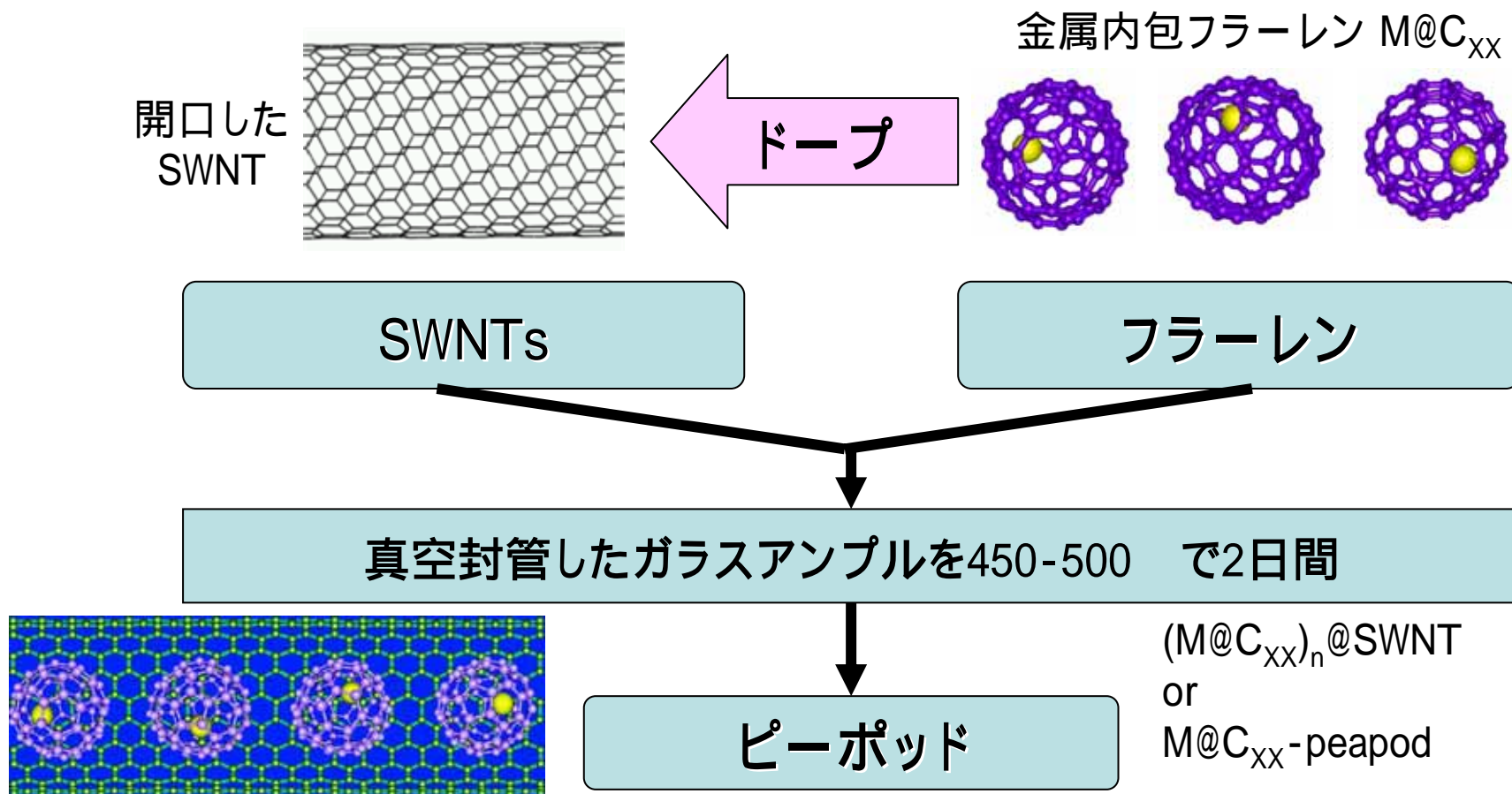
1) 直径1nm の鉄微粒子を
任意の位置におく



2) 鉄微粒子からカーボン
ナノチューブの成長

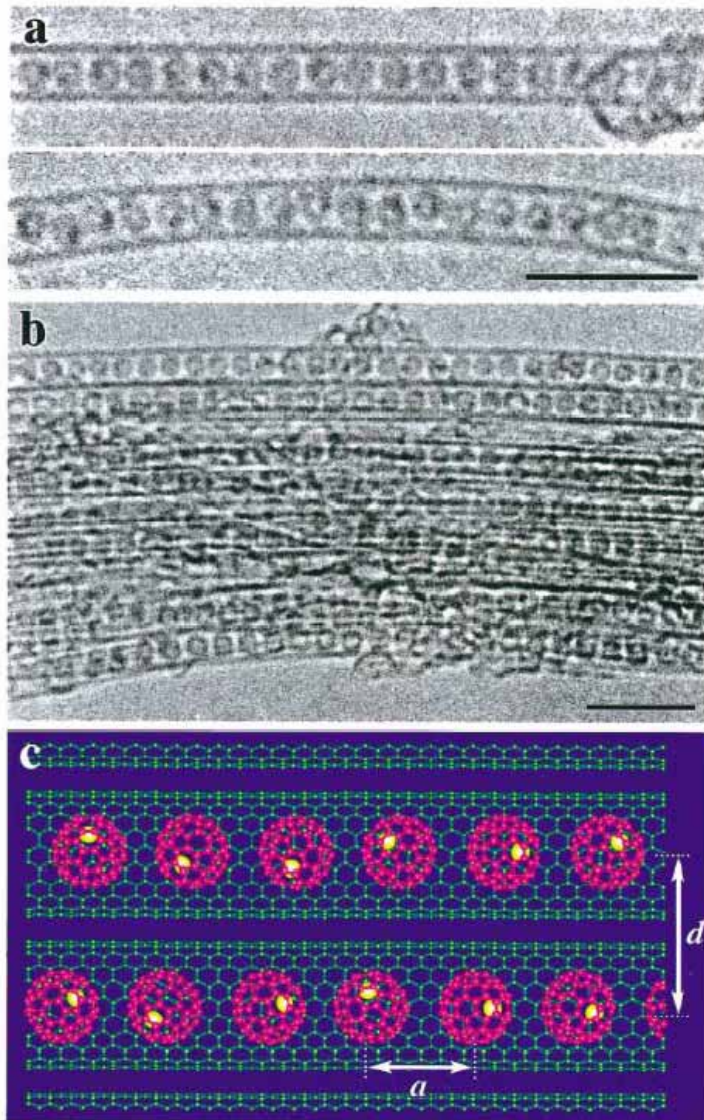


ピーポッドの合成

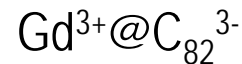
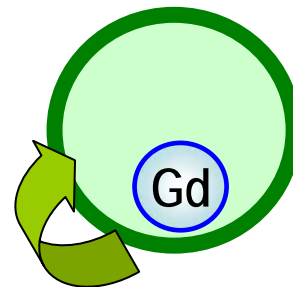


金属内包フラーレンピーポッドの合成

Gd@C₈₂ peapod



Gdが+3価の状態であることを示す。EELS測定



K.Hirahara *et al.*,
Phys.Rev.Lett. **85**, 5384 (2000).
K. Suenaga *et al.*,
Science **290**, 2280 (2000).
K.Hirahara *et al.*,
Phys.Rev.Lett. **85**, 5384 (2000).

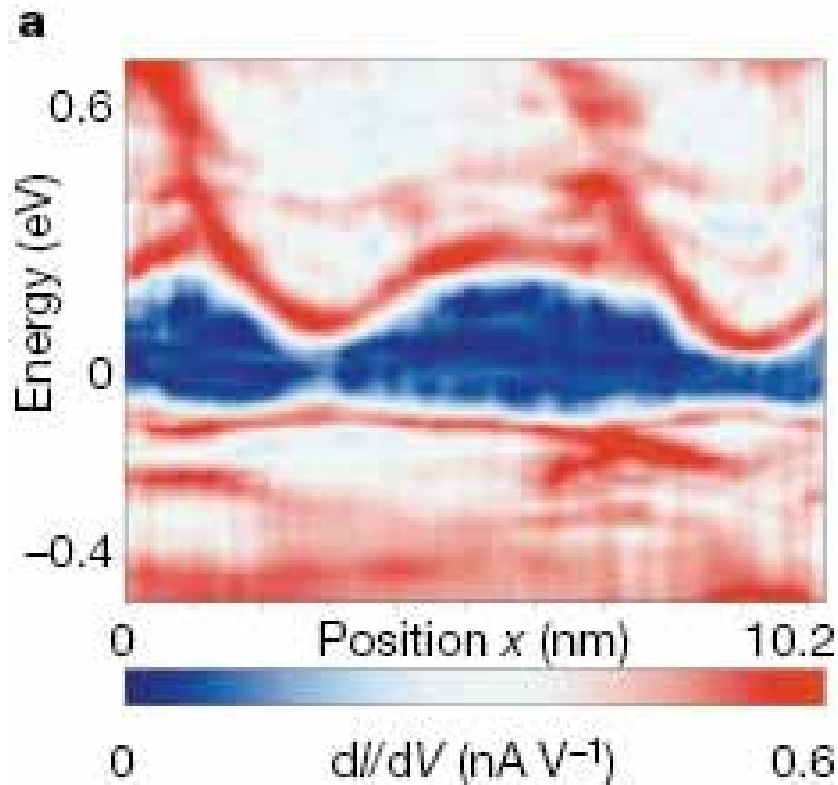
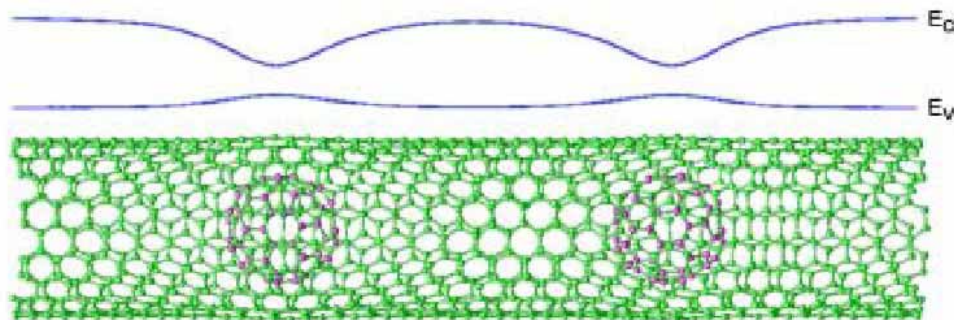
•金属内包フラーレンピーポッド

電荷移動数

Gd@C ₈₂	+3
Dy@C ₈₂	+3
Ti ₂ @C ₈₀	+4
Ce ₂ @C ₈₀	+6
Gd ₂ @C ₉₂	+6

STS - Gd@C₈₂ Peapod

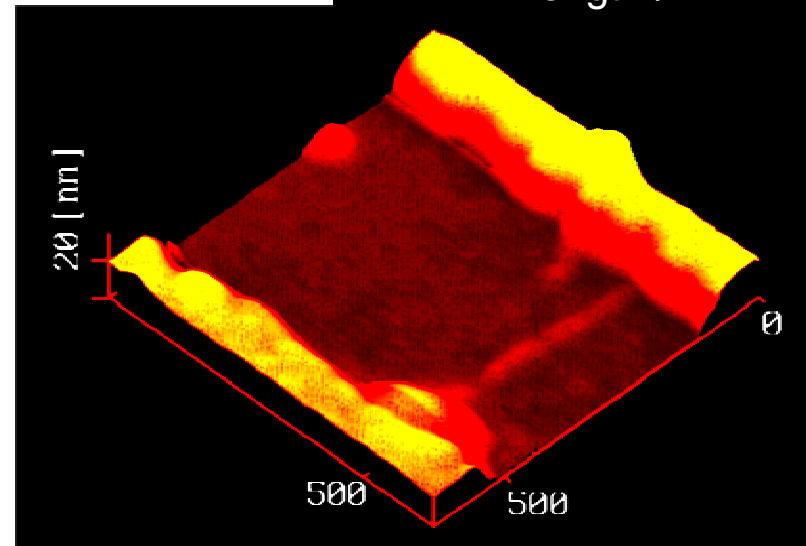
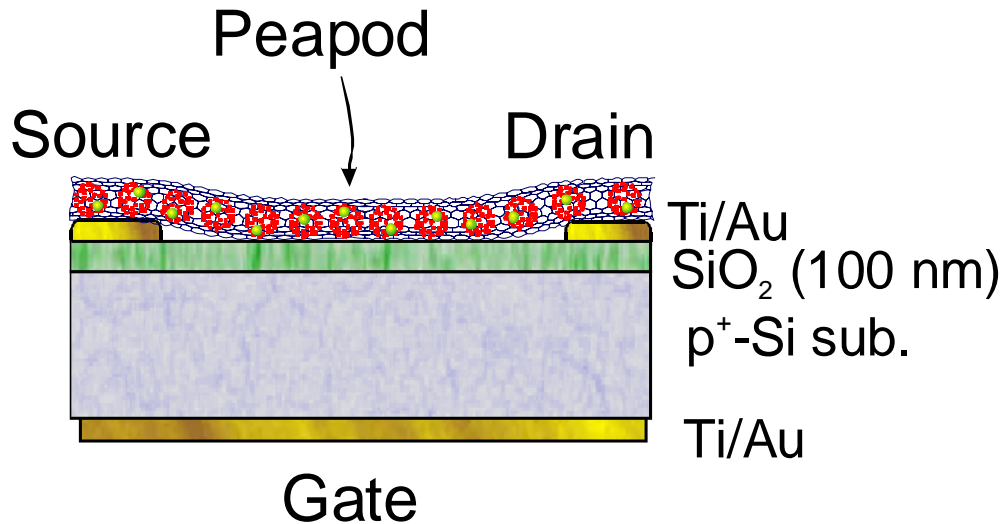
J. Lee *et al.* Nature **415** 1005 (2002)



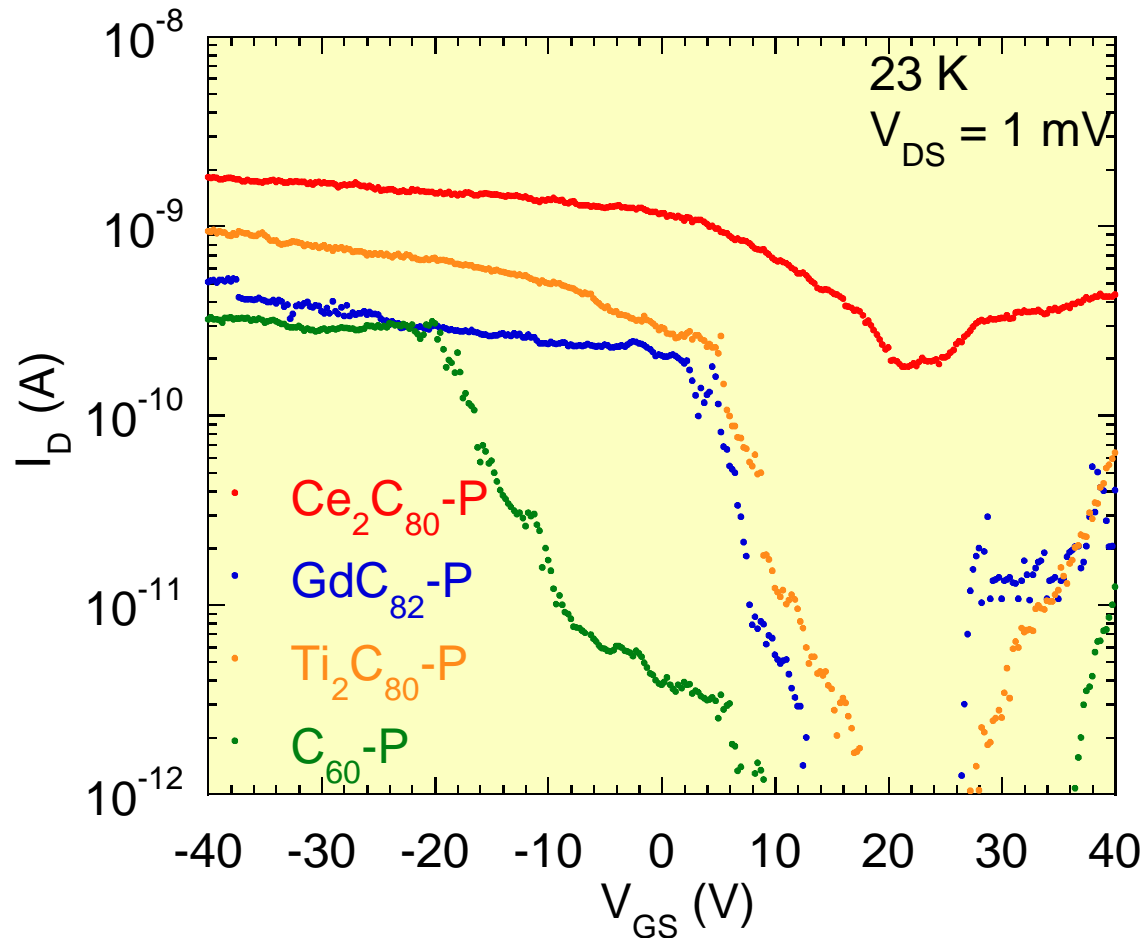
Gd@C₈₂付近で
伝導帯端が大きく変調
バンドギャップ変調

Peapod FET ピーポッドFETの作製

- 電子線露光による電極形成
- ピーポッドの分散液を滴下
 内包したフラーレン
 - C_{60} , C_{78} , C_{90}
 - 金属内包フラーレン
($Gd@C_{82}$, $Ti_2@C_{80}$, etc.)



Various Type Peapod FET and its I_D - V_{GS} Characteristics



• 金属内包フラーレンピーポッド
電荷移動数

$Ce_2@C_{80}$	+6
$Ti_2@C_{80}$	+4
$Gd@C_{82}$	+3
C_{60}	+0

1) 通常のSWNT FET

• p型



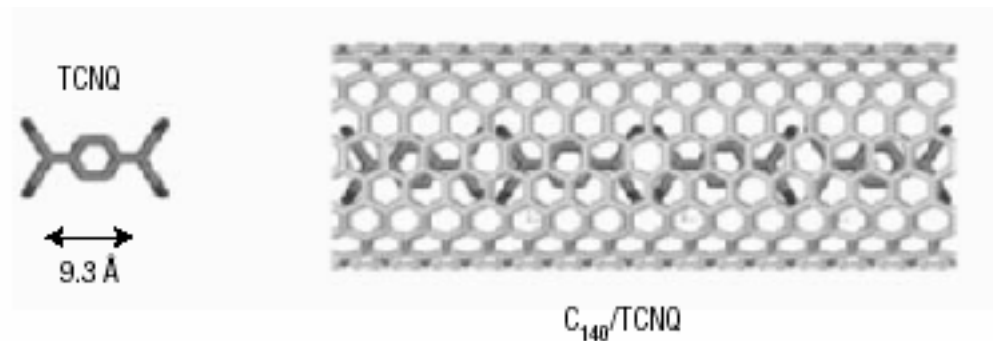
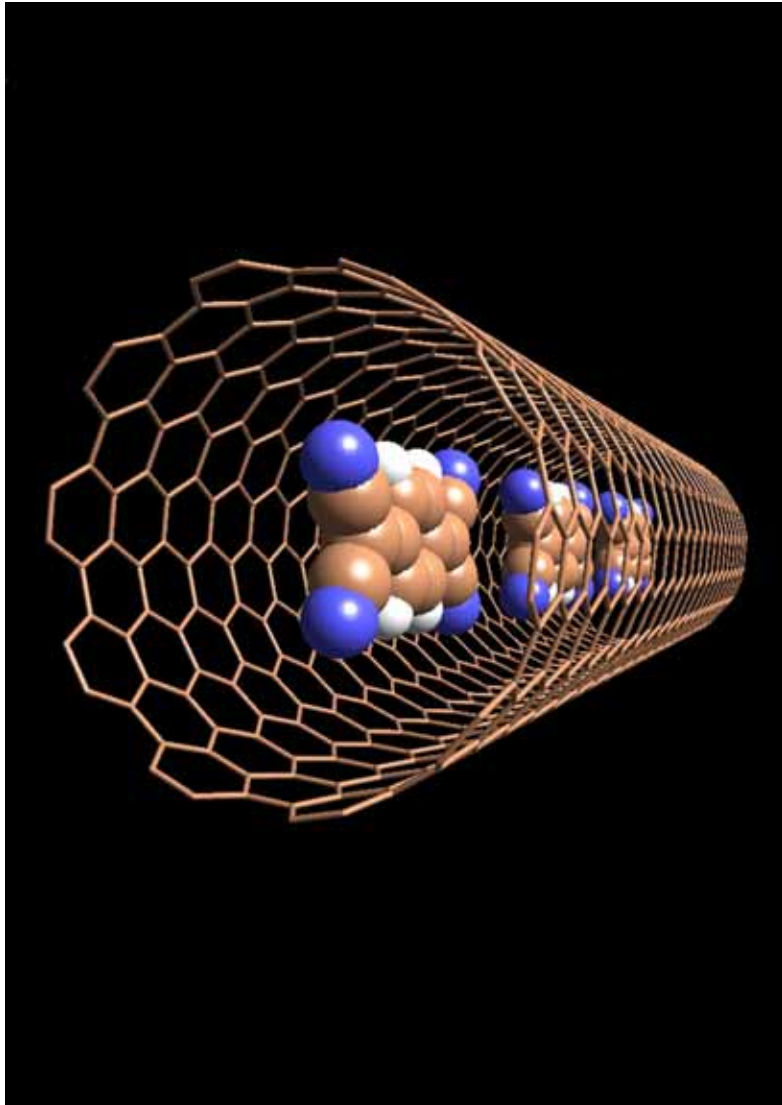
2) $Ti_2@C_{80}$ ピーポッドFET

• p / n 両極性

3) オフ領域の電圧幅

• バンドギャップを反映

Various Organic Molecular Doping into Carbon Nanotube



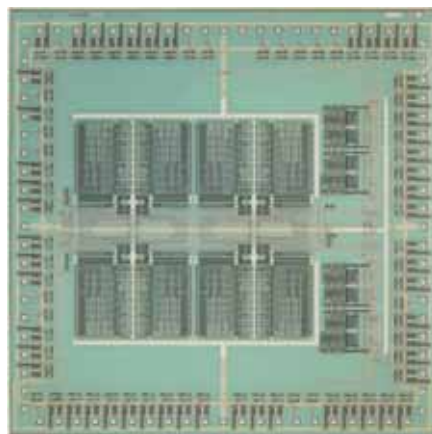
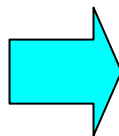
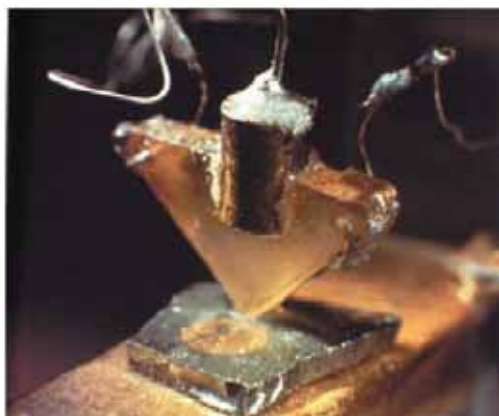
- ・有機分子からCNTへ電子の移行
- ・CNTの伝導特性が制御可能？

Structure was determined by Spring-8.

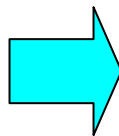
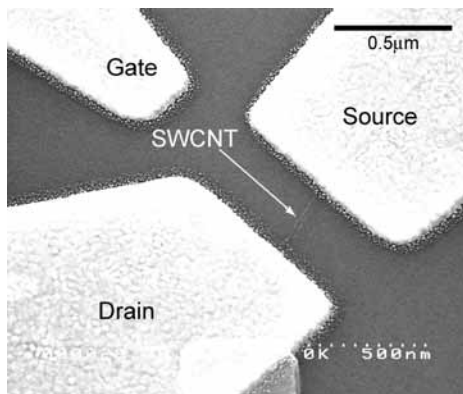
カーボンナノチューブトランジスタ

トランジスタ：50年にわたる発展

集積回路は何？
何を集積しているの？
材料は何？
サイズは？
現在の最高の集積度は？



カーボンナノチューブ：純粋科学から工学応用へ

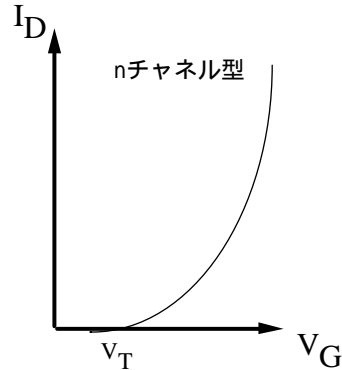
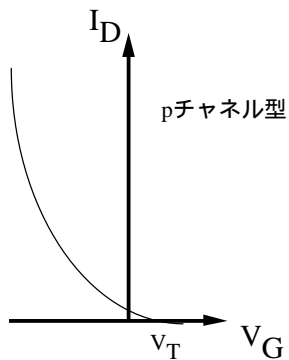
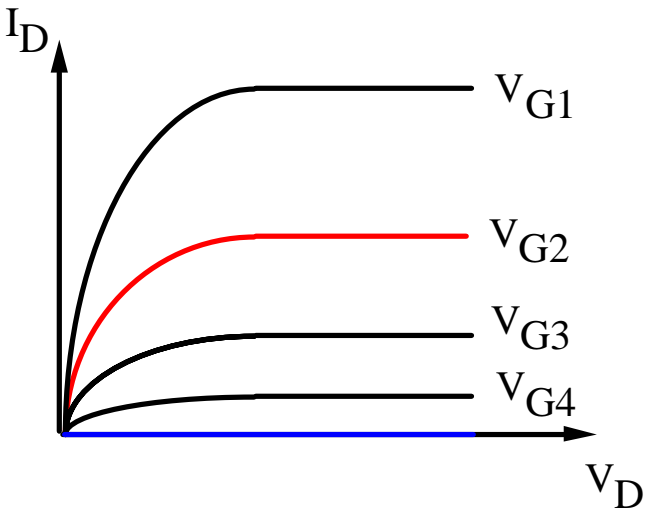


MOSFET : Metal Oxide Silicon Field Effect Transistor

金属 / 酸化物 / シリコン 電界効果トランジスタ

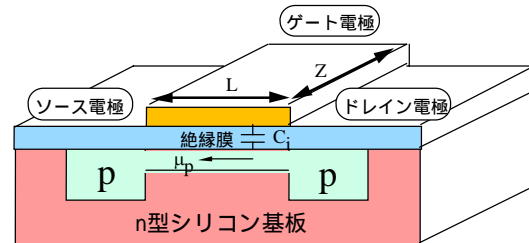
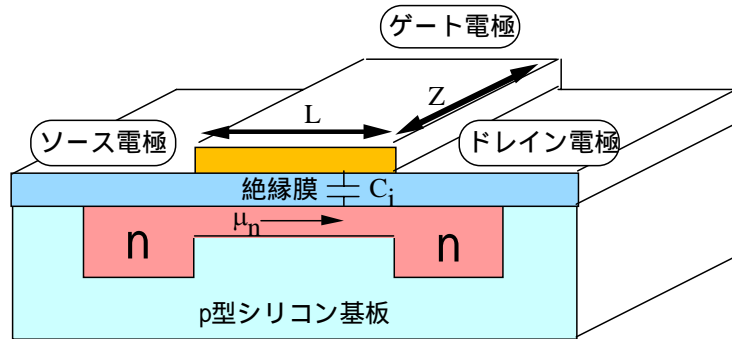
どこを小さくしているか

- ・ゲート長 : L
- ・絶縁膜厚さ : C_i
- ・移動度 : μ_v
- ・ゲート幅 : Z



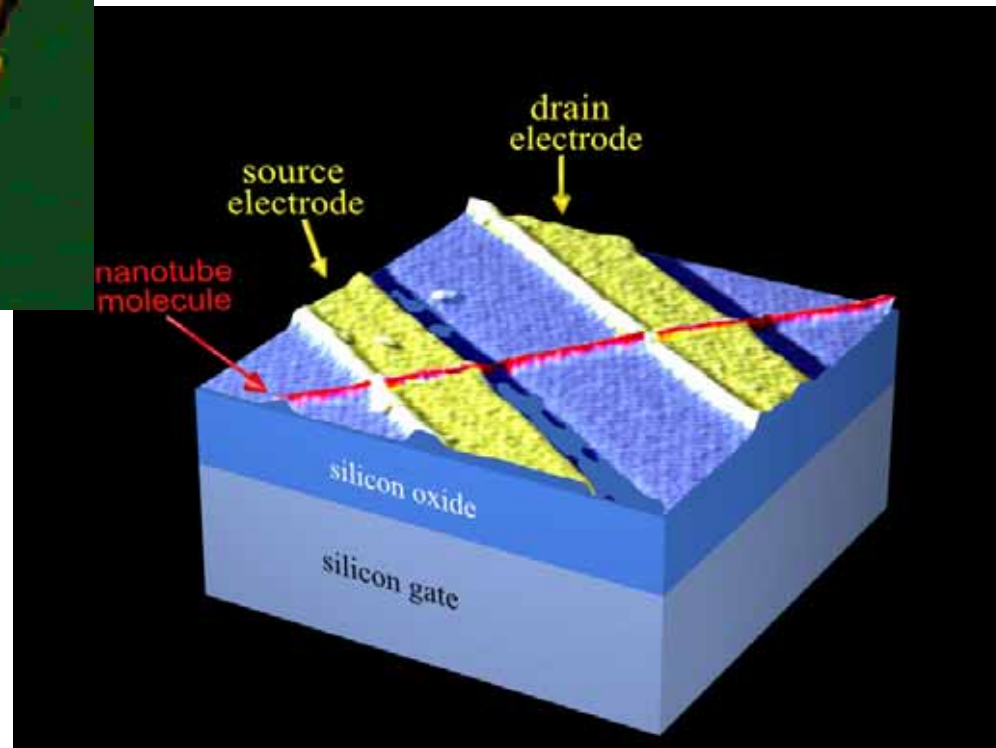
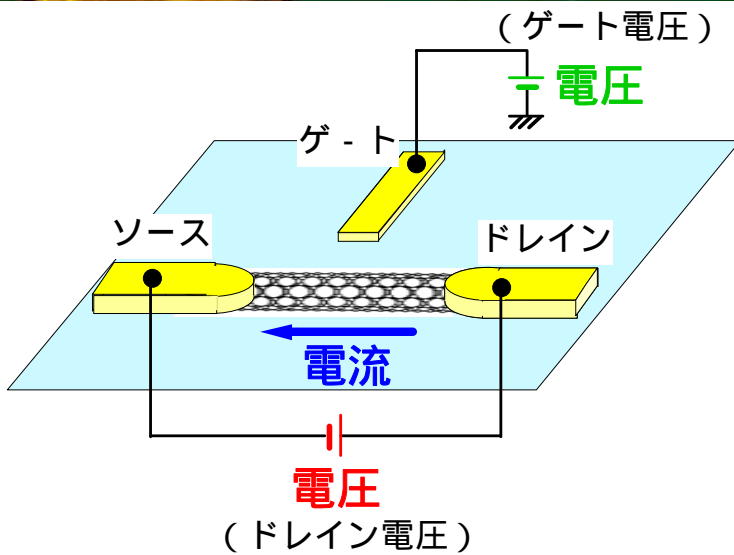
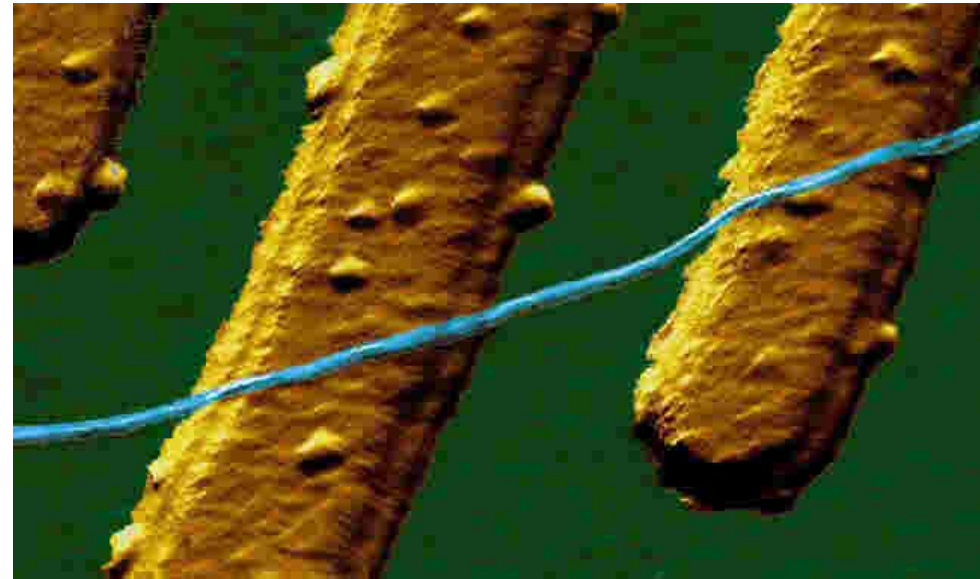
$$I_{Dsat} = \frac{Z}{2L} \mu_n C_i (V_G - V_T)^2 \quad \text{ドレイン電流}$$

$$g_m = \frac{dI_{Dsat}}{dV_G} = \frac{Z}{L} \mu_n C_i (V_G - V_T) \quad \text{相互コンダクタンス (増幅率)}$$



カーボンナノチューブの 電気伝導特性を測定する

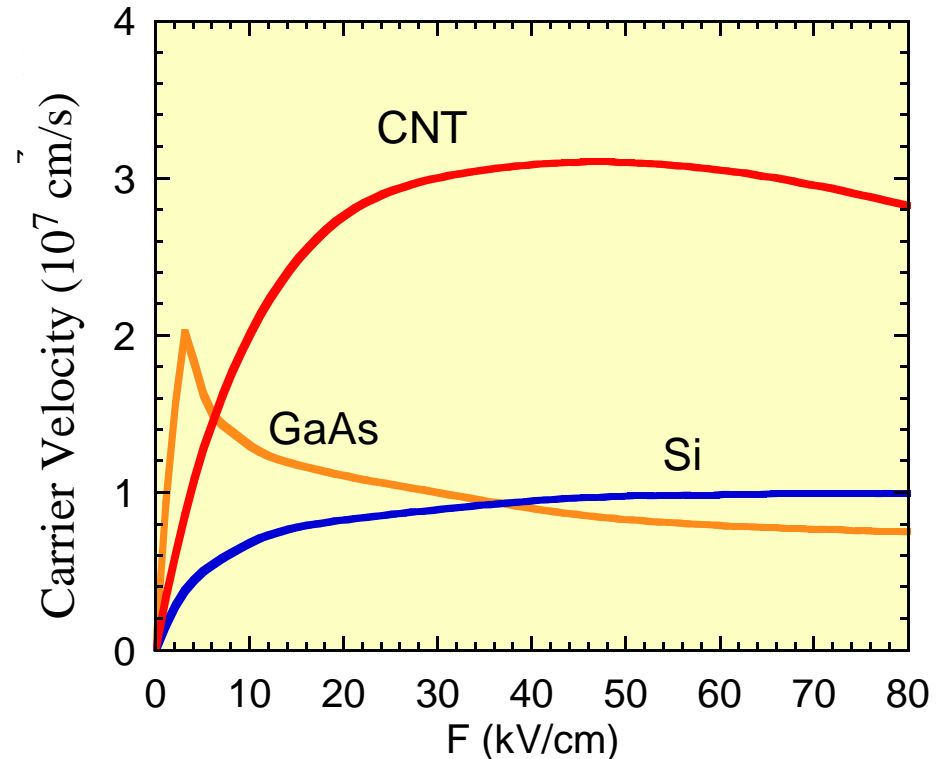
Delft University
オランダ



カーボンナノチューブのキャリアの 移動度と速度の理論値

	Eg (eV)	移動度 (cm ² /Vs)
CNT (25,0): 1.99 nm	0.45	65,000
(19,0): 1.51 nm	0.60	35,500
(13,0): 1.03 nm	0.87	15,000
Si	1.12	e: 1,500 h: 450
GaAs	1.42	e: 8,500 h: 400
InAs	0.36	e: 33,000 h: 460

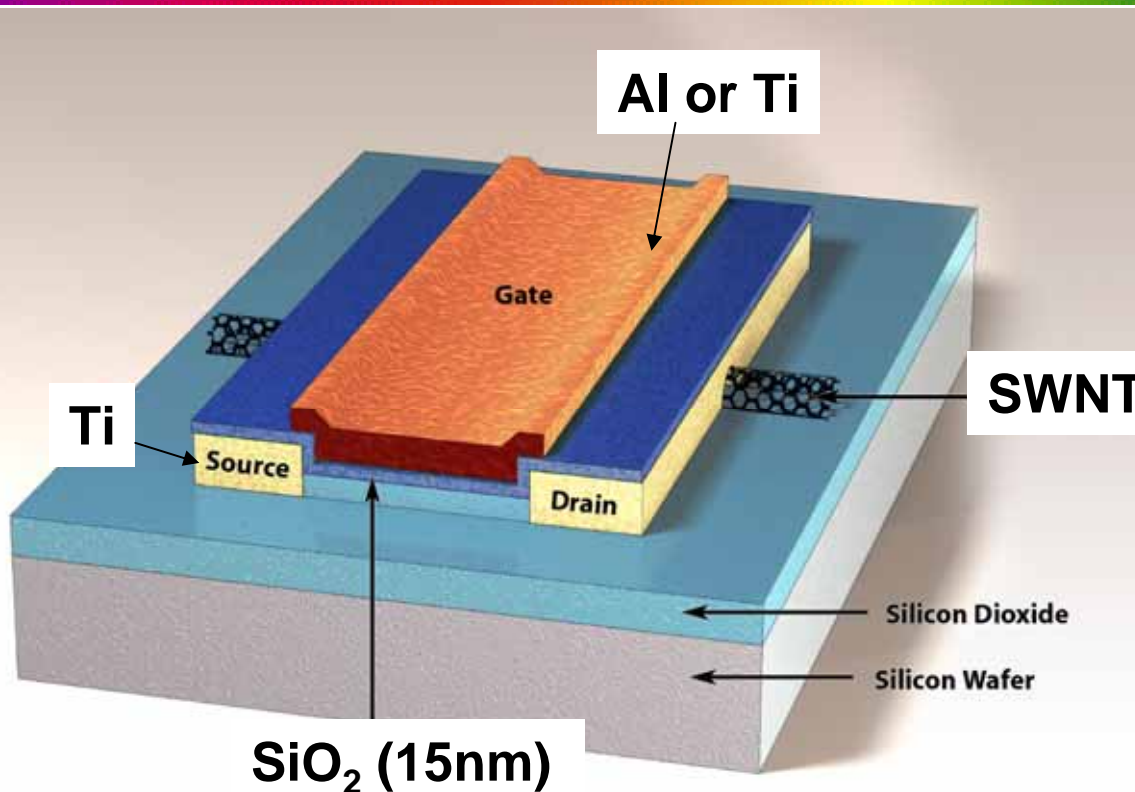
V. Perebeinos et al. (IBM) PRL 94, 086802 (2005)
S. M. Sze, Physics of Semiconductor Devices 2nd Ed.



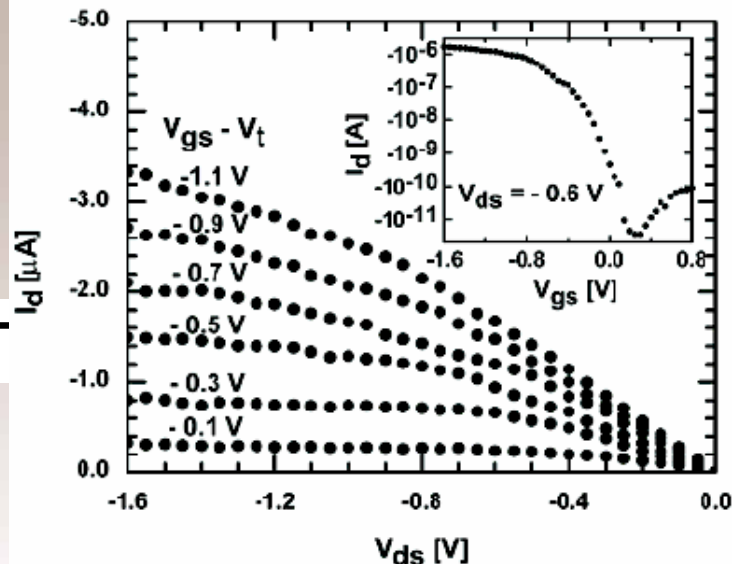
(G. Pennington et al. SISPAD'02, 279 (2002))

名大：大野雄高氏 提供図面

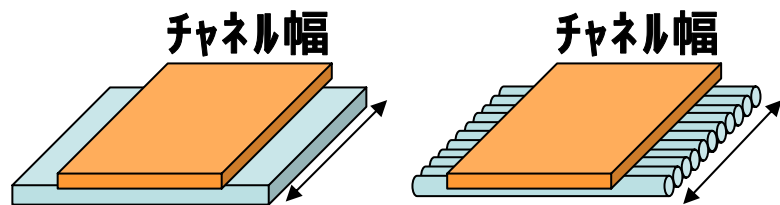
IBMのトップゲート型CNTチャネルFET p type



S. J. Wind, et al., APL 80 (20), 3817 (2002)



相互コンダクタンス g_m が
Si-MOSFETの2倍以上

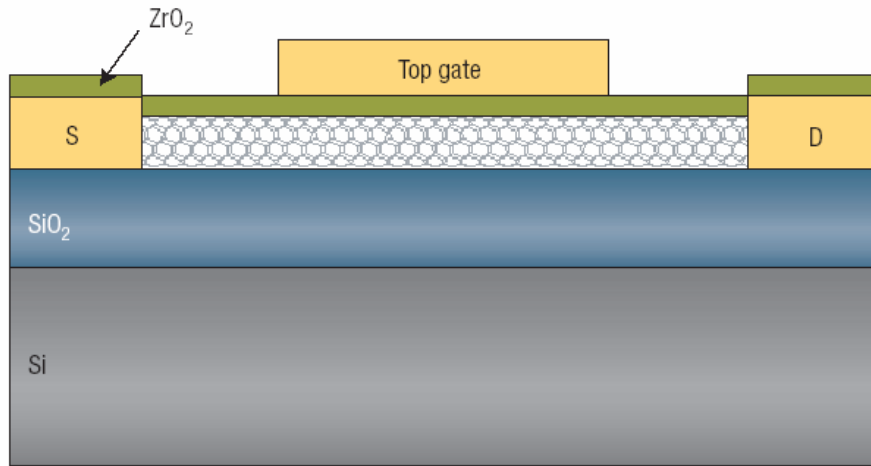


もし同じチャンネル幅が実現できれば

	CNT-FET	Si-pMOS
L_g (nm)	260	15
t_{ox} (nm)	15	1.4
V_{th} (V)	-0.5	-0.1
I_{on} (mA/mm)	2100	265
g_m ($\mu S/\mu m$)	2321	975

High-k ゲート絶縁膜を用いたCNT-FET

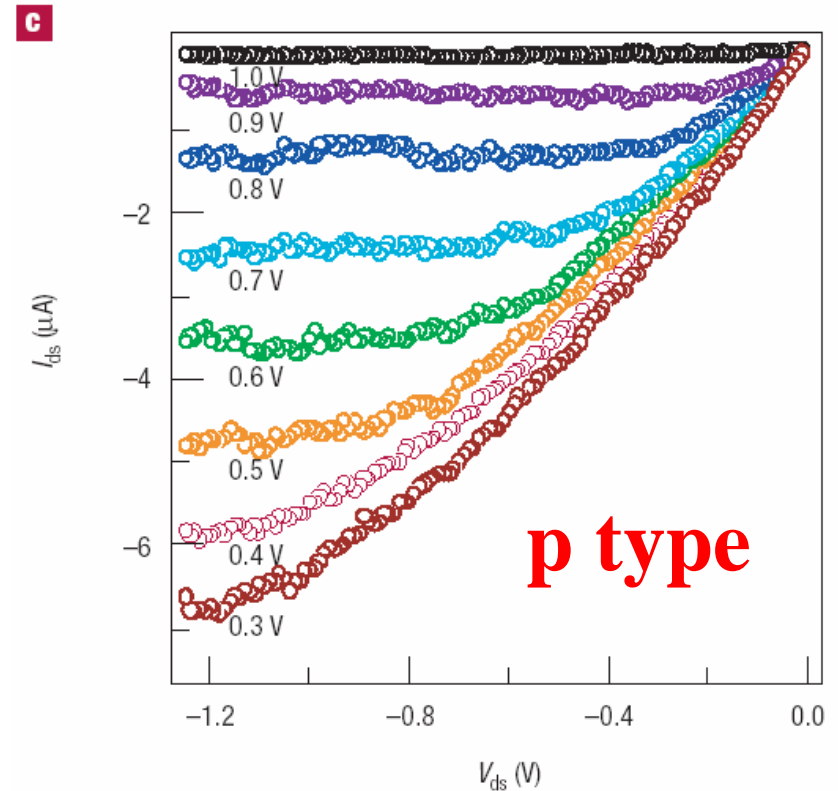
Stanford Univ. : A. Javey et al. Nature Mat. 1, 241, 2002.



ZrO₂ ($k \sim 25$) : 8 nm
(SiO₂ ($k \sim 3$): 0.9 nmに相当)

C_G の増大

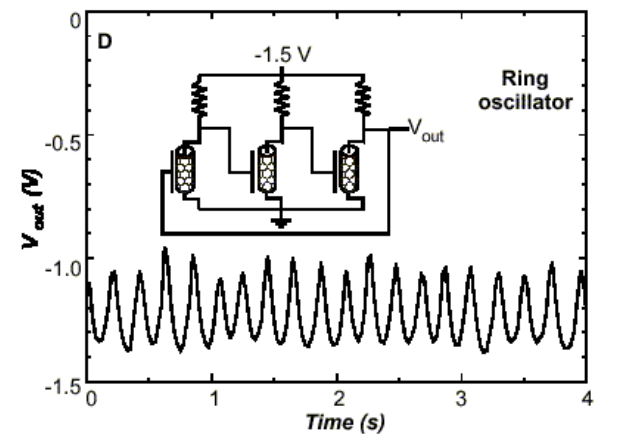
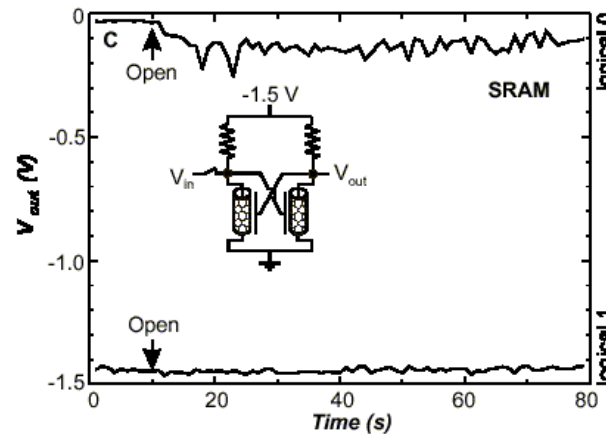
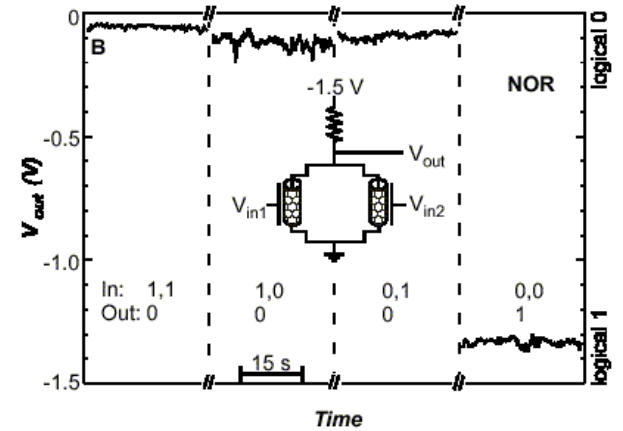
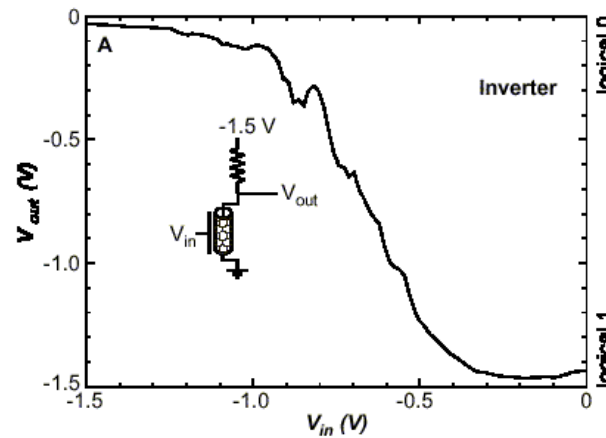
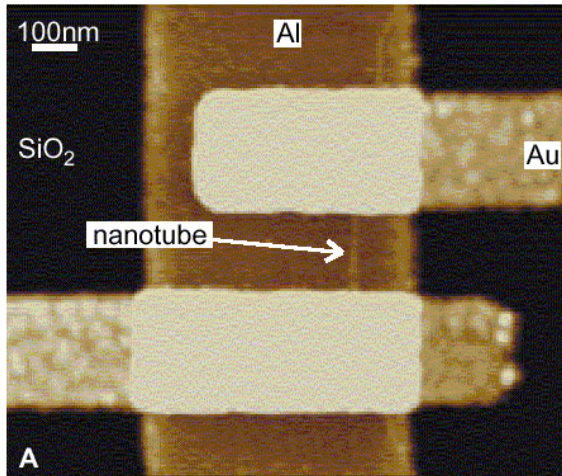
$I_{ON}/I_{OFF} \sim 10^4$, $g_m = 6000 \mu\text{S}/\mu\text{m}$, s-factor = 70 mV



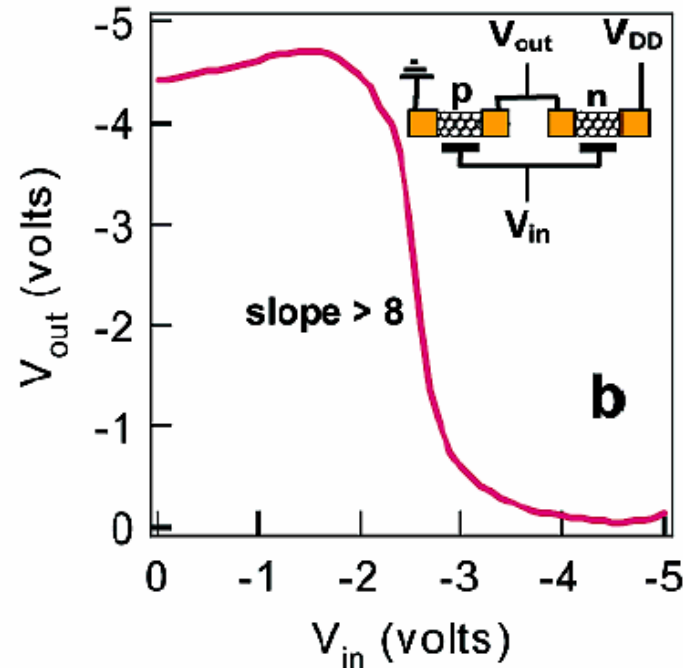
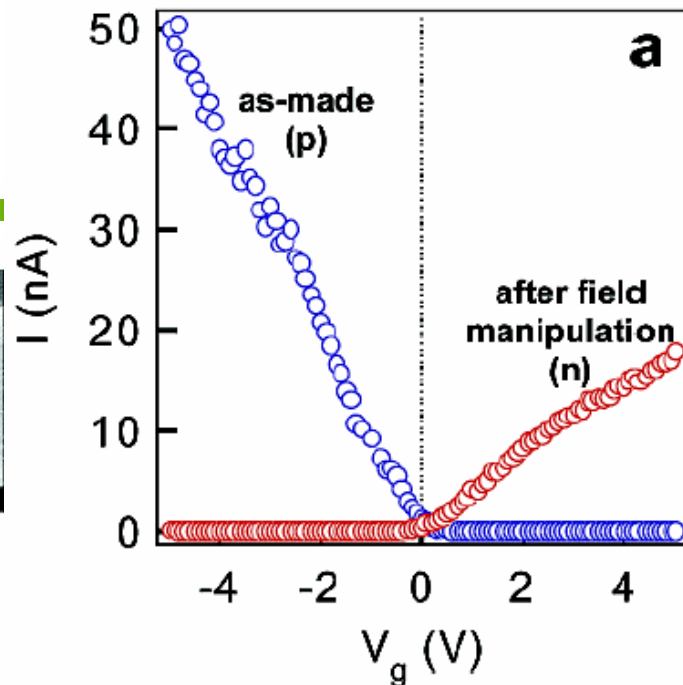
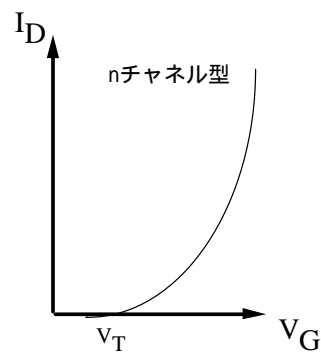
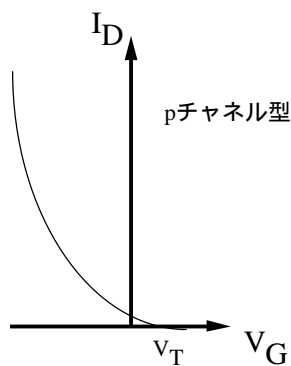
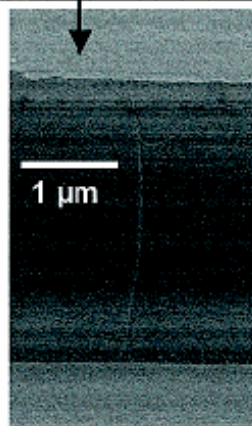
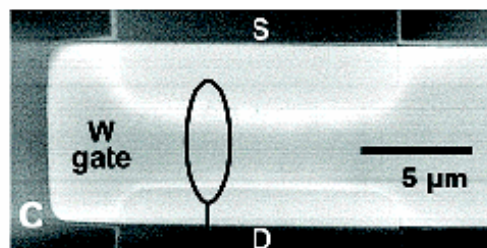
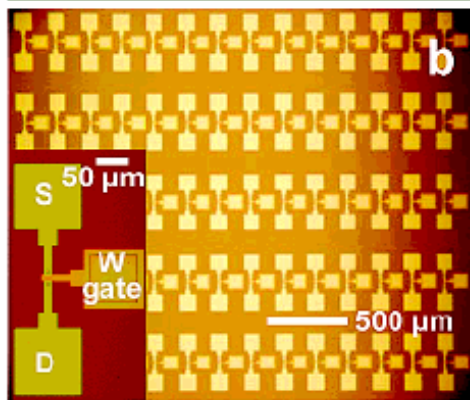
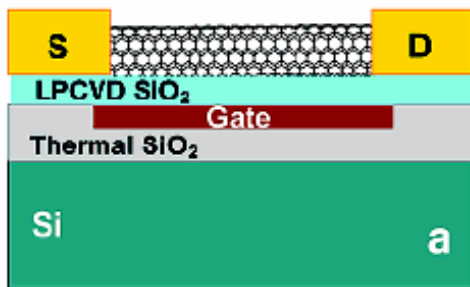
名大)大野、水谷氏提供

n type Carbon Nanotube FET Logic

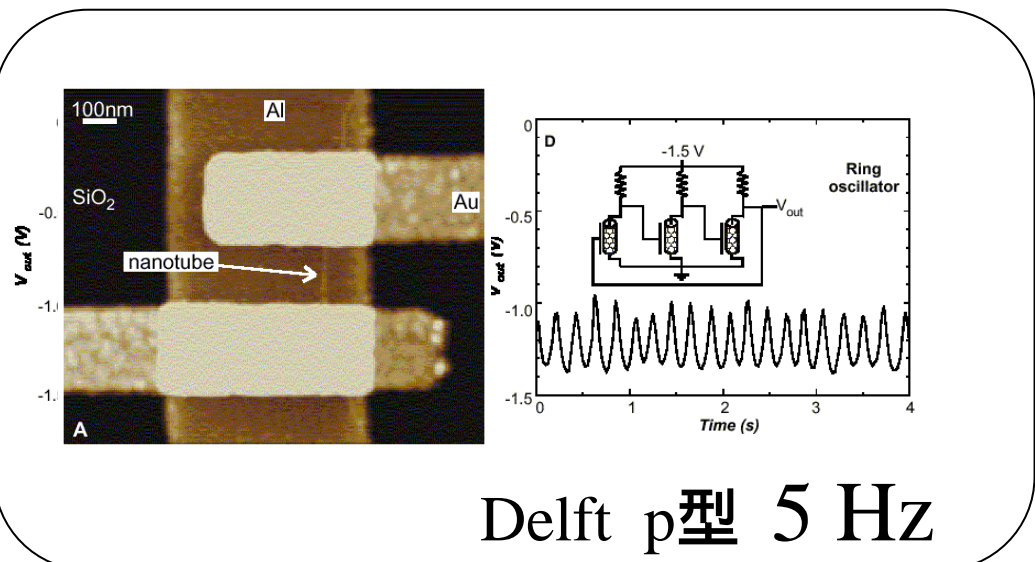
n型カーボンナノチューブFET回路



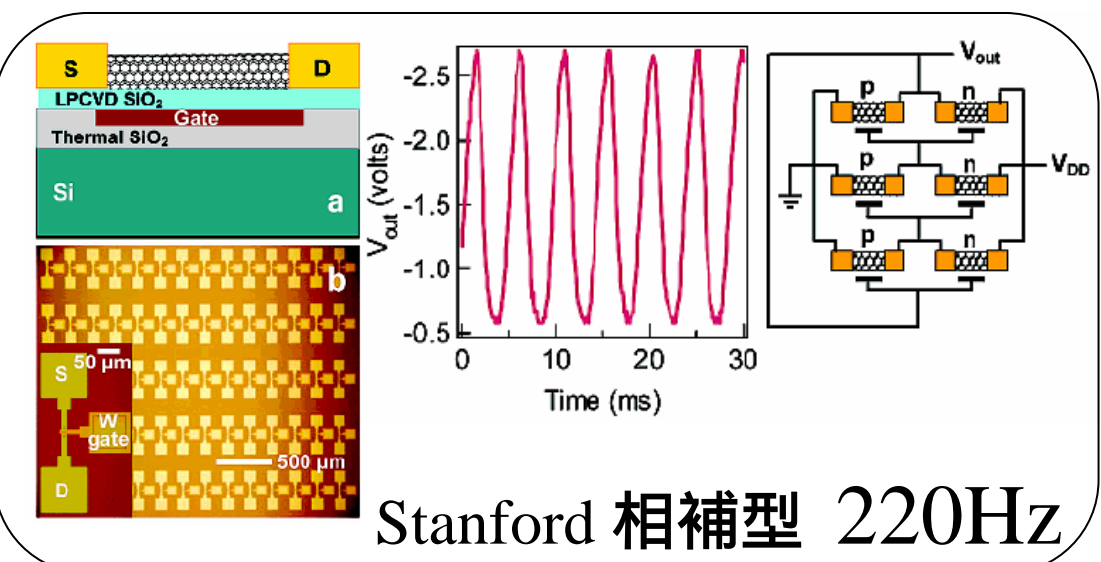
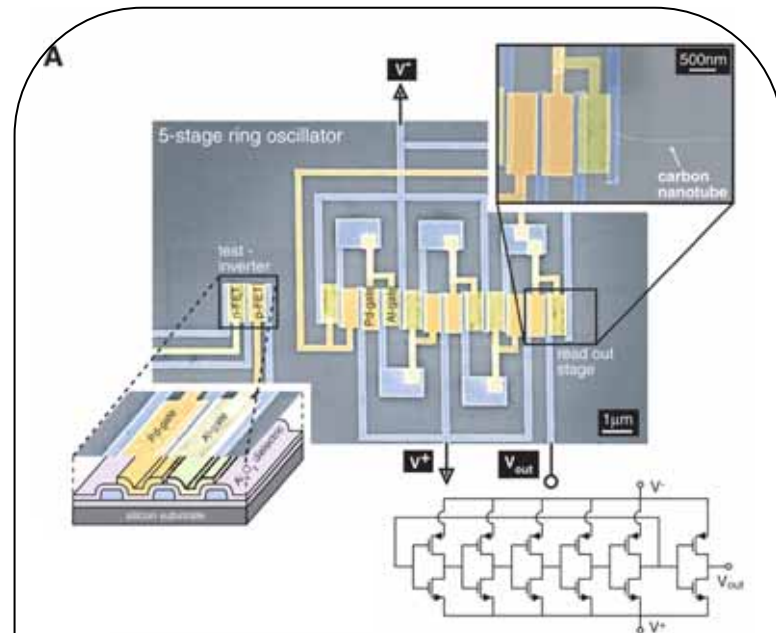
相補型回路



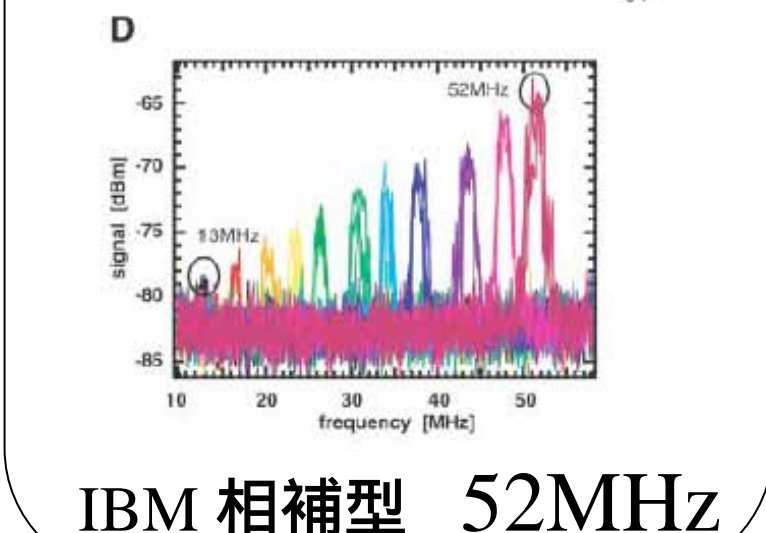
カーボンナノチューブ FET リング発信器



Delft p型 5 Hz



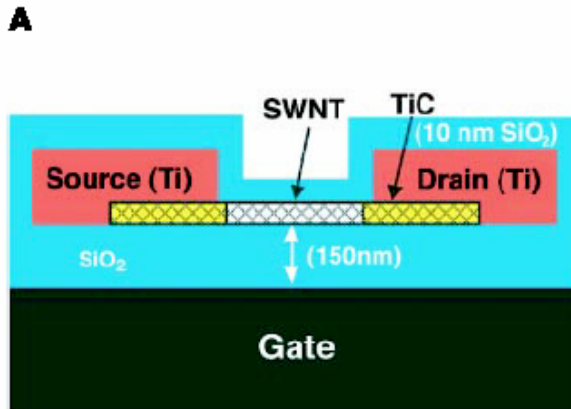
Stanford 相補型 220Hz



IBM 相補型 52MHz

カーボンナノチューブの発光

IBM



CNT $\phi=1.4\text{nm}$

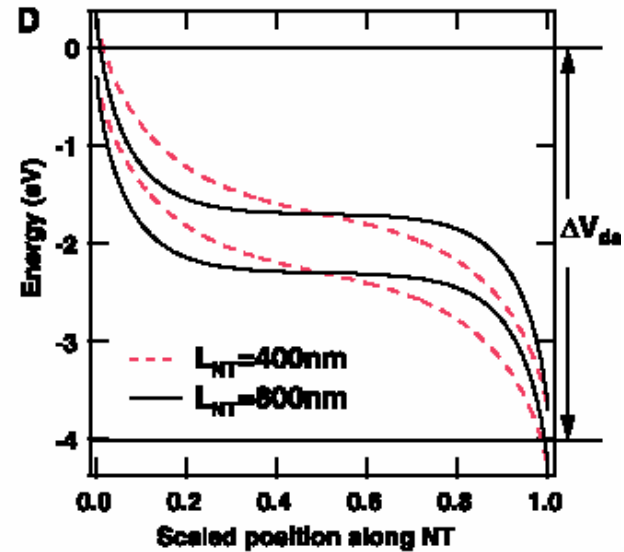
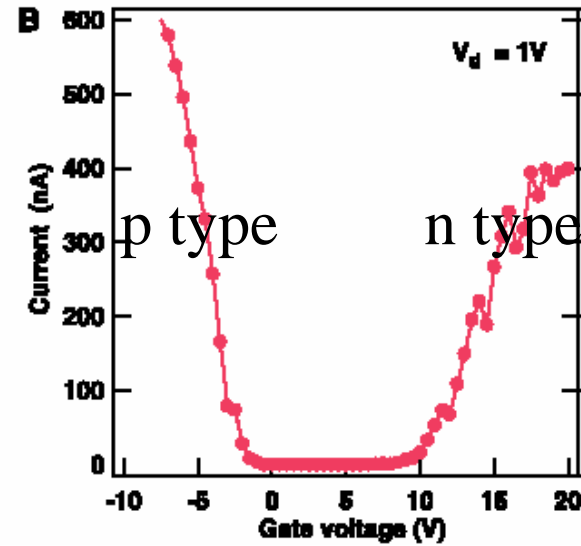
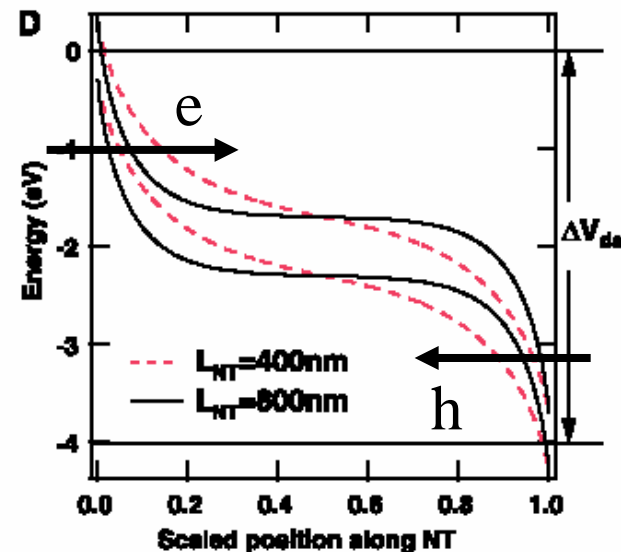
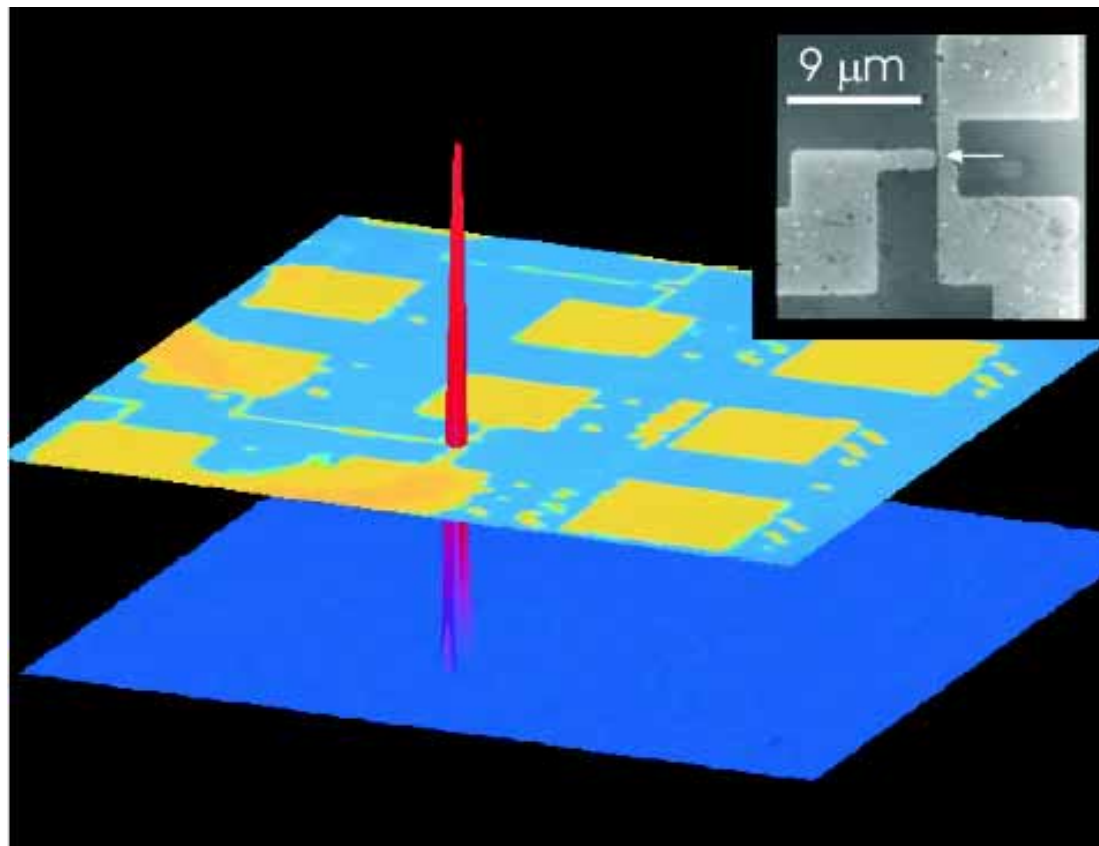


Diagram of the ambipolar s-SWNT device structure. (B) Electrical characterization on a typical ambipolar device. A plot of the drain current versus V_g for a grounded source and a small drain potential of 1 V is shown. The data indicate ambipolar behavior. (C) Plot of the drain current versus V_g for a grounded source and a gate potential of 5 V for the device used in the optical measurements. The inset shows the data on a logarithmic scale. (D) Calculated band structure for carbon nanotube FET devices with $V_d = 4\text{ V}$ and V_g halfway between the source and drain voltages. The bands were calculated using channels 800 nm (black) and 400 nm (red) long and a 10-nm silicon dioxide gate insulator layer.

カーボンナノチューブの発光



Drain Bias 0 10V(3 sec.) Repeat 190 sec. Integration

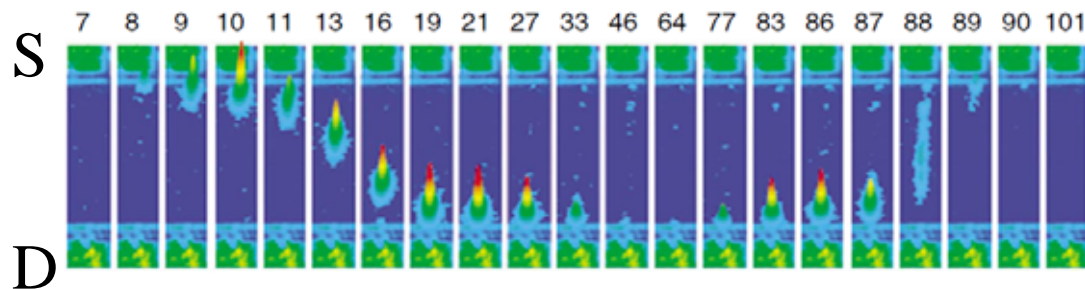
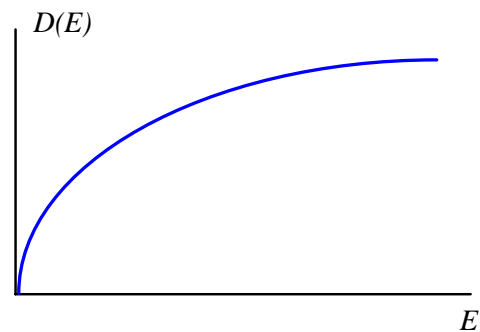
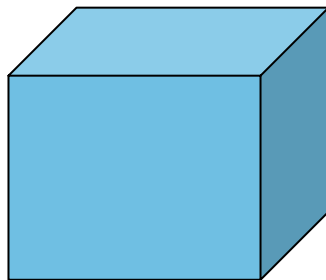


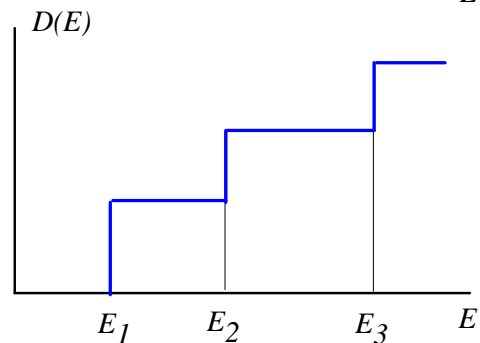
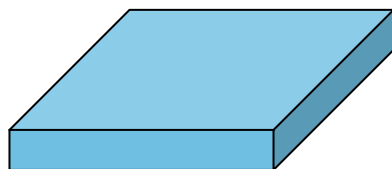
Fig. 2. Optical emission from an arched carbon nanotube FET oriented with an θ angle. The upper plane is a color-coded image of the carbon nanotube (1). The contact pads and the electrodes leading to the carbon nanotube channel are shown as gray. The lower plane is the surface plot of the AFM image showing the coordinate of nanotube arc and θ function into the surface. The emission was localized at the position of the carbon nanotube. (Inset) SEM showing the device structure in the region of the nanotube arc.

狀態密度 $D(E)$

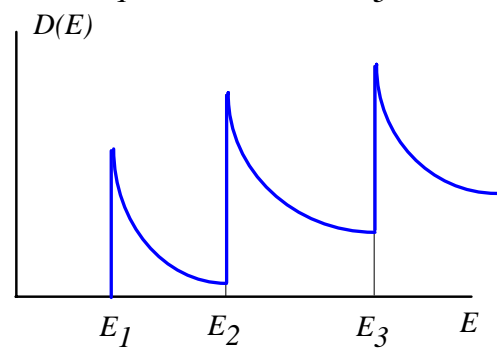
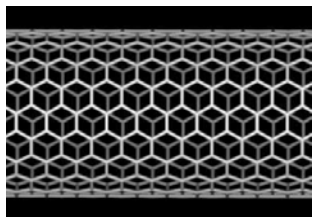
3次元



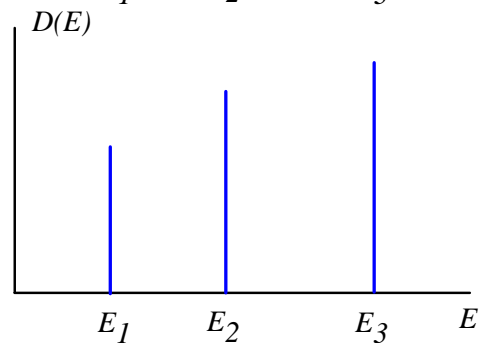
2次元



1次元



0次元

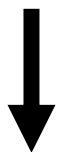
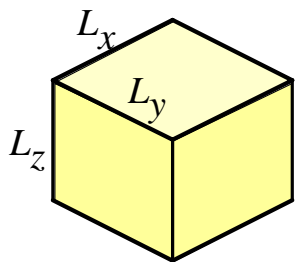


状態密度の算出 1次元量子細線の場合

3次元

$$D(E) = 2 \times \frac{dn_x \cdot dn_y \cdot dn_z}{dE} \times \frac{1}{L_x L_y L_z}$$

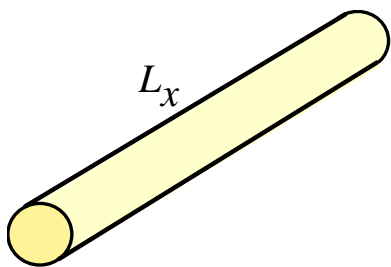
$$E = \frac{h^2}{8\pi^2 m} k^2 = \frac{h^2}{8\pi^2 m} (k_x^2 + k_y^2 + k_z^2)$$



1次元

$$D(E) = 2 \times \frac{dn_x}{dE} \times \frac{1}{L_x} \quad (1)$$

$$E = \frac{h^2 k_x^2}{8\pi^2 m} = \frac{h^2}{8\pi^2 m} \left(\frac{n_x \pi}{L_x} \right)^2 = \frac{n_x^2 h^2}{8mL_x^2}$$



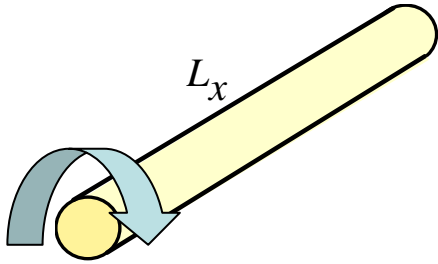
$$k_x = \frac{n_x \pi}{L_x}$$

$$n_x = \frac{2L_x \sqrt{2mE}}{h}$$

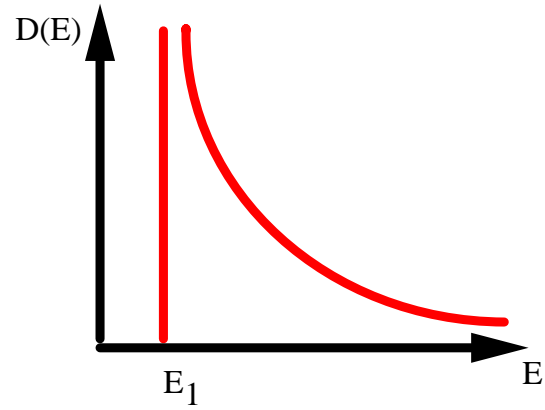
$$\frac{dn_x}{dE} = \frac{L_x}{h} \sqrt{\frac{2m}{E}} \quad (2)$$

(1)(2)式より $\therefore D(E) = \frac{4}{h} \left(\frac{m}{2E} \right)^{\frac{1}{2}}$

1次元状態密度

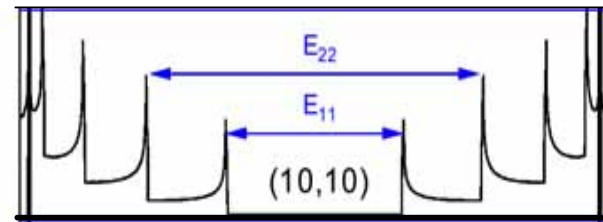
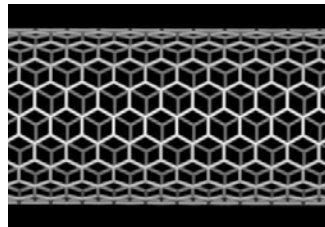
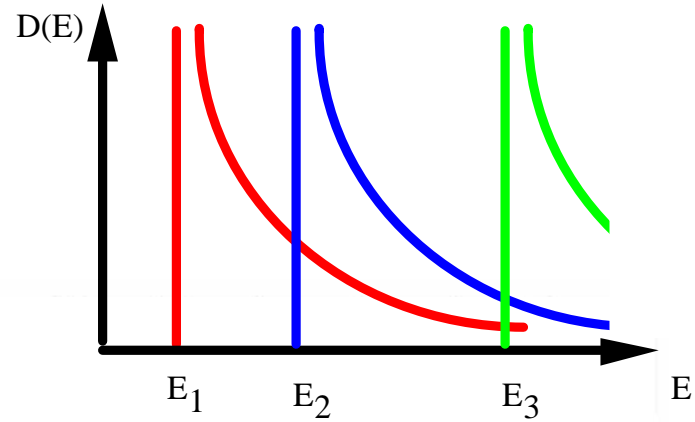


$$D(E) = \frac{4}{h} \left(\frac{m}{2E} \right)^{\frac{1}{2}}$$



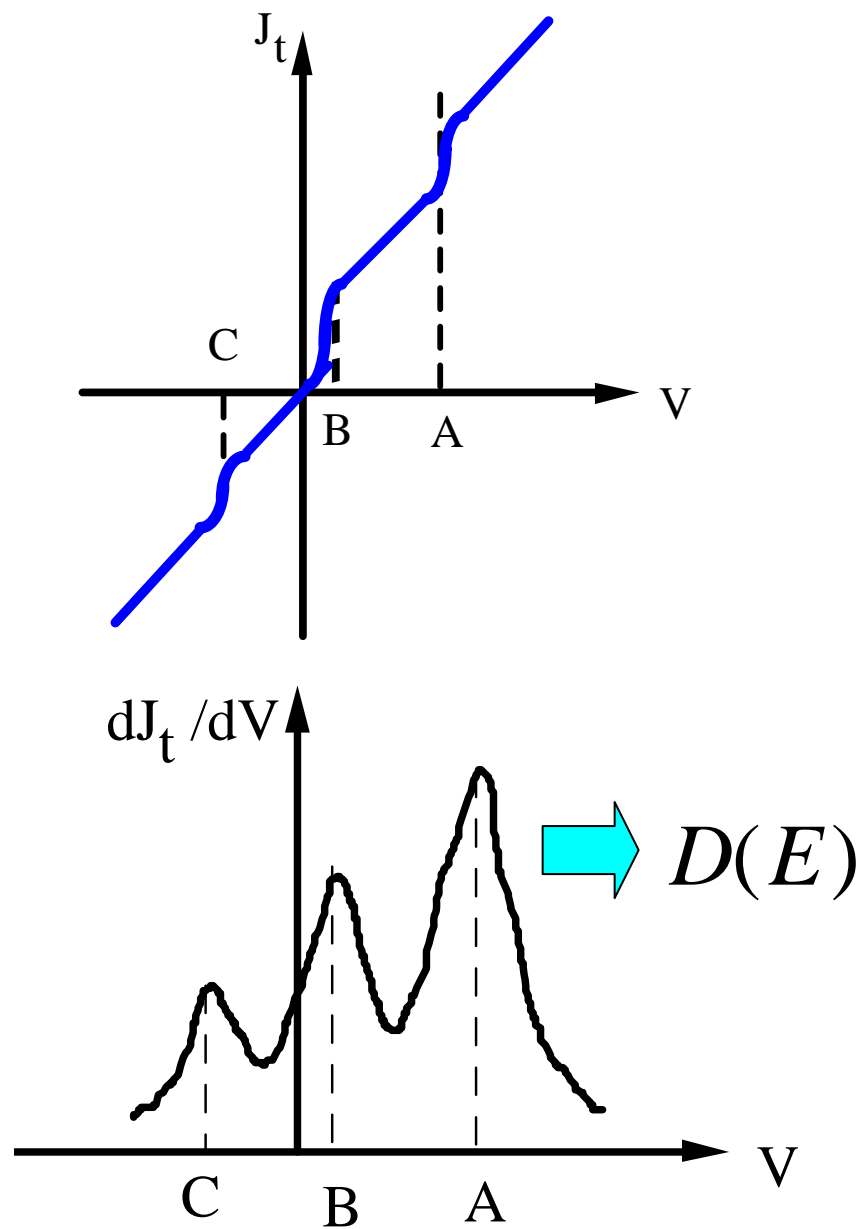
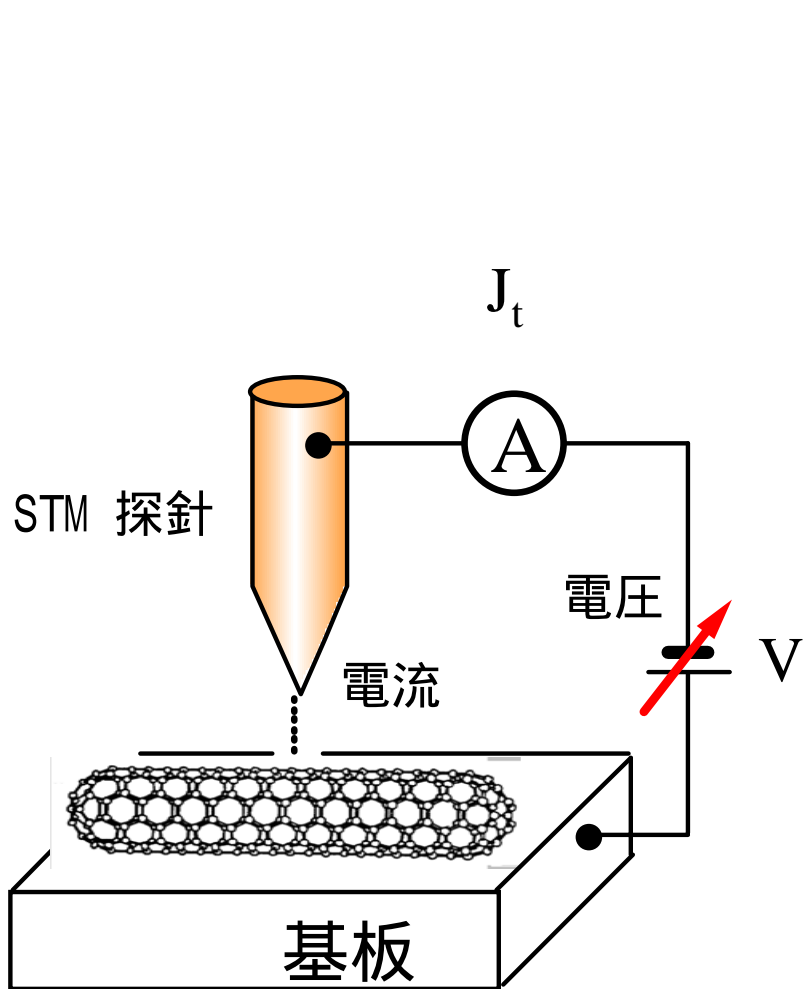
E_1, E_2, \dots

$$D(E) = \frac{g_s}{h} \left(\frac{m}{2(E - E_n)} \right)^{\frac{1}{2}}$$

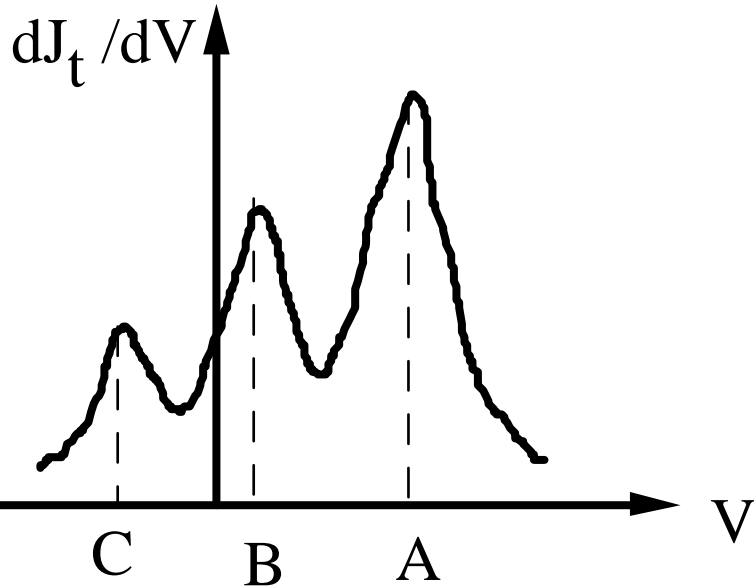
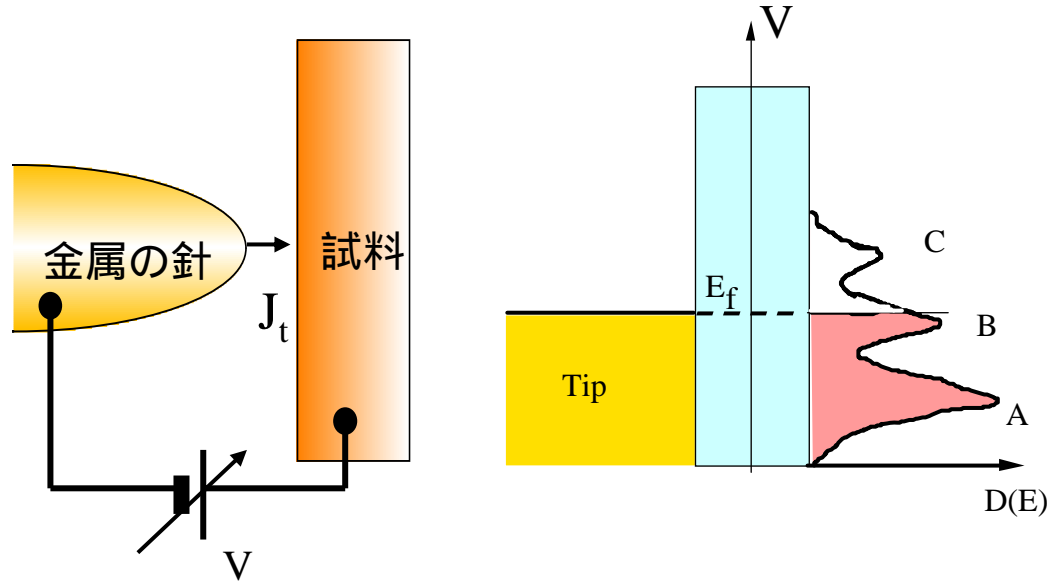
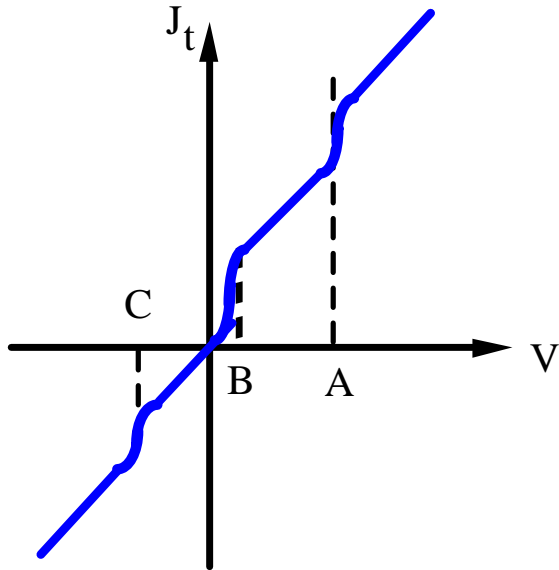


価電子帯 バンドギャップ 伝導帯

Scanning Tunneling Spectroscopy (STS)による電子状態密度の観測



Scanning Tunneling Spectroscopy(STS) の原理



$$J_t \approx \int_0^{E_f} D(E) \cdot T(E, V) dE$$

$D(E)$: 状態密度

$T(E, V)$: トンネル確率

$$\frac{dJ_t}{dV} \approx D(E) \cdot T(E, V) \approx D(E)$$

カーボンナノチューブのSTSの実験結果

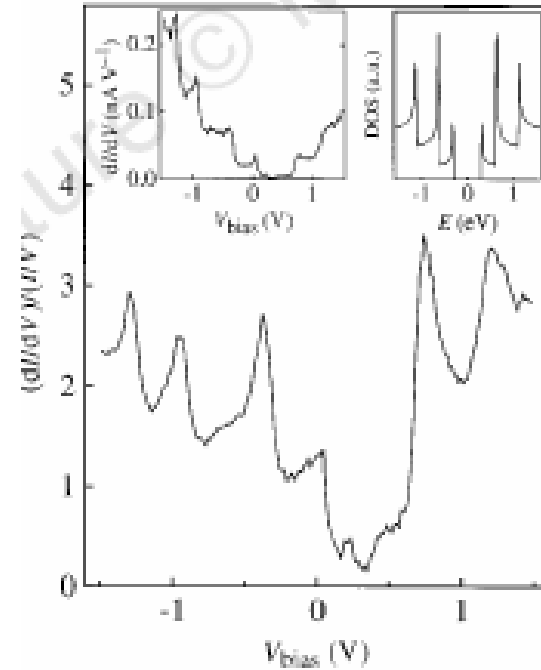
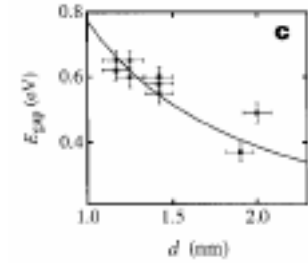
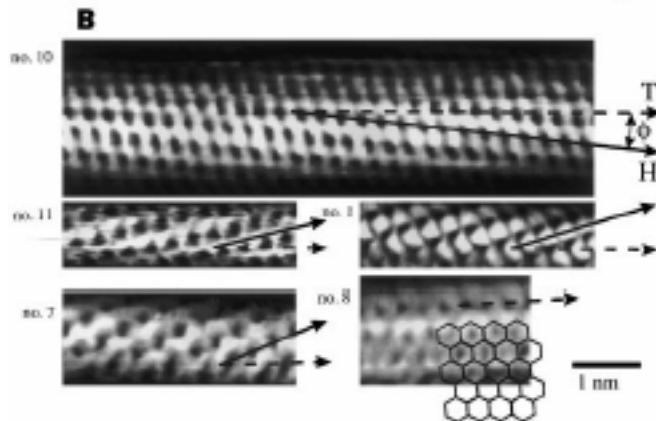
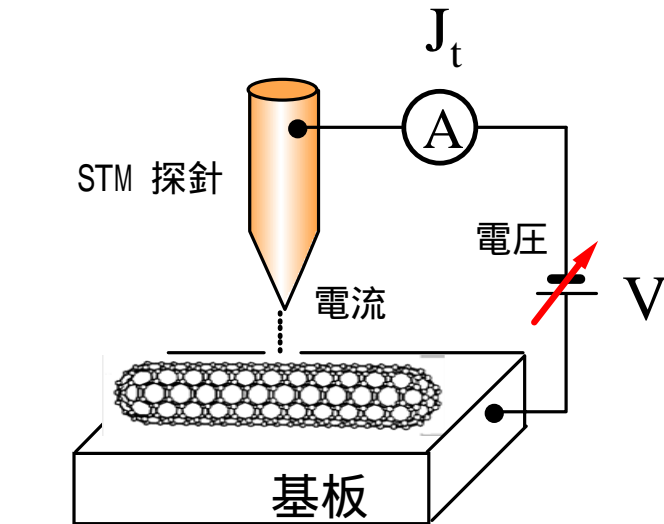
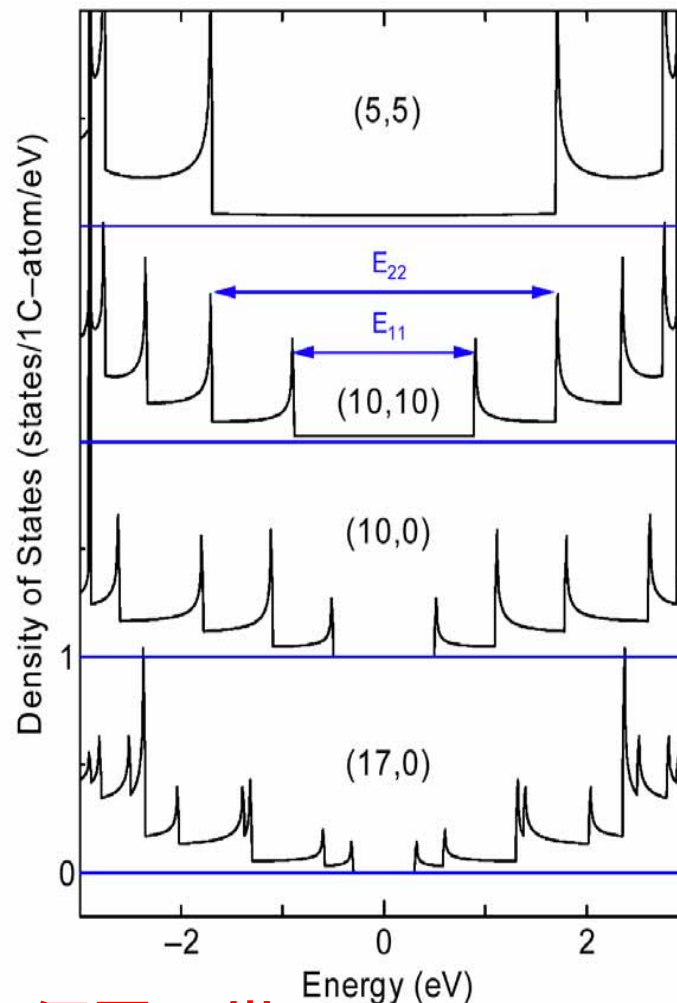
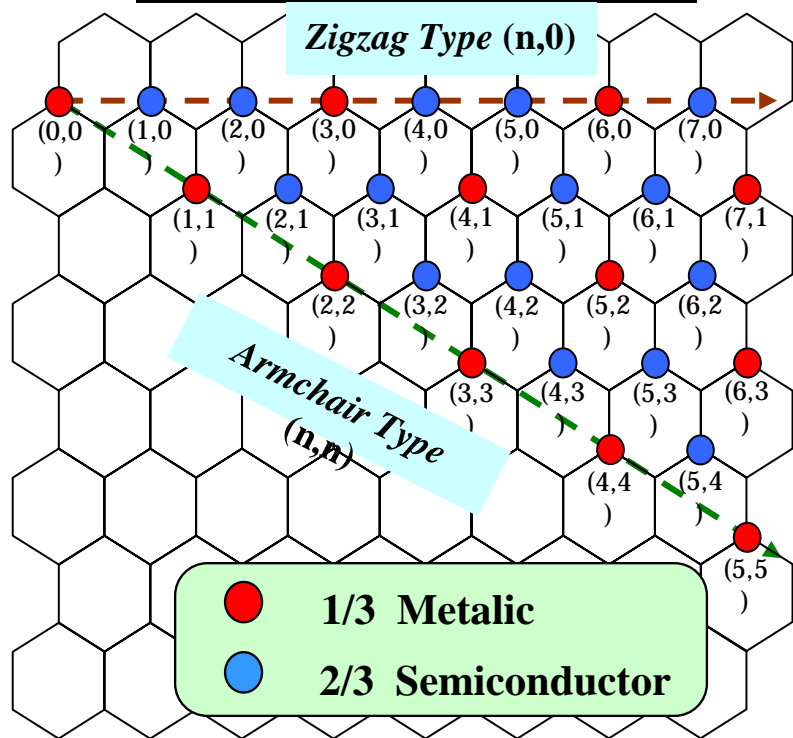
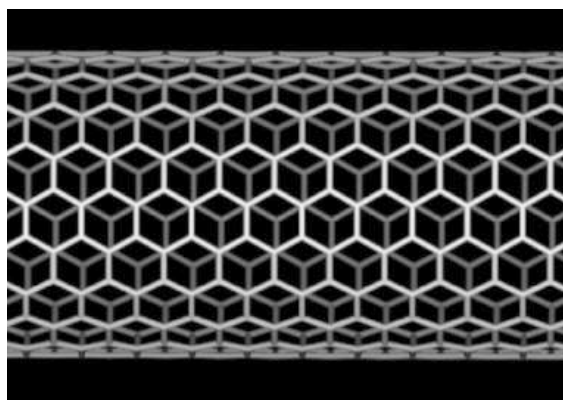


Figure 3 $(dI/dV)/I/V$ which is a measure of the density of states versus V for nanotube no. 9. The asymmetric peaks correspond to Van Hove singularities at the onsets of one-dimensional energy bands of the carbon nanotube. The left inset displays the raw dI/dV data. The right inset is the calculated density of states (DOS) for a (16,0) tube, which displays a typical example of the peak-like DOS for a semiconducting tube [a.u., arbitrary units]. The experimental peaks have a finite height and are broadened, which we attribute to hybridization between the wavefunctions of the tube and the gold substrate. The overall shape of the experimental peaks however still resembles that predicted by theory.

単層カーボンナノチューブの状態密度

一次元量子細線

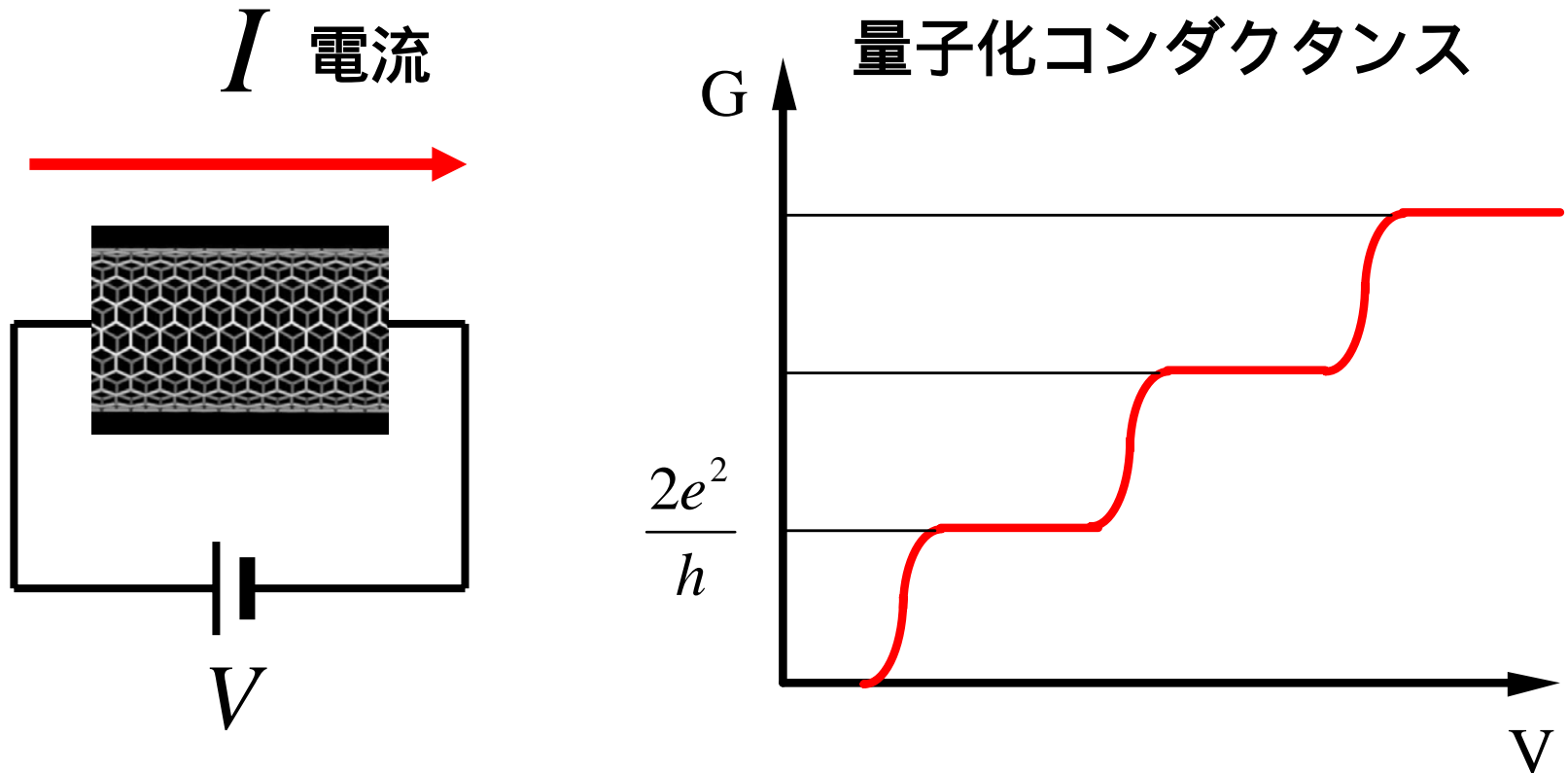


価電子帯

伝導帯

1次元量子構造の特徴

- 量子伝導
- ・抵抗が長さによらず一定
 - ・量子抵抗を示す
 - ・散乱がない バリステック



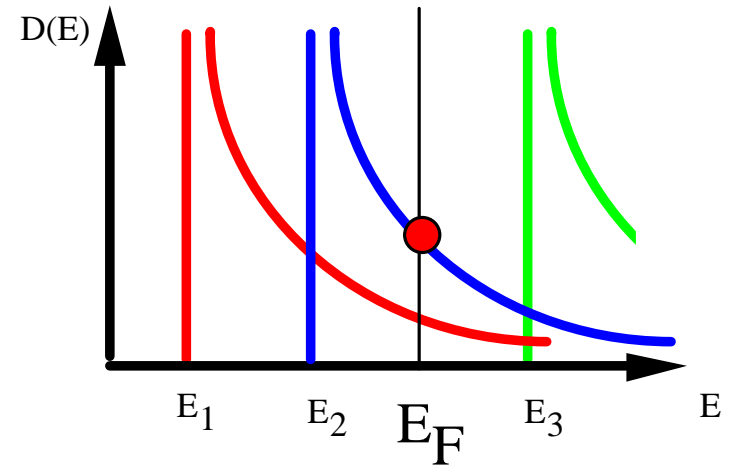
一次元量子細線中を流れる電流

フェルミレベルが E_F にある場合

$$D(E_F) = \frac{g_s}{h} \left(\frac{m}{2(E_F - E_n)} \right)^{\frac{1}{2}}$$

電子の速度は $E = \frac{1}{2}mv^2$ より

$$v(E_F) = v_F = \sqrt{\frac{2E}{m}} = \left(\frac{2(E_F - E_n)}{m} \right)^{\frac{1}{2}}$$



n 番めのサブバンドを流れる電流は

$$I = e \cdot D(E_F) \cdot v_F \cdot eV = e \times \frac{g_s}{h} \left(\frac{m}{2(E_F - E_n)} \right)^{\frac{1}{2}} \times \left(\frac{2(E_F - E_n)}{m} \right)^{\frac{1}{2}} \times eV = \frac{g_s e^2}{h} V$$

$$G = \frac{I}{V} = \frac{g_s e^2}{h} = \frac{2e^2}{h}$$

量子化コンダクタンス: 一定

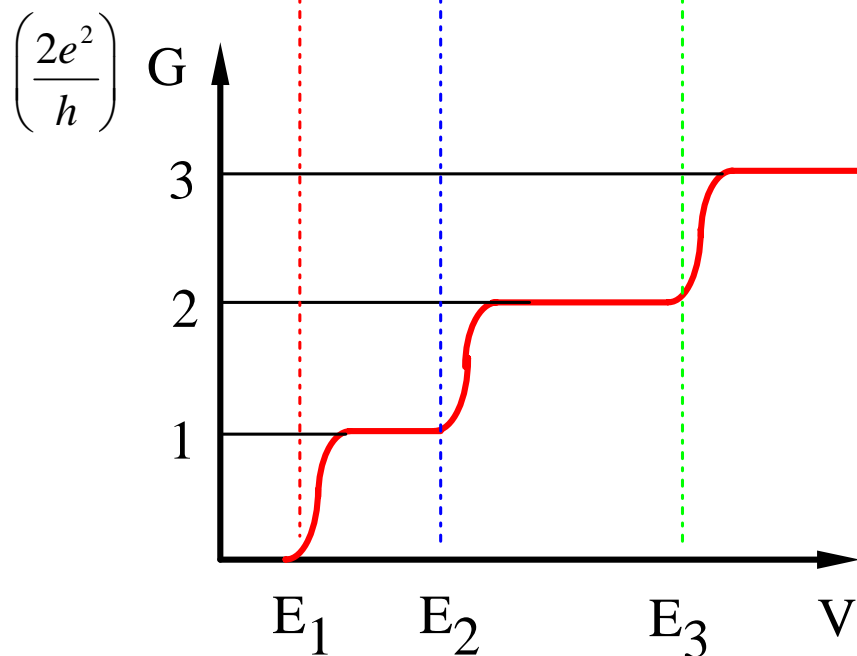
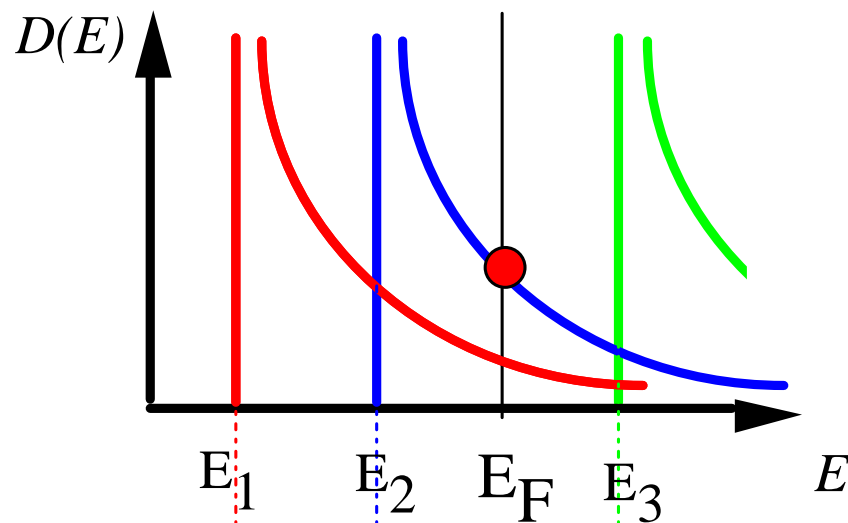
n番めまでの全サブバンドを
流れる全電流は

$$I = \sum_{i=1}^{i=n} \frac{2e^2}{h} V$$

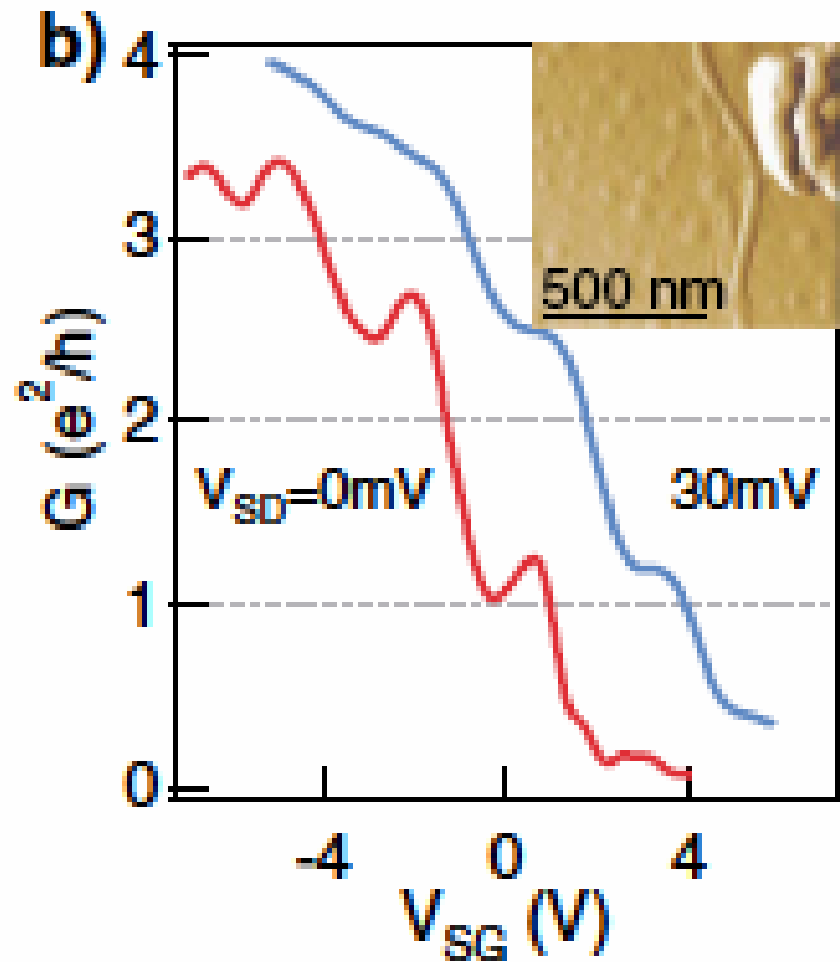
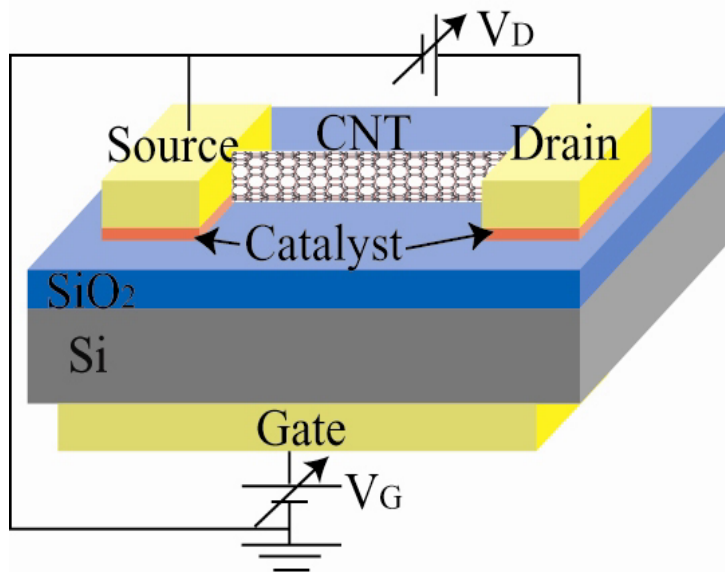
$$= n \frac{2e^2}{h} V$$

$$G = \frac{I}{V} = \frac{2e^2}{h}$$

量子コンダクタンス：一定
細線の長さに依存しない！！

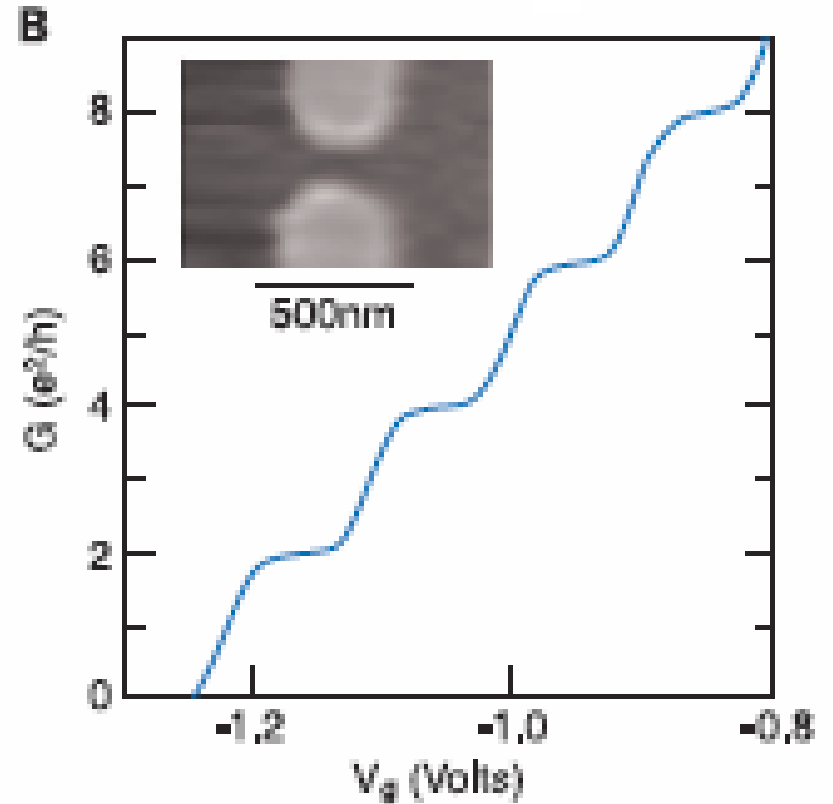
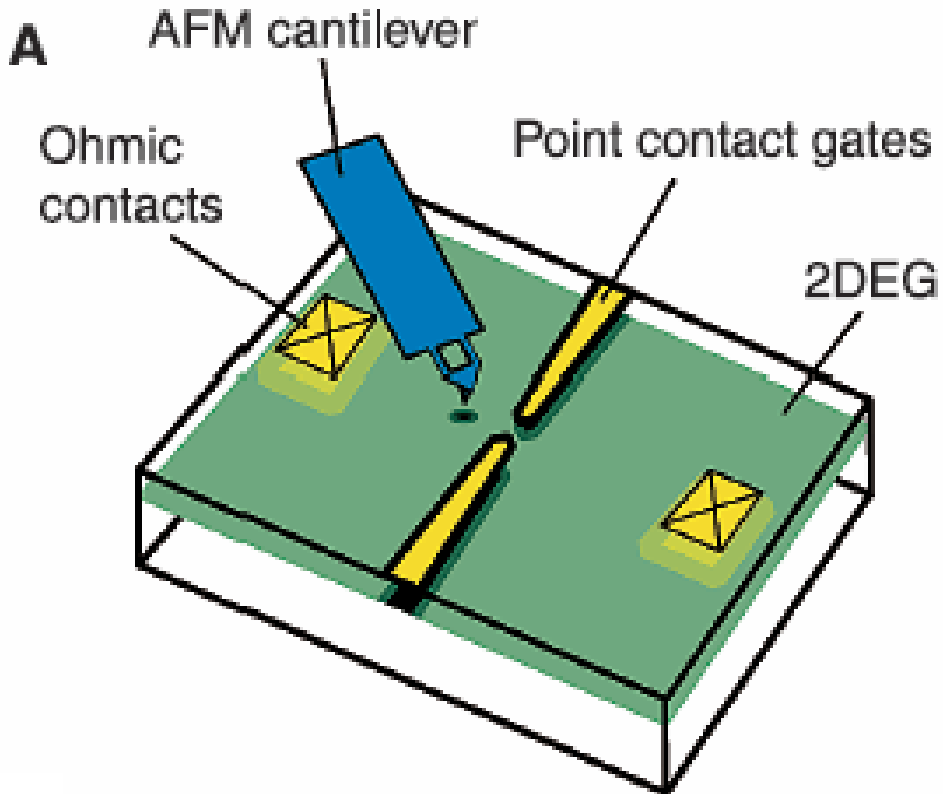


カーボンナノチューブの量子伝導



1次元量子コンダクタンスの観察

R. M. Westervelt
Science 2000 289 2323
Nature 410 183 2001



量子井戸のエネルギー準位

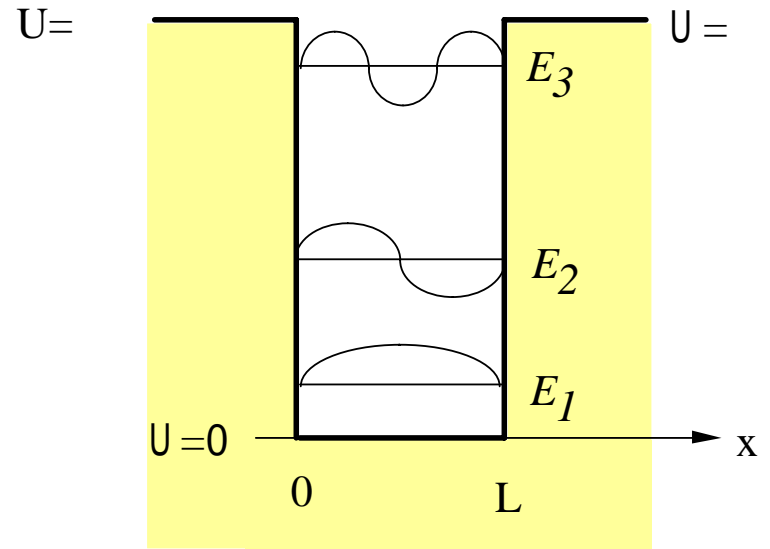
$$-\frac{\hbar^2}{2m} \frac{d^2 \varphi}{dx^2} + U(x)\varphi = E\varphi$$

$$\varphi = C \sin(kx) = C \sin\left(\frac{n\pi}{L} x\right)$$

波数 $k = \frac{n\pi}{L}$

エネルギー準位を表す式

$$E_n = \frac{\hbar^2 k^2}{2m} = \frac{h^2}{8\pi^2 m} \left(\frac{n\pi}{L}\right)^2 = \frac{n^2 h^2}{8mL^2}$$



$$E_3 = \frac{9}{8m} \frac{h^2}{L_x^2}$$

$$E_2 = \frac{4}{8m} \frac{h^2}{L_x^2}$$

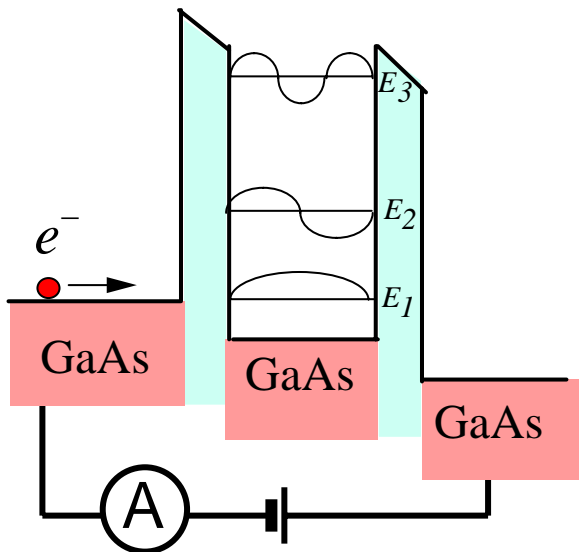
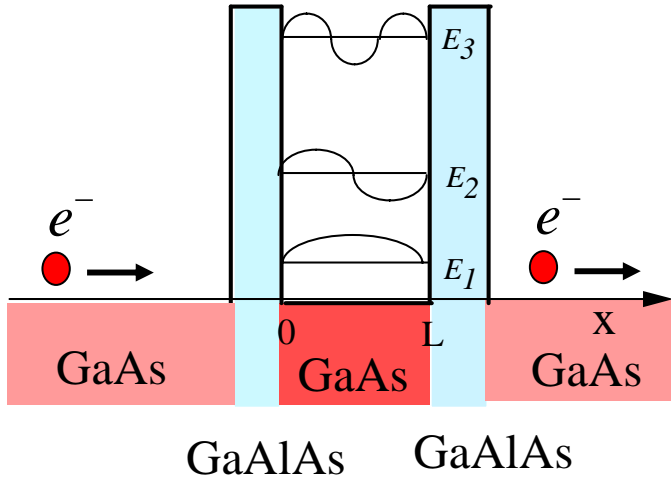
$$E_1 = \frac{1}{8m} \frac{h^2}{L_x^2}$$

共鳴トンネルダイオード

5nm



量子井戸



電子の定在波は見えるか？

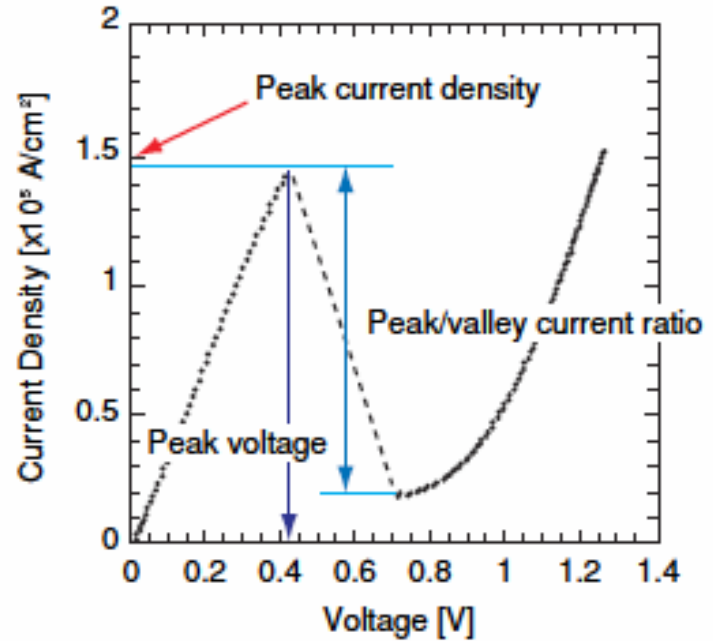
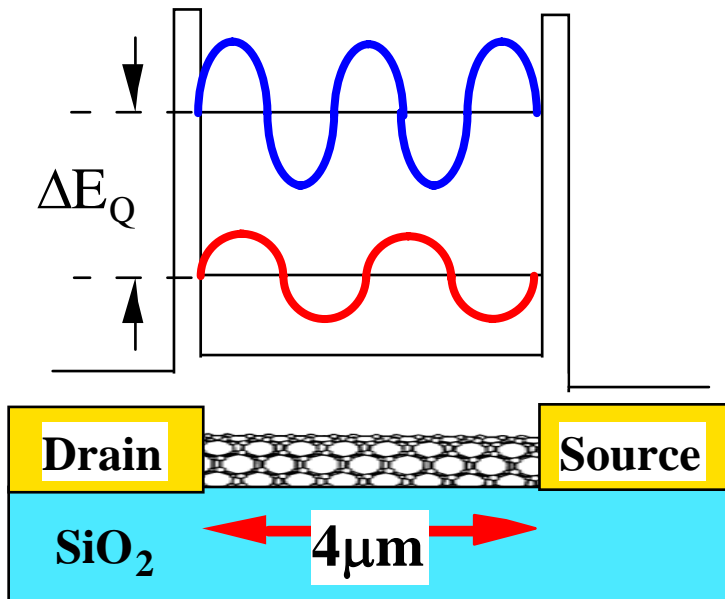


図1 MOVPE 成長 InP-RTD の電流電圧特性

カーボンナノチューブにおける 正孔のコヒーレント伝導

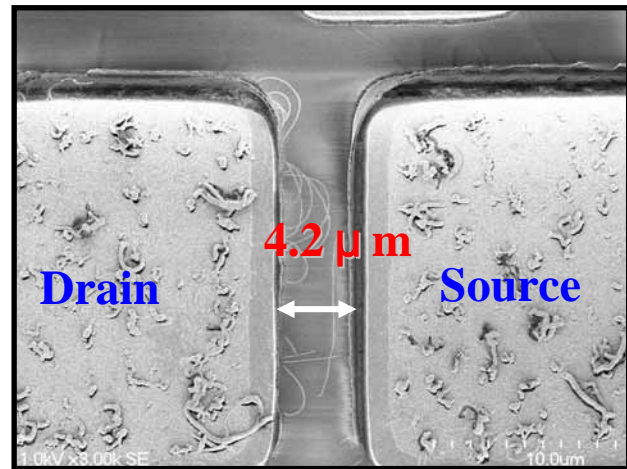
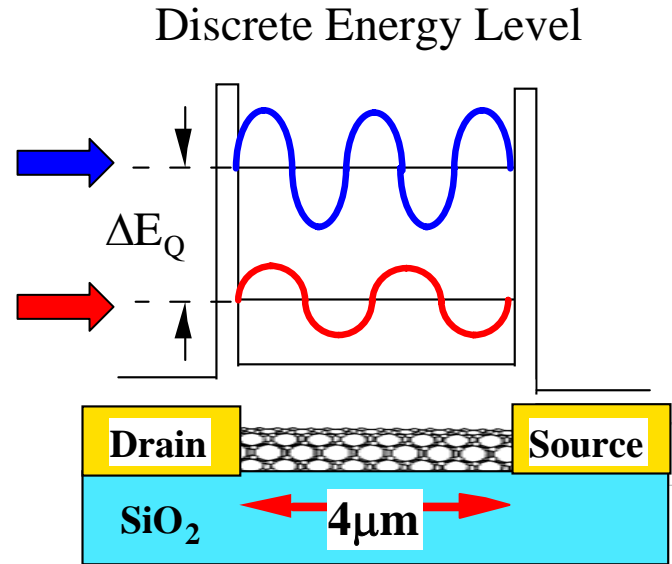
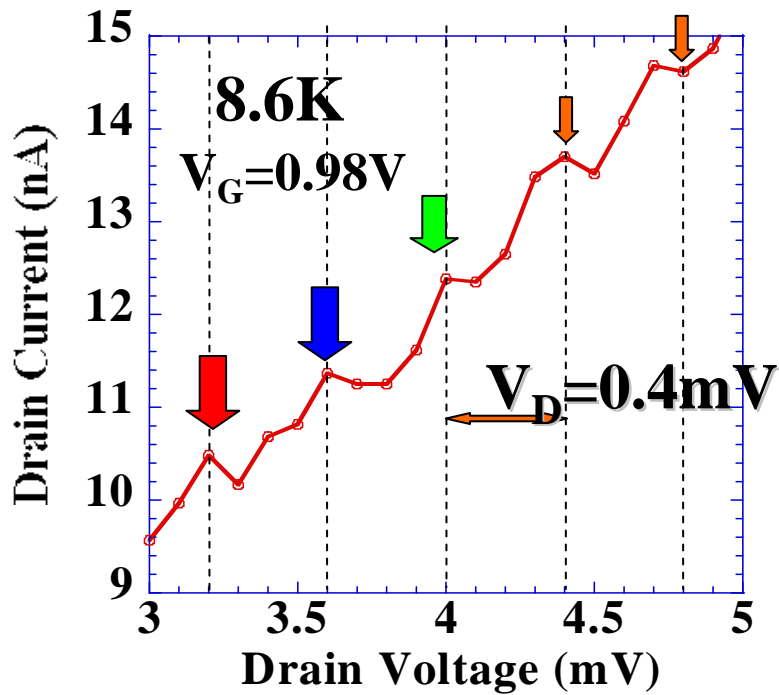
Discrete Energy Level

正孔が波の性質を $4 \mu\text{m}$ にわたって保つ



- ・ $4 \mu\text{m}$ にわたる量子準位の形成
- ・ $4 \mu\text{m}$ にわたる正孔のコヒーレント伝導

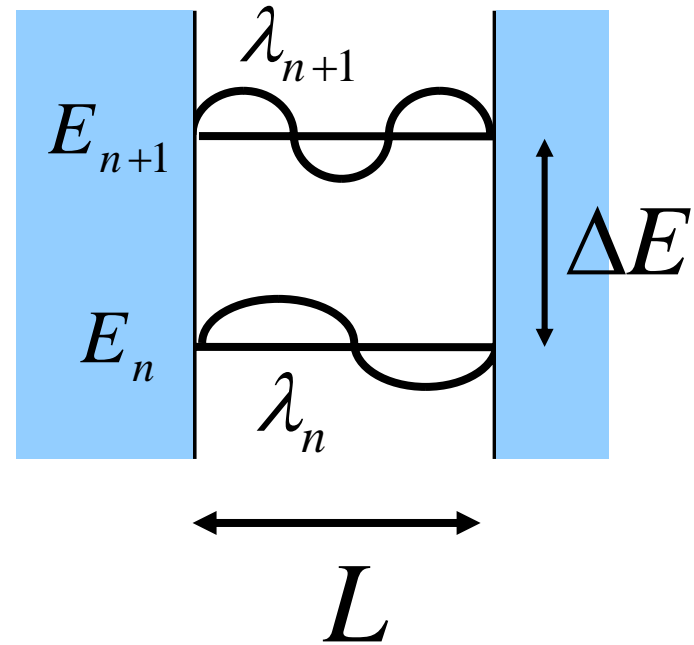
カーボンナノチューブ内の量子準位 / 共鳴トンネル



n番目と n+1番目の量子準位のエネルギー差 ΔE と 井戸幅 L

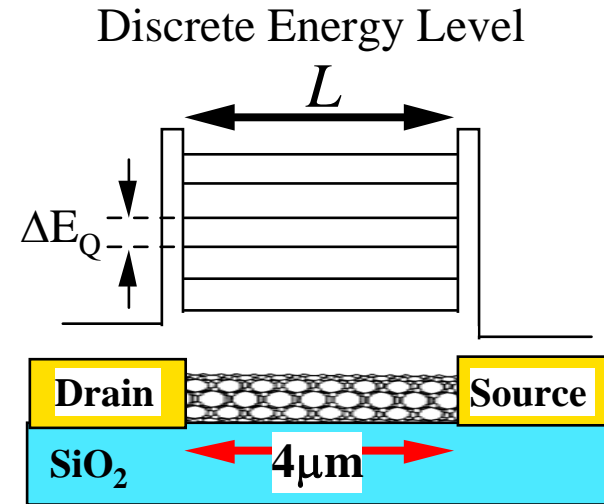
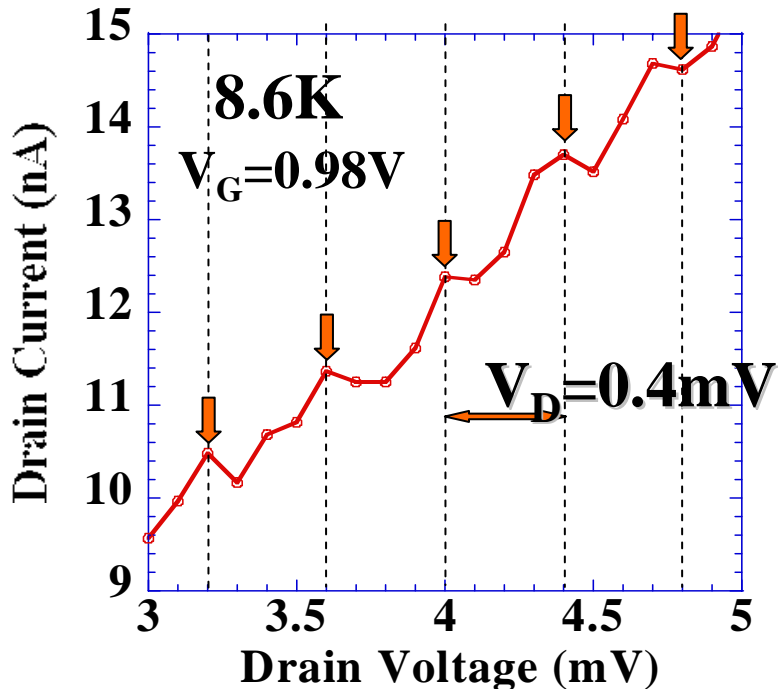
$$E_n = h\nu_n = \frac{h\nu_F}{\lambda_n}$$

$$E_{n+1} = h\nu_{n+1} = \frac{h\nu_F}{\lambda_{n+1}}$$



$$\begin{aligned} \underline{\Delta E} &= E_{n+1} - E_n = \frac{h\nu_F}{\lambda_{n+1}} - \frac{h\nu_F}{\lambda_n} \\ &= \frac{h\nu_F(n+1)}{2L} - \frac{h\nu_F n}{2L} = \frac{h\nu_F}{\underline{2L}} \end{aligned}$$

Resonant Tunneling of Hole through Quantum Level in Carbon Nanotube Negative Conductance



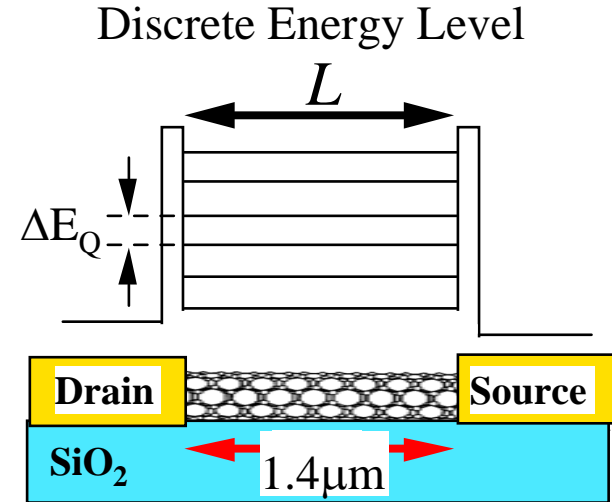
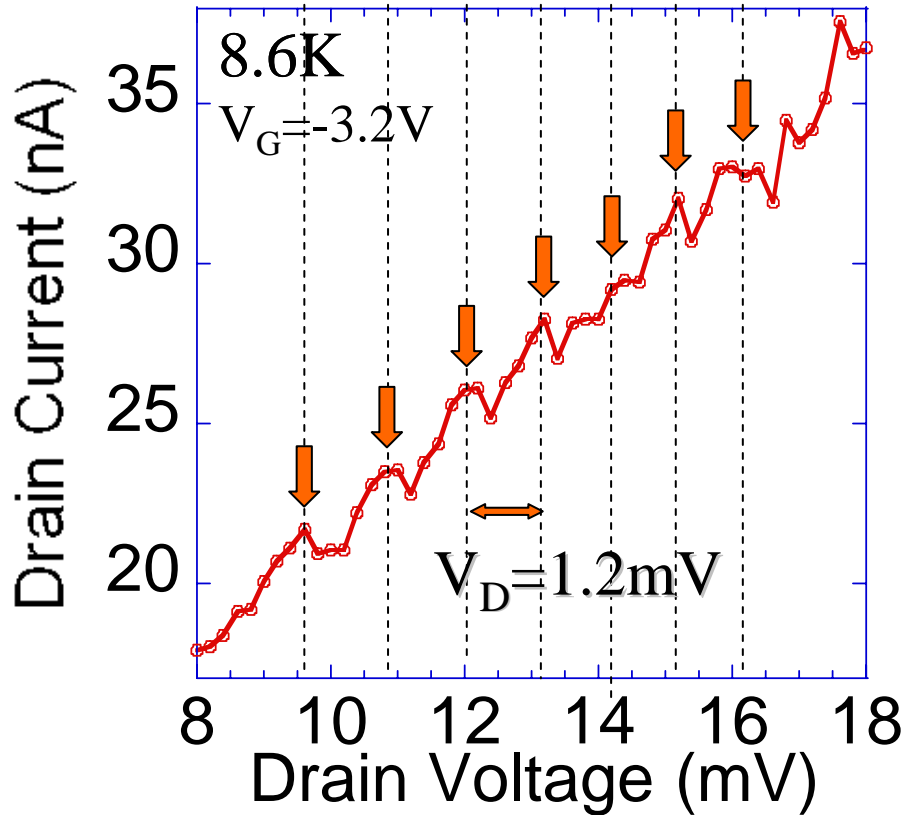
$$\Delta V_D \approx \Delta E \quad \Delta E = \frac{h v_F}{2L}$$

$$L = 4.2(\mu m)$$

$$L : \frac{1.4\mu m}{4.5\mu m} \approx \frac{1}{3} \quad \Delta E \quad 3 \text{ 倍 ?}$$

h : Plank's Constant
 v_F : Fermi Velocity
 L : Length of CNT
 between Tunneling Barriers
 e : Elementary Charge

Resonant Tunneling of $1.4\mu\text{m}$ CNT through Quantum Well



$$\underline{L = 1.4(\mu\text{m})}$$

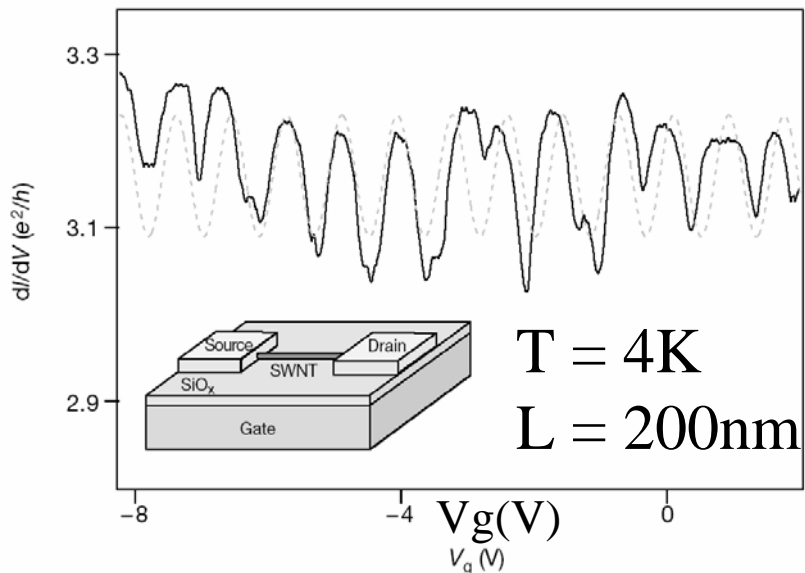
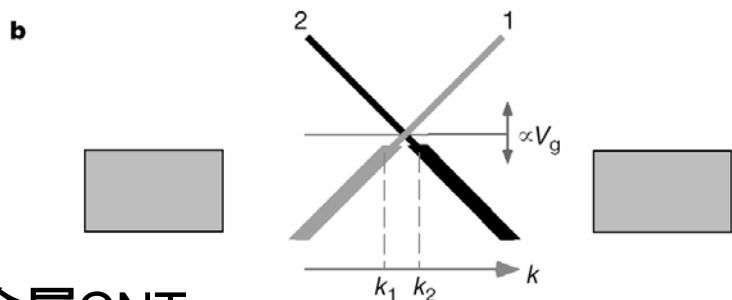
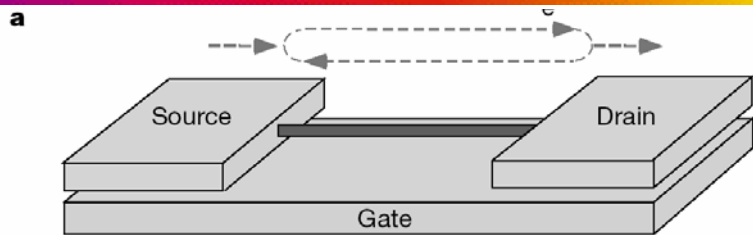
$$\Delta E \approx \Delta V_D = 1.2\text{mV}$$

3倍

$$V_D : \frac{1.2\text{mV}}{0.4\text{mV}} = 3$$

金属的カーボンナノチューブにおける 電子のコヒーレント伝導

W. Liang Harvard Univ.

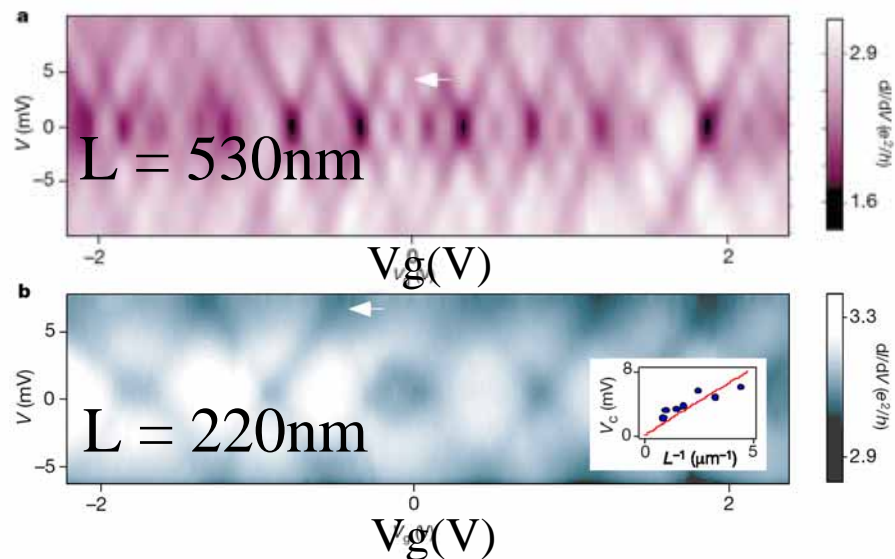
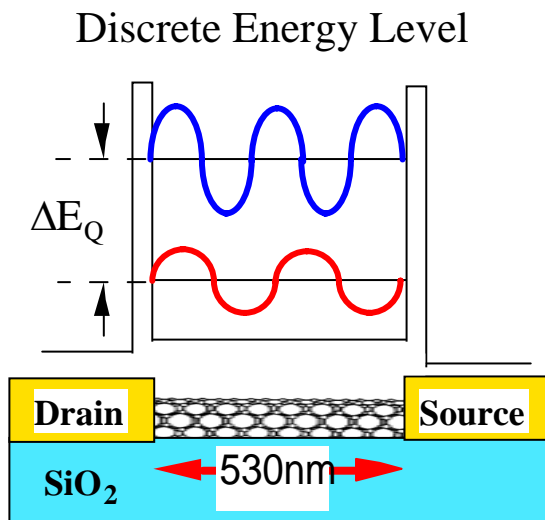


金属CNT

周期境界条件

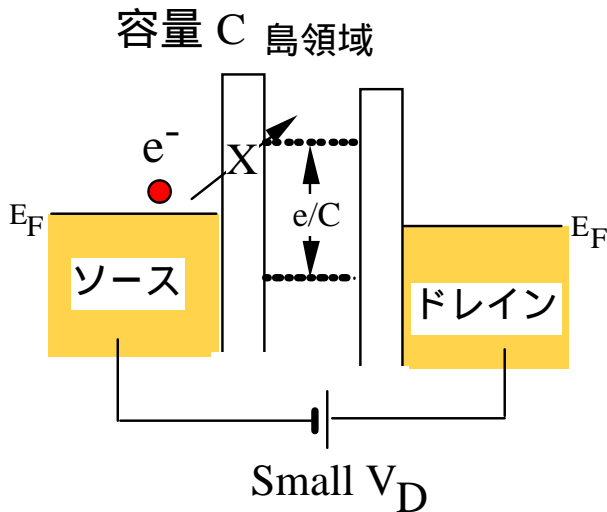
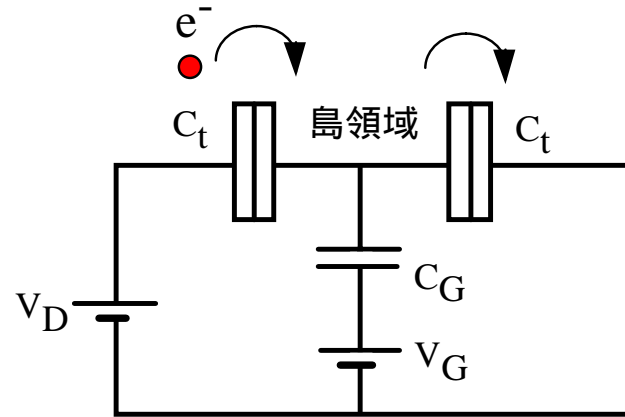
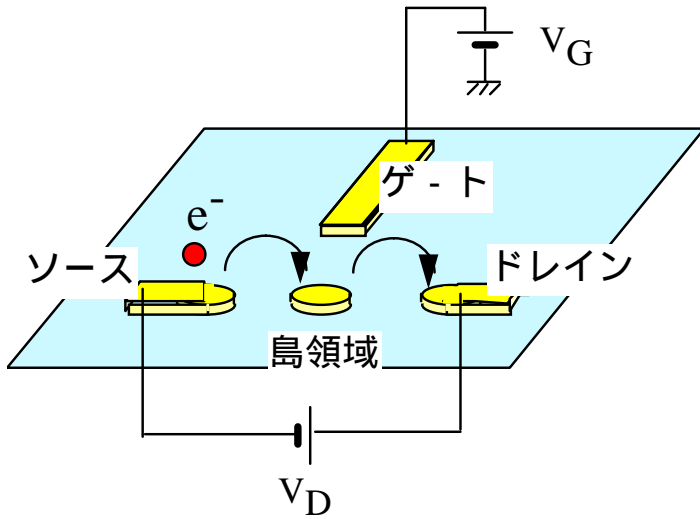
$$2LeV_c/h v_F = 2$$

電子



単一電子トランジスタの基本

Single Electron Transistor



$E_c = e^2 / 2C$ — 電子のクーロンエネルギー

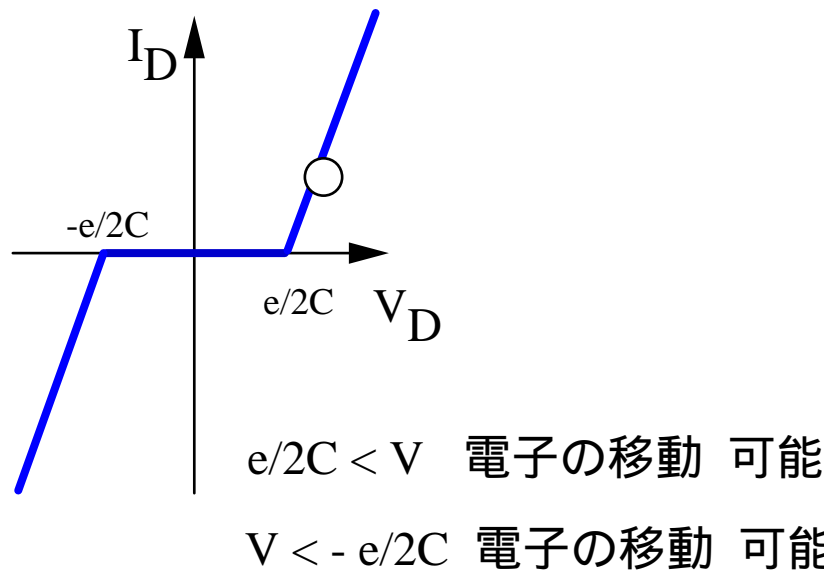
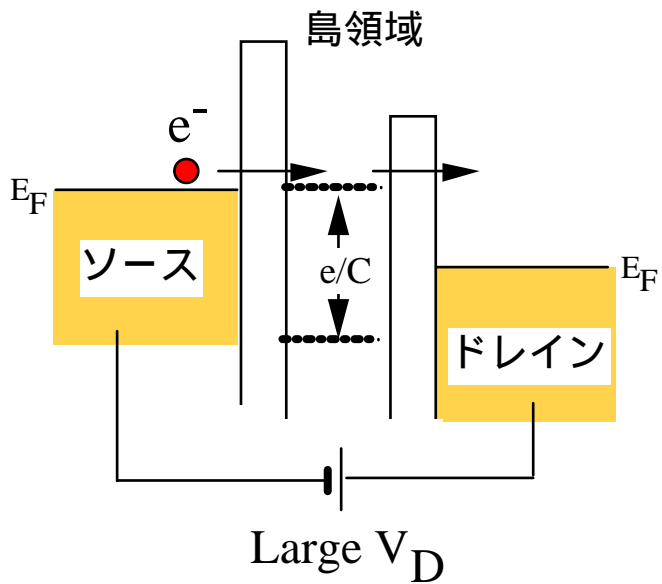
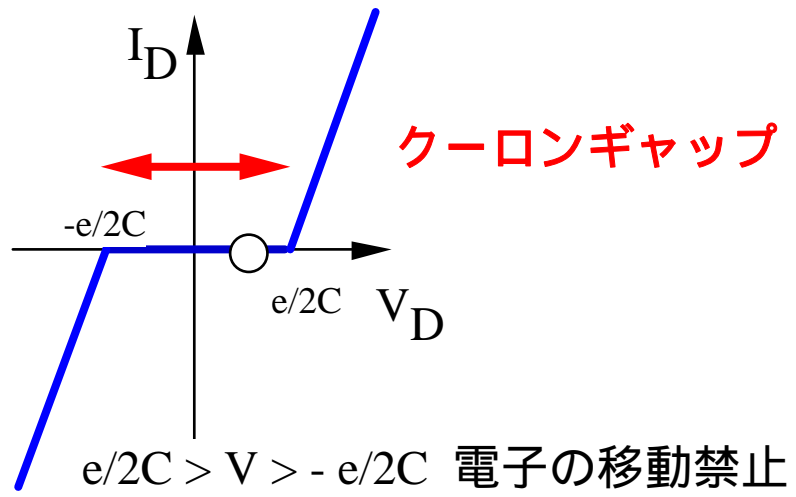
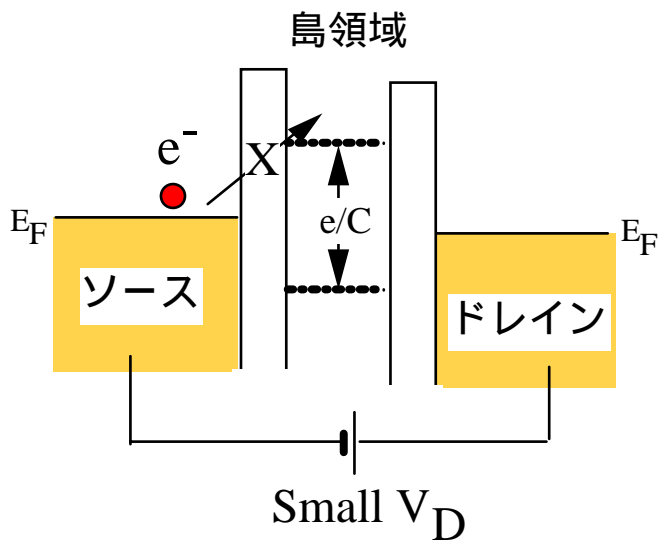
$$\Delta E = (Q-e)^2 / 2C - Q^2 / 2C = E_c - eV$$

$\Delta E > 0$ は禁止

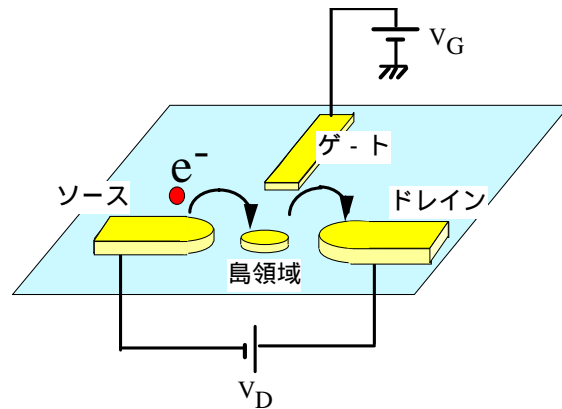
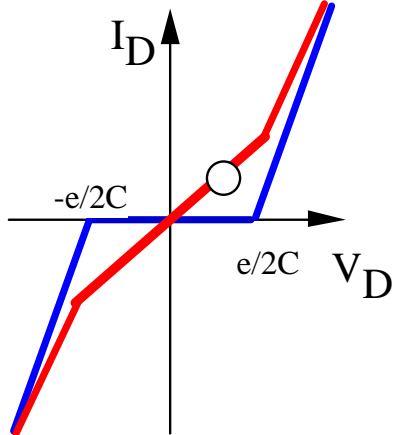
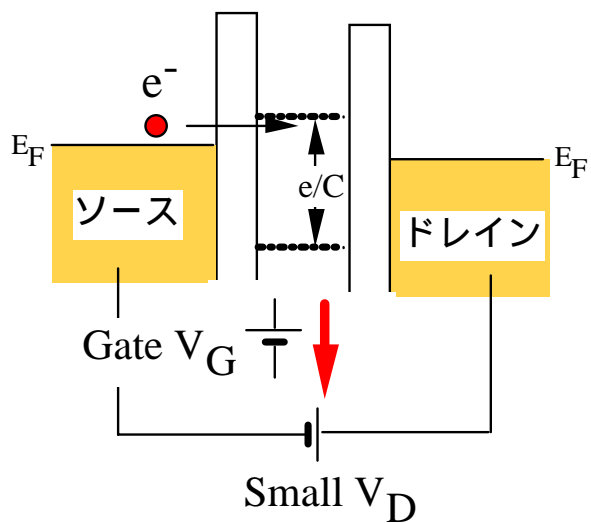
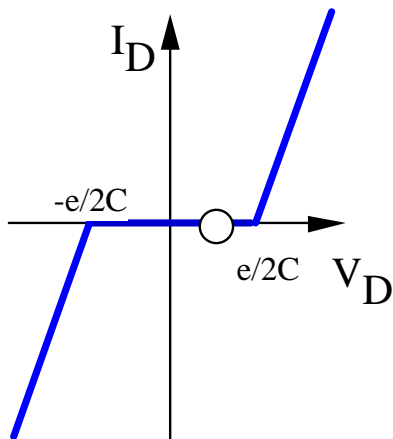
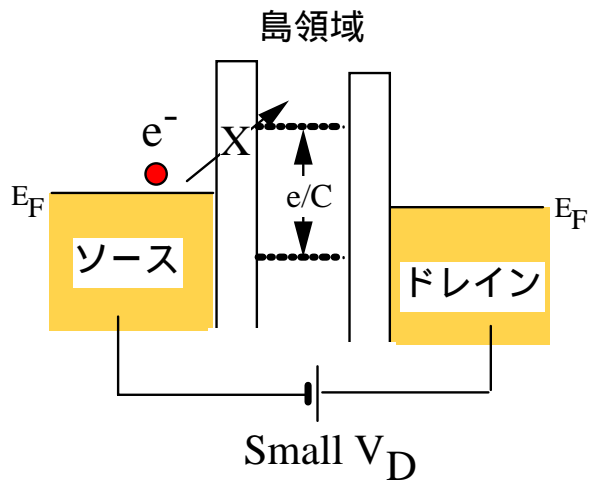
$E_c > eV \rightarrow e/2C > V$ 電子の移動禁止

$e/2C > V > -e/2C$ 電子の移動禁止

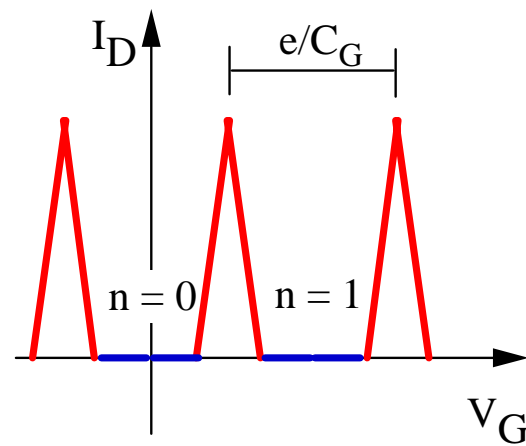
ドレイン電圧依存性



ゲート電圧依存性

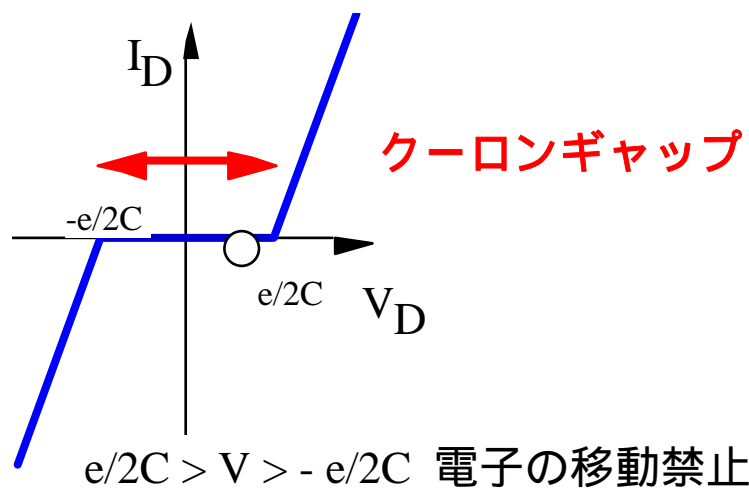


クーロン振動

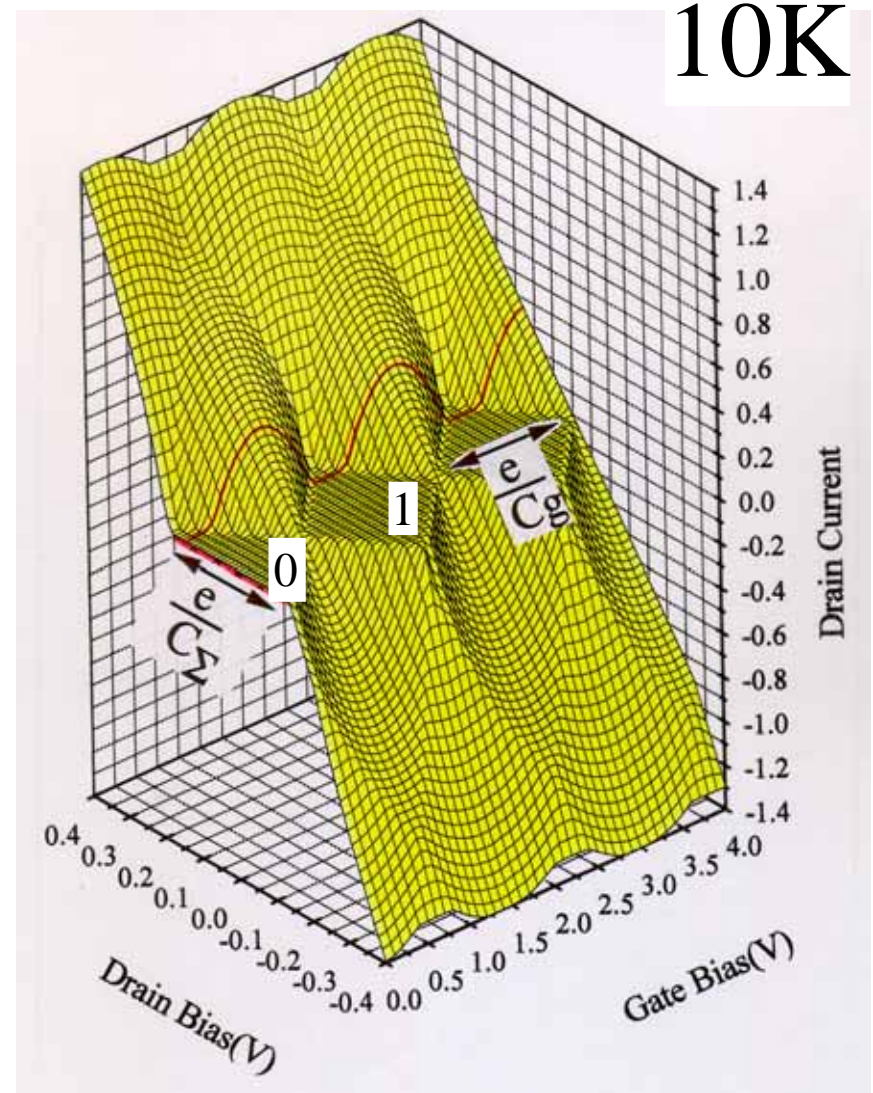
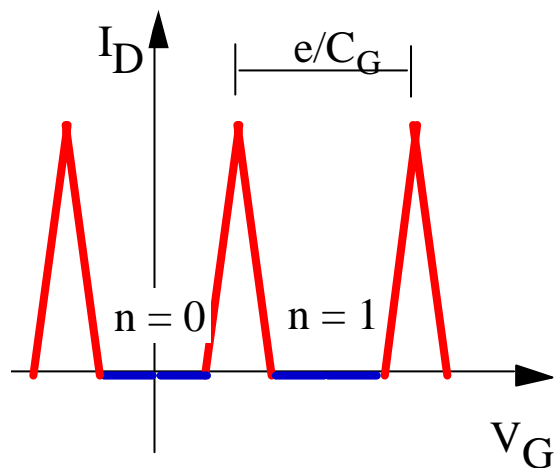


10K

- クーロンギャップ
- クーロン振動
- **クーロンダイヤモンド**



クーロン振動



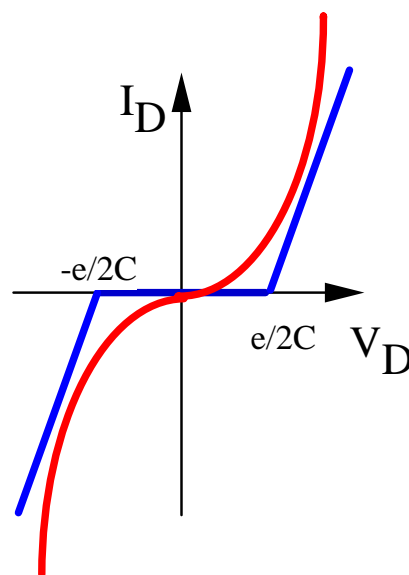
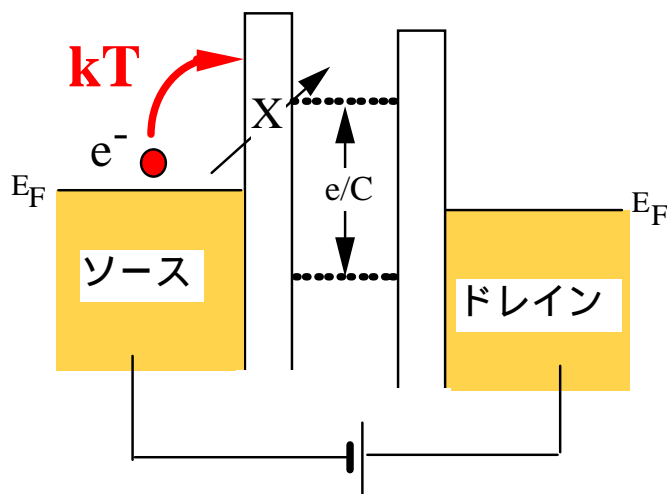
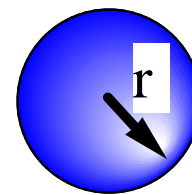
Tunnel Capacitance $C_1 = C_2 = 4 \times 10^{-19} \text{F}$
 Gate Capacitance $C_G = 1 \times 10^{-19} \text{F}$

クーロンブロッケードを観察するための必要条件

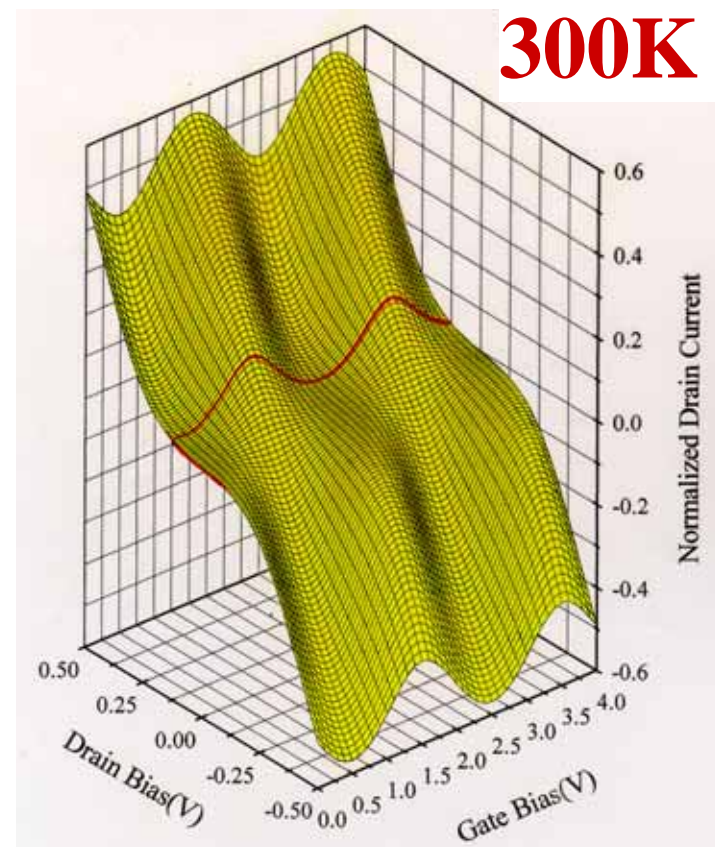
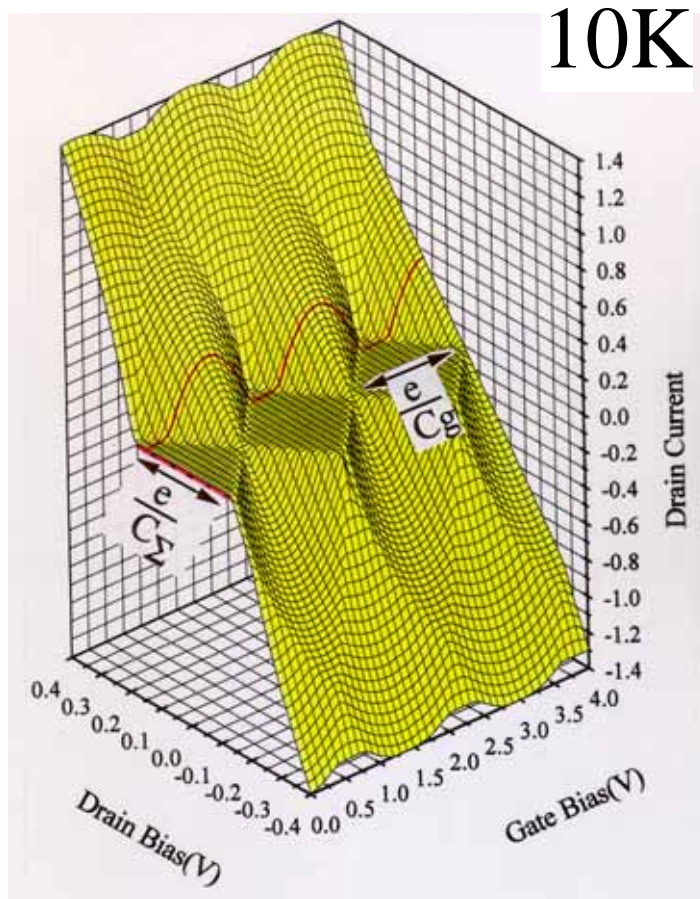
- 1) $kT \ll E_c = e^2 / 2C$ C を小さく **素子サイズを小さく**
- 2) $R_T \gg h / e^2 = R_Q = 26k$ 抵抗量子

$kT = 26\text{meV}$ at 300K

$E_c = e^2 / 2C = 80\text{meV}$ at $C = 10^{-18}\text{F}$ $r = 10\text{nm}$
 800meV at $C = 10^{-19}\text{F}$ $r = 1\text{nm}$



Simulated Characteristics of Single Electron Transistor at 10K & 300K



Tunnel Capacitance $C_1 = C_2 = 4 \times 10^{-19} \text{F}$

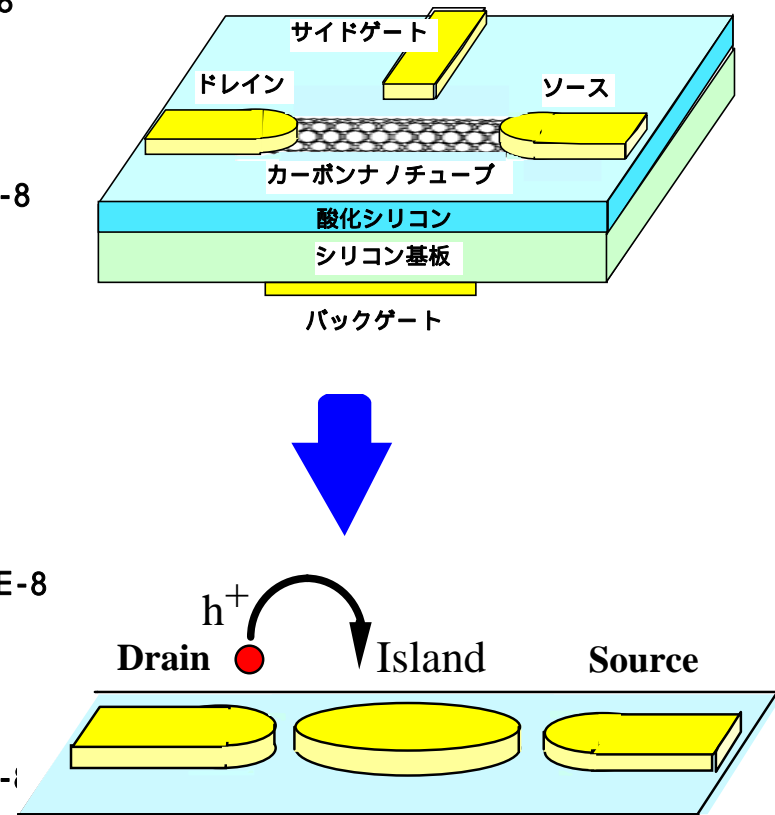
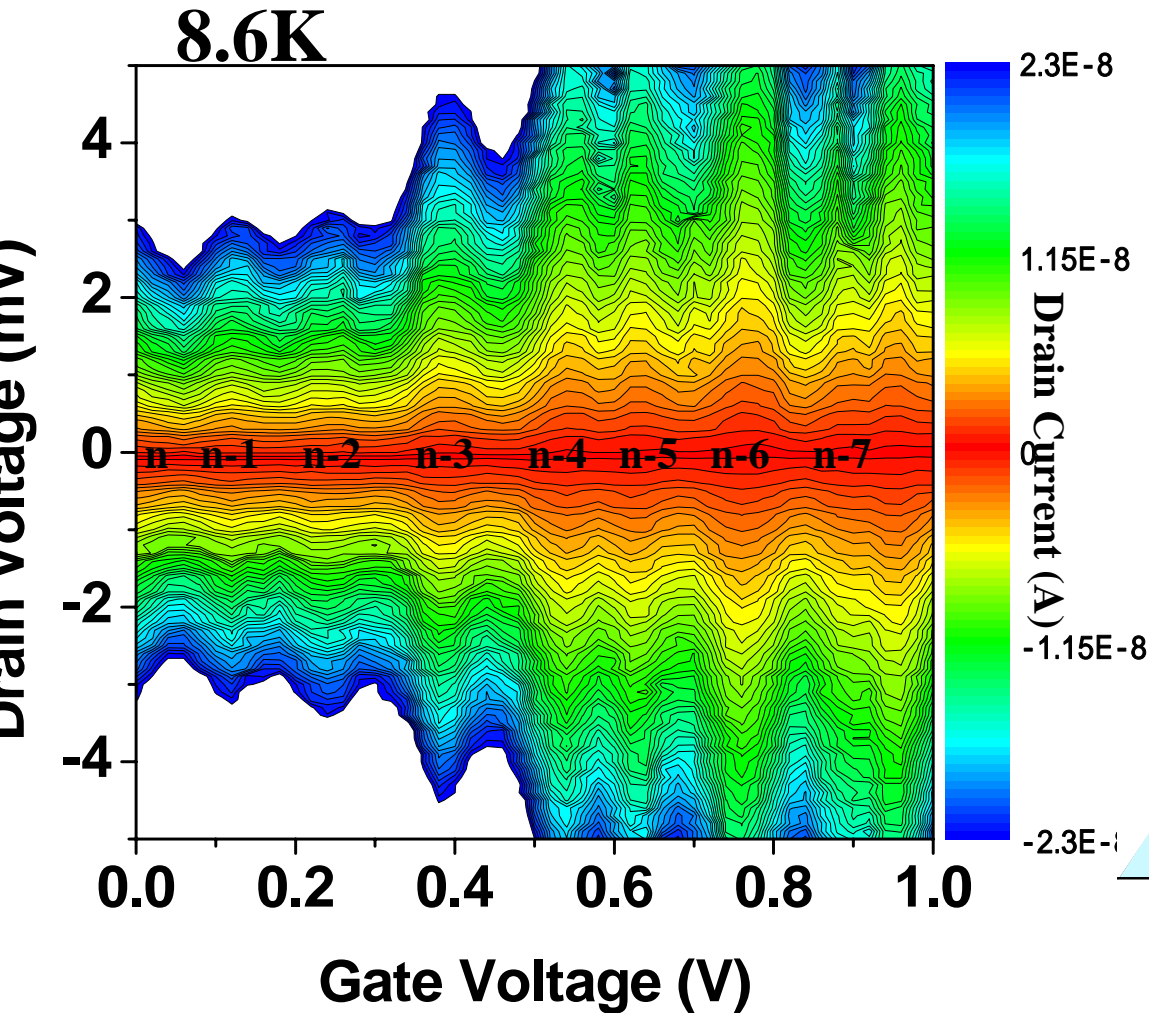
Gate Capacitance $C_G = 1 \times 10^{-19} \text{F}$

$$C_{\Sigma} = C_1 + C_2 + C_G = 1.8 \times 10^{-19} \text{F}$$

Tunnel Capacitance $C_1 = C_2 = 5 \times 10^{-20} \text{F}$

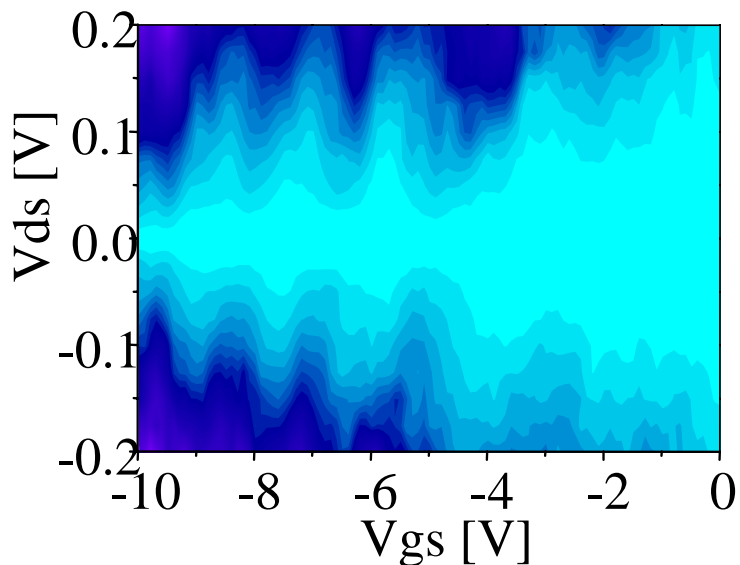
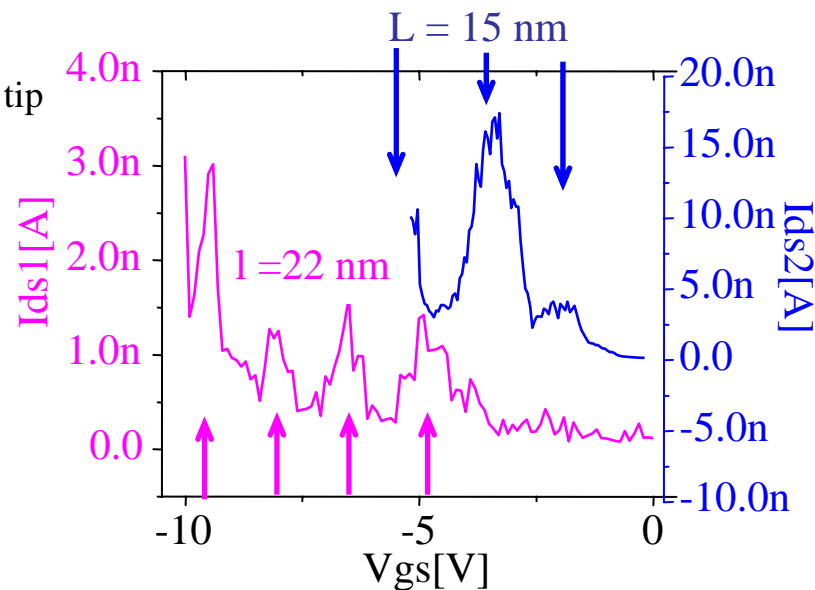
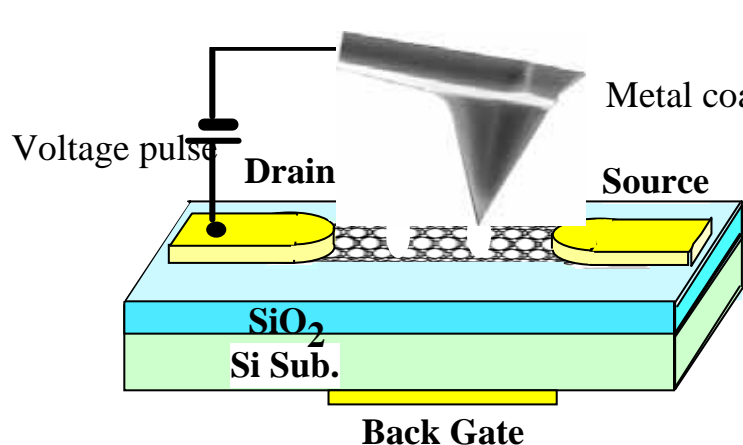
Gate Capacitance $C_G = 8 \times 10^{-20} \text{F}$

Coulomb Diamond Characteristics of Hole in Entire Carbon Nanotube Island of 4.5 μm

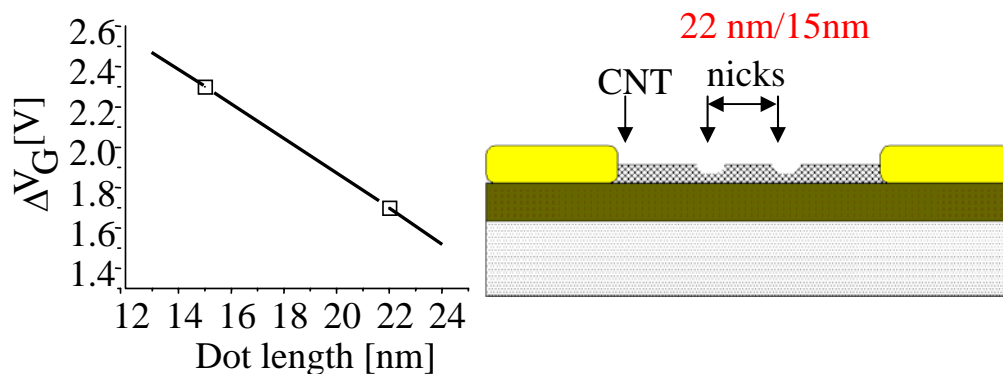


3. 現在の研究進捗状況と研究結果

デバイス開発 5) SETの作製 : AFM / FIBによる欠陥制御導入と室温動作

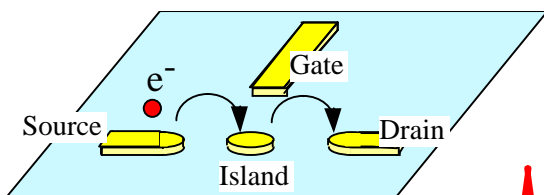
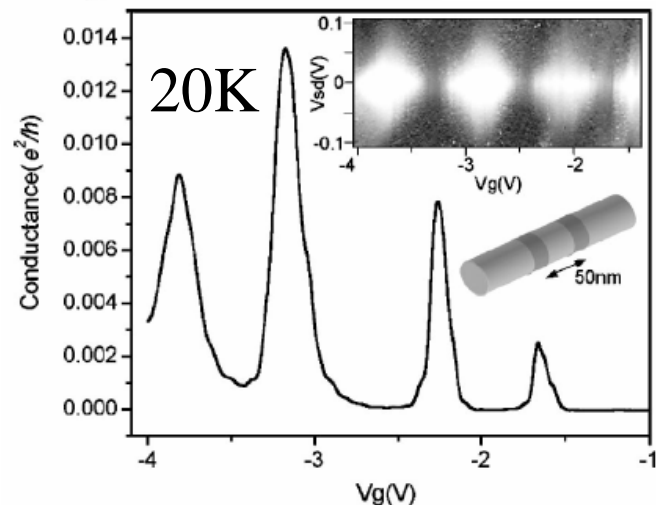
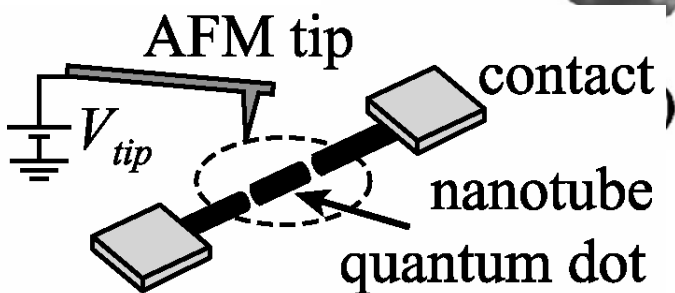
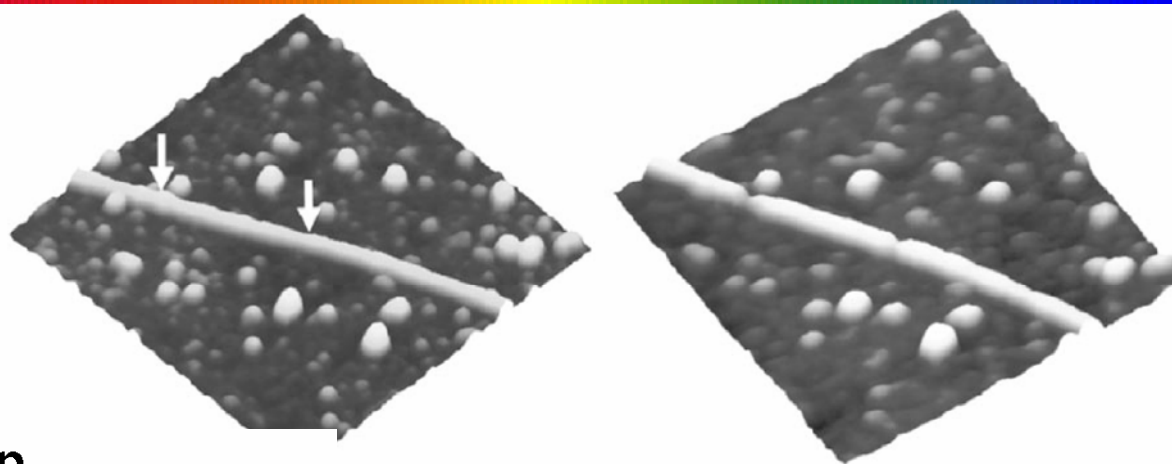


AFMでCNTに人工的に欠陥を導入して室温動作に成功

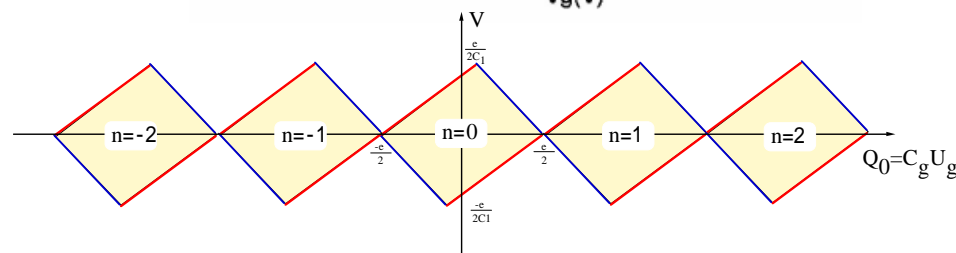
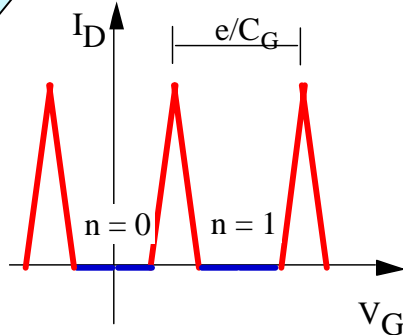


島領域のサイズ変化に対応したクーロン振動の周期変化

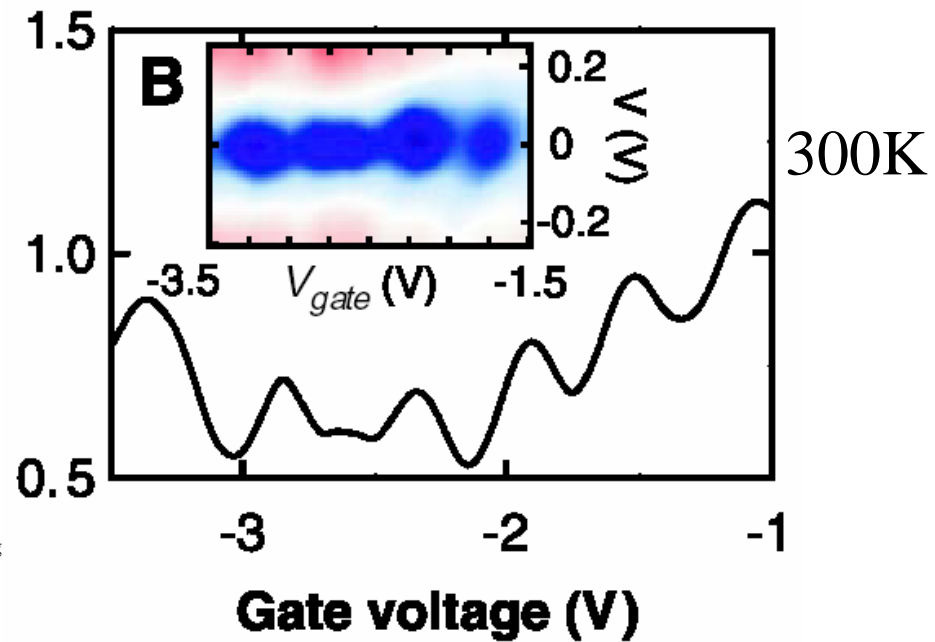
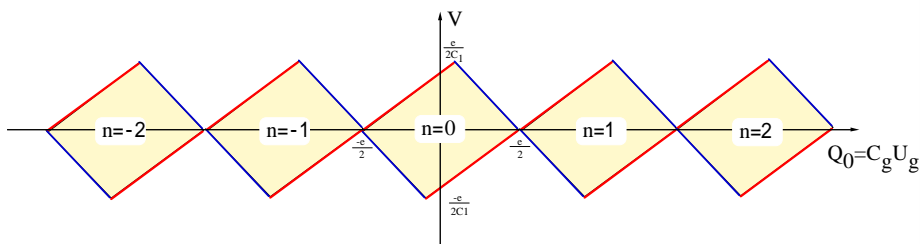
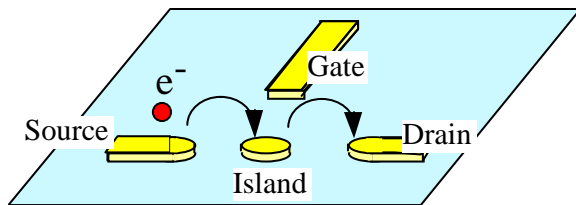
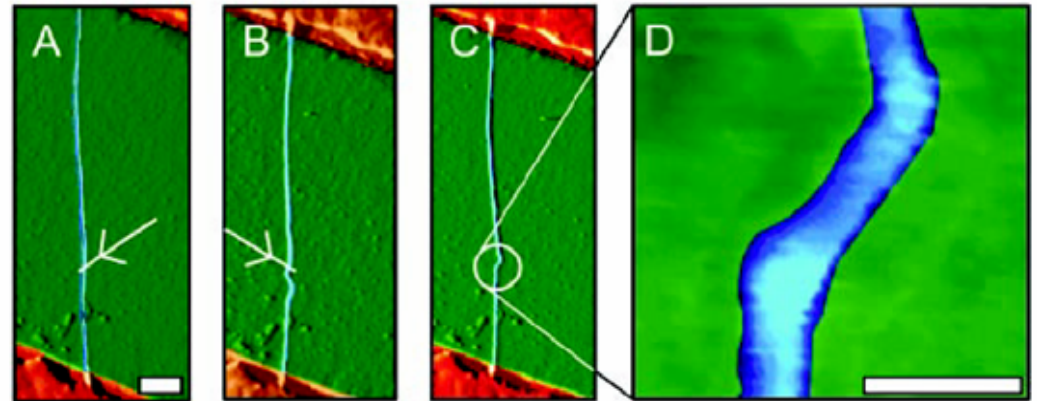
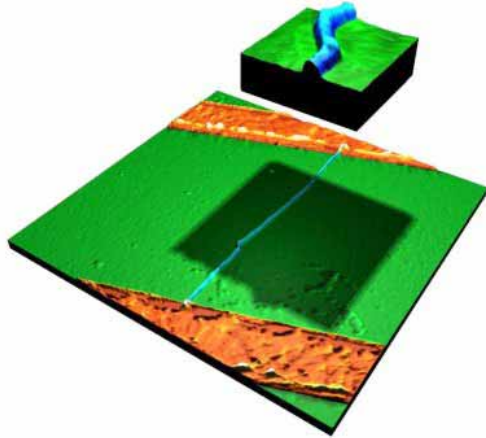
CNT Single Electron Transistor by AFM Nicking



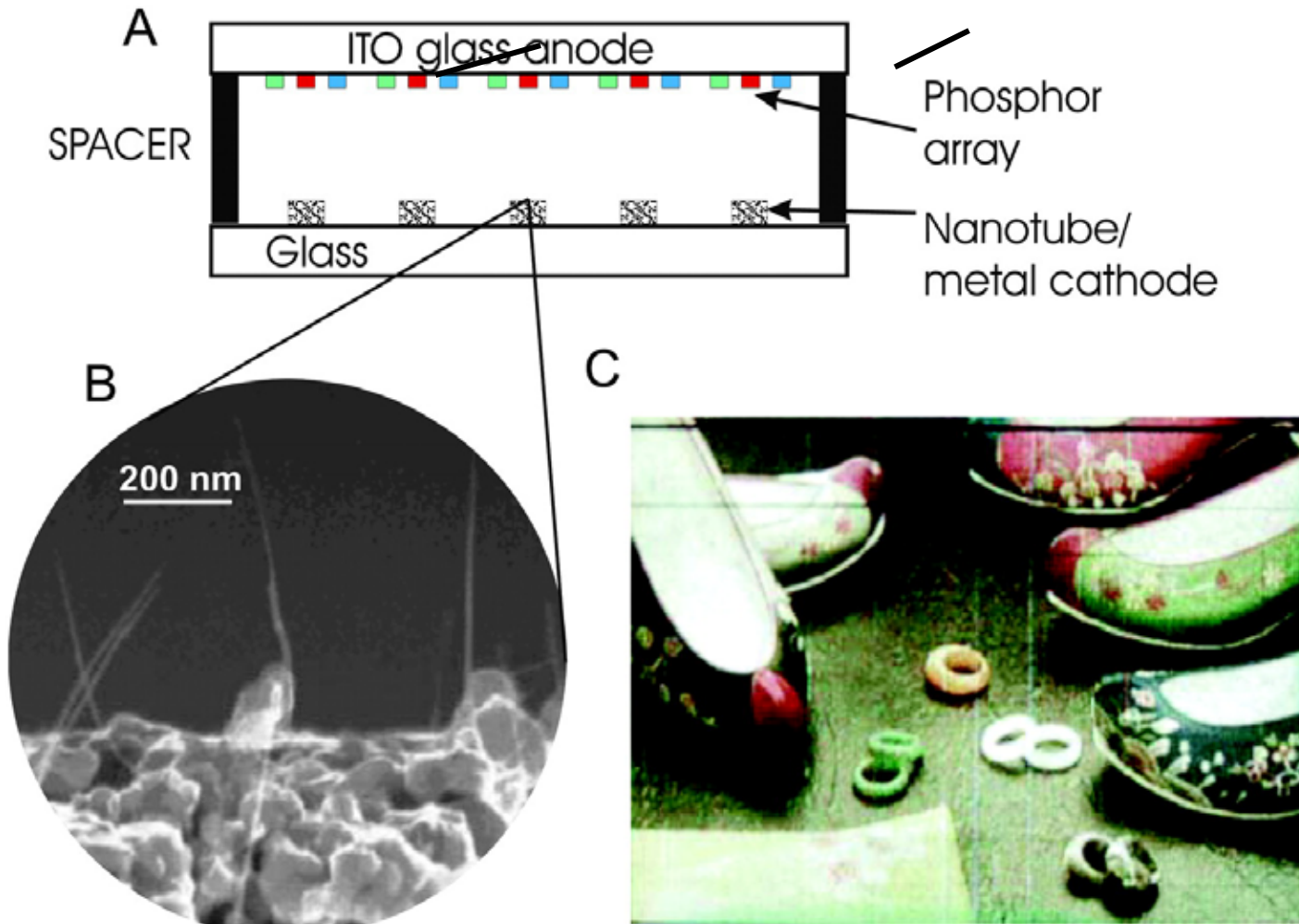
クーロン振動



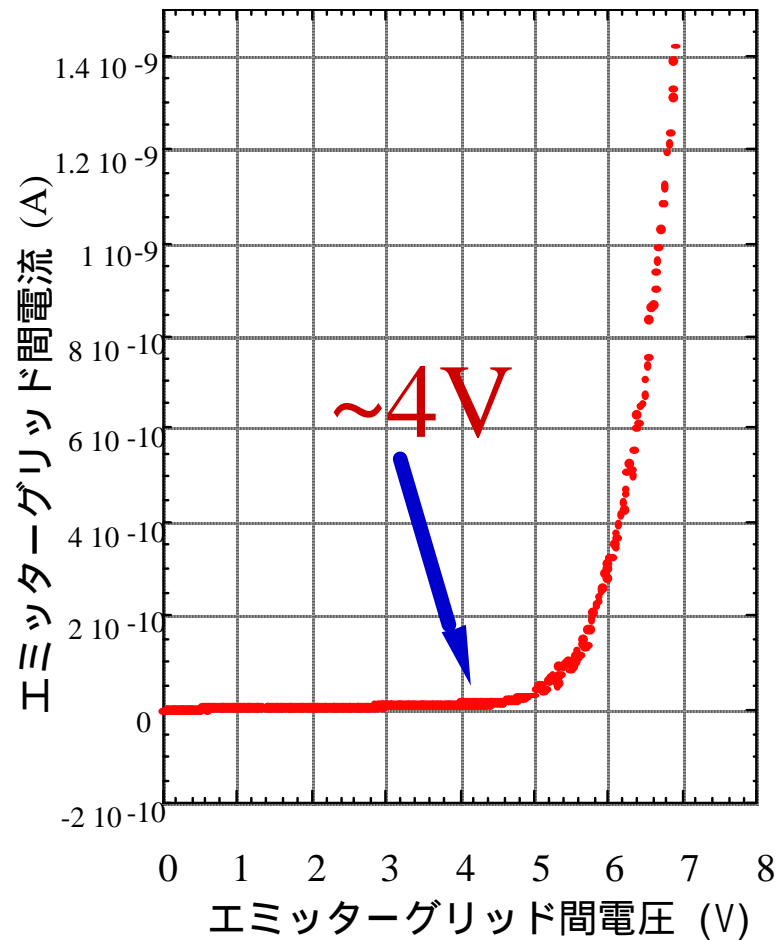
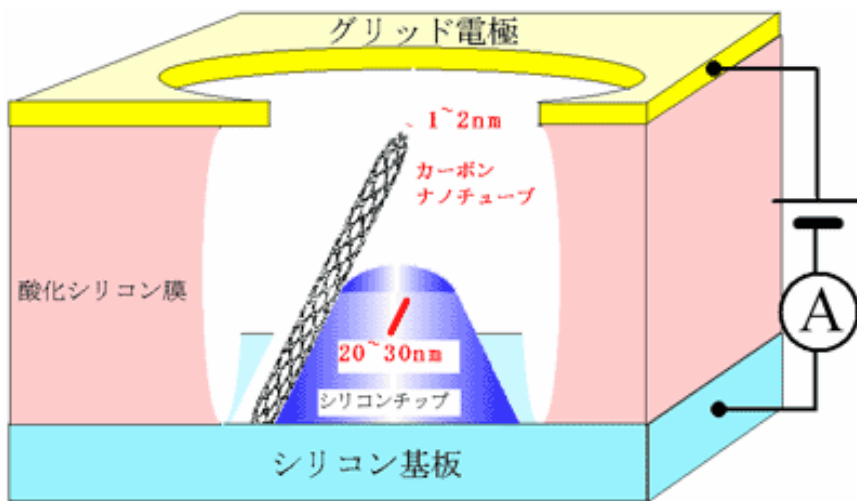
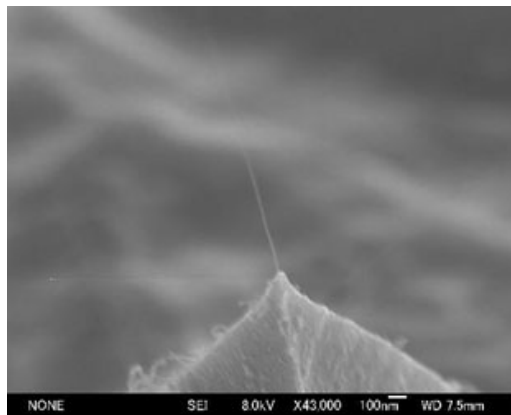
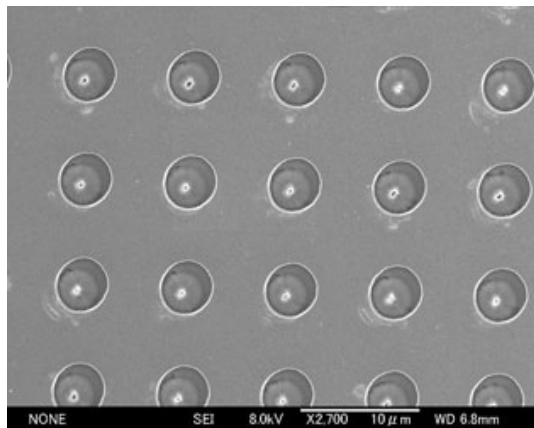
CNT Single Electron Transistor by AFM Twisting



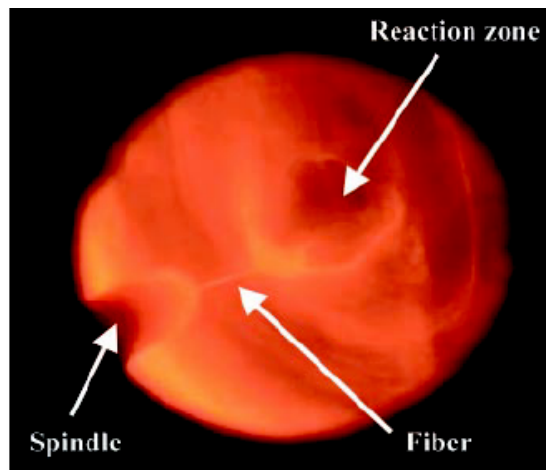
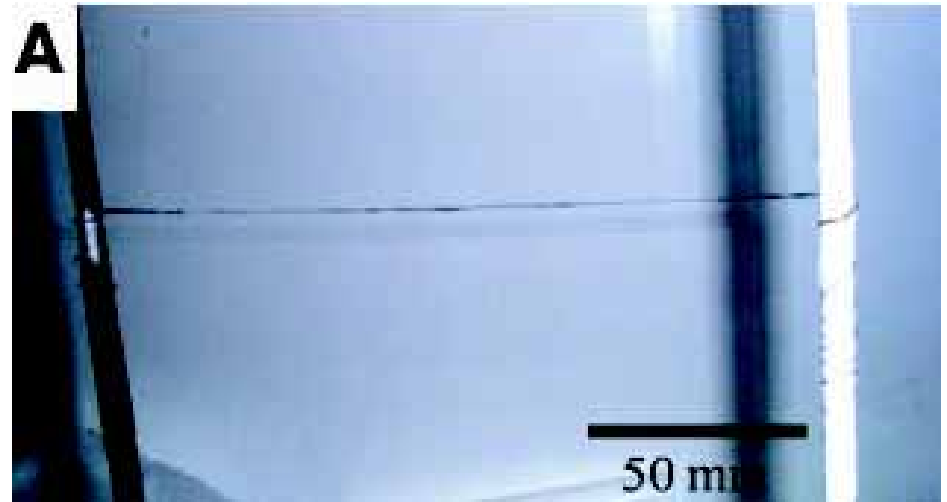
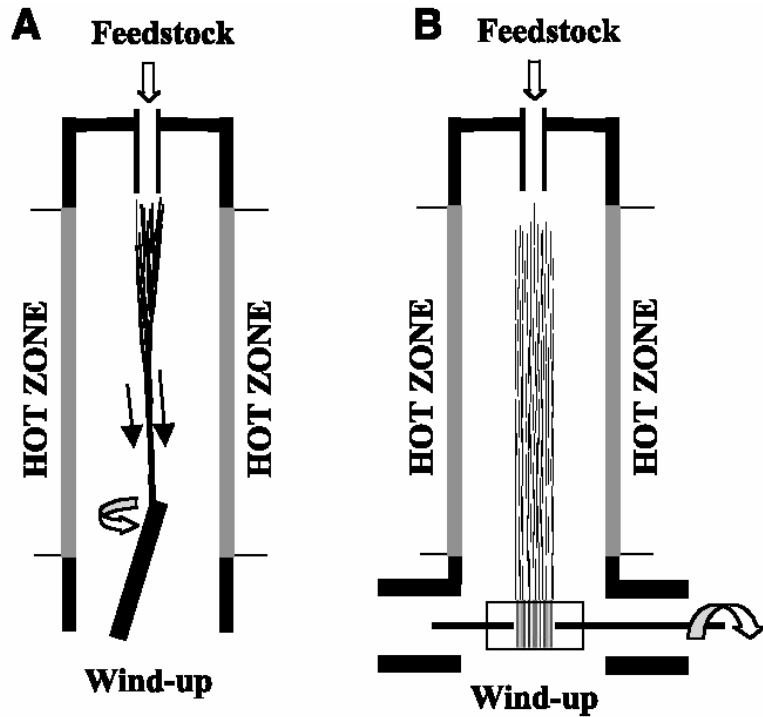
フィールドエミッタ ディスプレイ



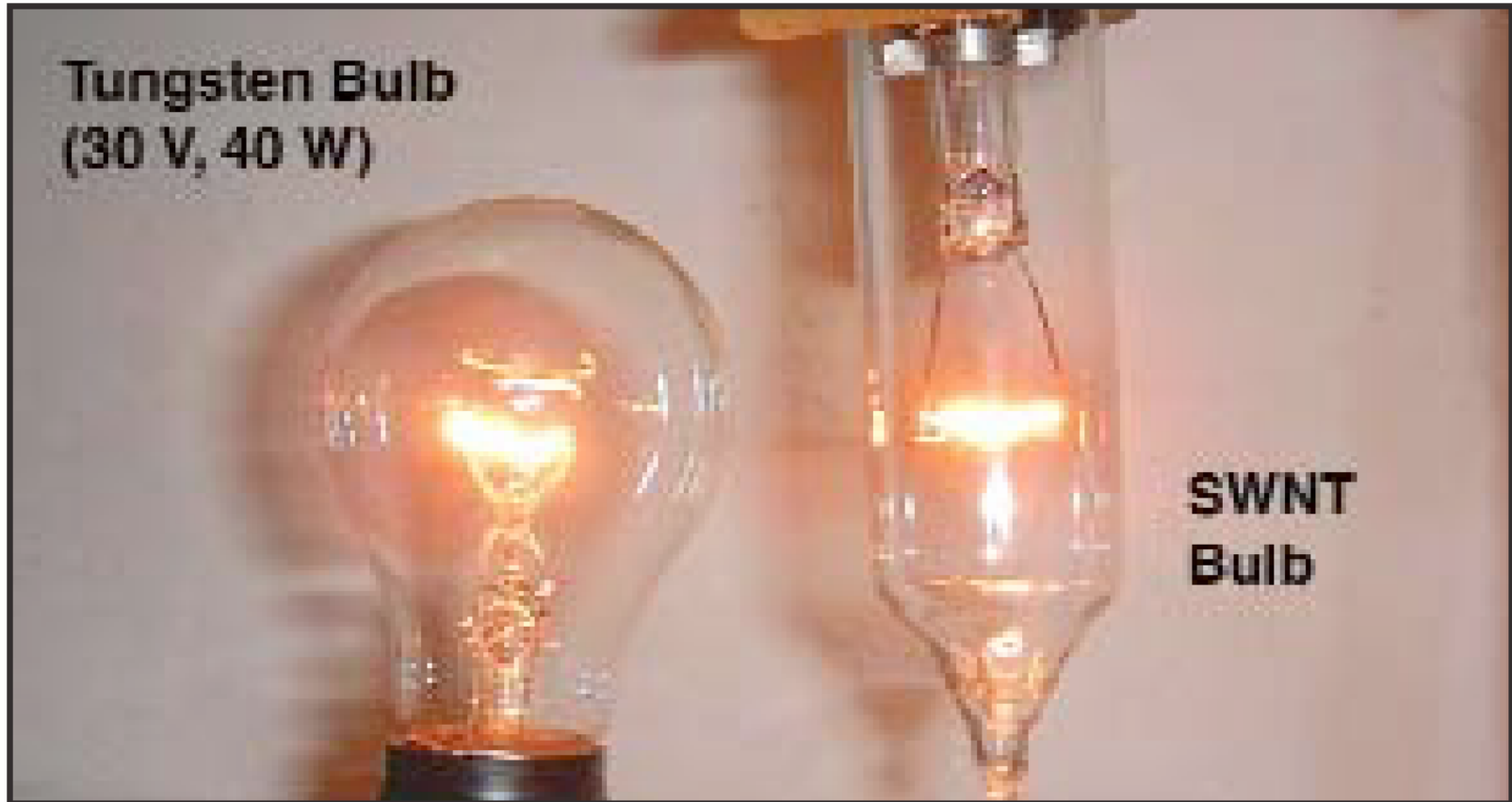
低電圧動作 カーボンナノチューブ フィールドエミッタ



Carbon Nanotube Rope



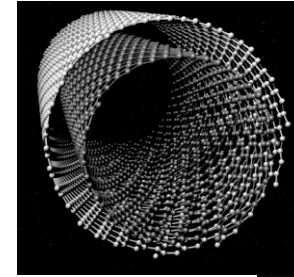
Lightbulbs with Carbon Nanotube Filaments



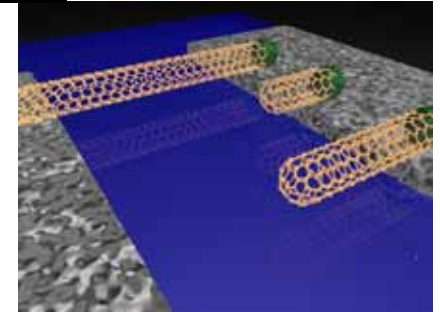
Lightbulbs with tungsten (left) or nano-wire (right) filaments.

結論

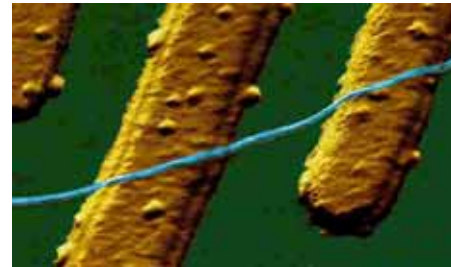
1) カーボンナノチューブの構造



2) カーボンナノチューブの成長とドーピング



3) トランジスタ応用



4) 一次元量子伝導

5) コヒーレント伝導

6) 単一電子伝導

7) その他

